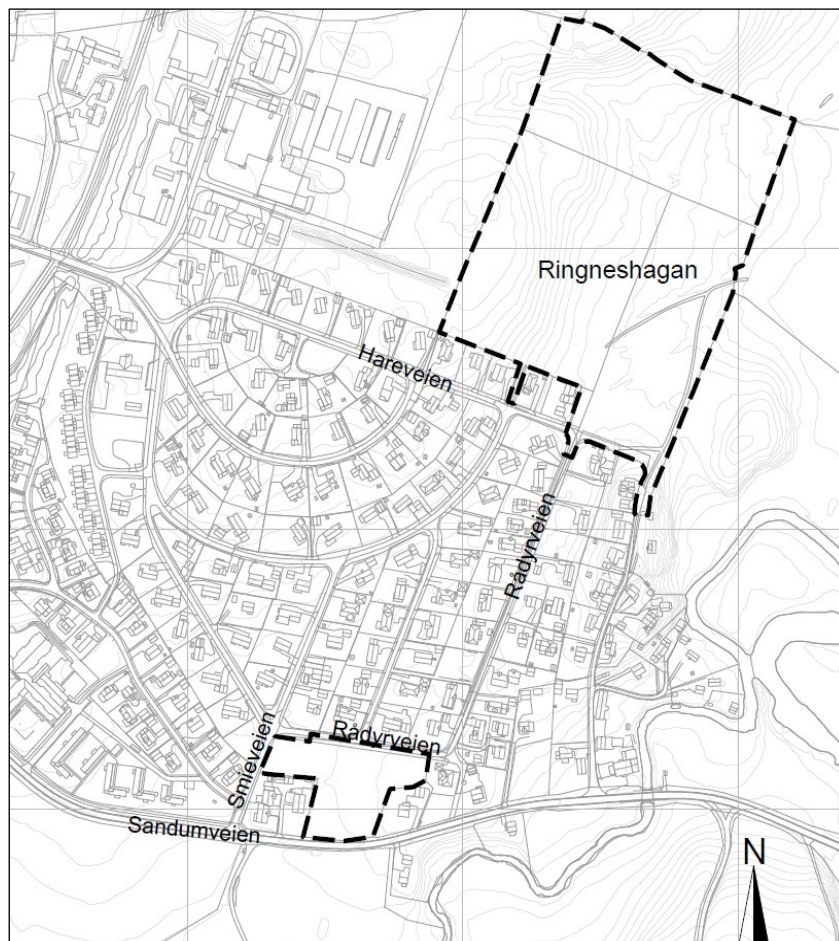




## Norsk Bolig AS

Reg.plan Ringneshagan og Rådyrveien, Løken

19323 Rapport nr. 2 Vurdering av områdestabilitet



Utklipp fra reguleringsplan

Prosjektnr: 19323	Dato: 19.05.2021	Saksbehandler: Stian Kalstad
Kundenr: 11829	Dato: 25.05.2021	Kollegakontroll: Audun Egeland Sanda

Fylke: Akershus	Kommune: Aurskog-Høland	Sted: Løken
Adresse: Sandumveien 68	Gnr: 32	Bnr: 27, 33 og 37

Tiltakshaver: Norsk Bolig AS  
 Oppdragsgiver: Norsk Bolig AS v/ Rune Solstad  
 Oppdragsgivers referanse: Ringneshagan og Rådyrveien

Rapport: 19323 Rapport nr. 2 Vurdering av områdestabilitet  
 Rapporttype: Geoteknisk rådgivning  
 Stikkord: Områdestabilitet  
 Euref UTM: Sone 32V – Ø0639100, N6631500

Revisjon	Grunnlag	Dato
00	Første utgave	17.10.2019
01	Revisjon etter kommentar fra uavhengig kvalitetssikring, samt oppdatert krav til sikkerhet iht. NVE 1/2019	25.05.2021

## Sammendrag

I forbindelse med pågående reguleringsplan for planområdene *Rådyrveien* og *Ringneshagan* på Løken i Aurskog-Høland kommune har Løvlien Georåd AS utført grunnundersøkelser for de to planområdene. I den forbindelse er det avdekket forekomster av kvikkleire og sprøbruddsmateriale. For å tilfredsstille krav i henhold til Teknisk forskrift (TEK17) §7-3 (2) og NVEs veileder [1] har Løvlien Georåd utført en utredning av områdestabiliteten.

Utredningen viser at det må utføres stabilisende tiltak for å ivareta områdestabiliteten for deler av planområde *Rådyrveien*. Det kartlagte løsneområdet strekker seg kun delvis inn på det aktuelle planområdet og bygging utenfor løsneområdet kan dermed utføres uten sikringstiltak. Det kartlagte løsneområdet er vist på situasjonsplaner i tegning R02A02 og R02A03 (rød skravur).

Områdestabiliteten for planområde *Ringneshagan* vurderes som tilfredsstillende for dagens situasjon siden det er dokumentert en beregningsmessig sikkerhet på  $F_{cu} = 1,4$  og  $F_{c\phi} = 1,94$  for de mest kritiske beregningsprofilene. Utvikling av området bør utformes på en måte som gjør at stabilitetsforholdene ikke forverres som følge av tiltaket. Dersom utbyggingen forverrer områdestabiliteten må det gjøres tiltak for å øke beregningsmessig sikkerhet for områdestabilitet til  $F_{cu} \geq 1,61$  og  $F_{c\phi} \geq 1,25$ .

Utførte grunnundersøkelser viser generelt at det er forekomster av svært bløt leire innenfor begge planområdene. Laboratorieundersøkelser viser at leiren har et betydelig setningspotensiale dersom den blir belastet ut over dagens situasjon. Bygg og veger bør derfor i så stor grad som mulig tilpasses dagens terreng for å unngå oppfyllinger og at de påvirker stabiliteten negativt. Det bør generelt planlegges at veger og bygg etableres kompensert, enten ved netto avgraving eller ved masseutskiftning med lette masser.

VA-ledninger og annen infrastruktur under bakken bør etableres så grunt som mulig (eventuelt i kombinasjon med frostisolasjon) for å unngå dype utgravninger ned i den bløte leira. Fallforhold for overvann- og avløpsledninger bør vies ekstra oppmerksomhet for å unngå dype grøftetraseer.

Geoteknisk stabilitet må ivaretas i detaljprosjektering.

Utredningen av områdestabilitet i foreliggende rapport må kvalitetssikres av uavhengig foretak før innsendelse av reguleringsplan.

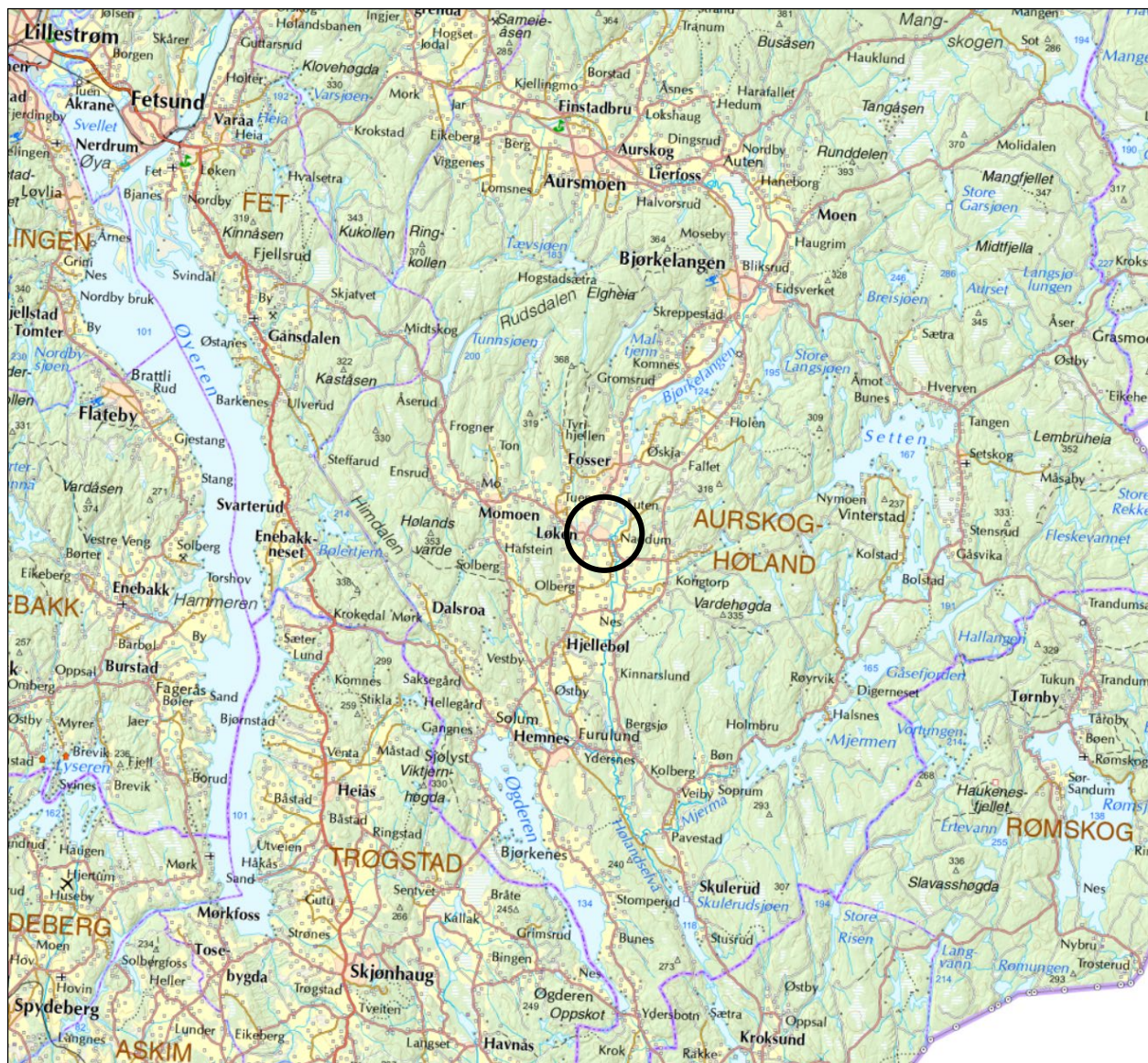
**Revisjon 01:**

I revisjon 01 er kommentarer fra uavhengig kvalitetssikring utført av DMR Miljø og Geoteknikk, datert 04.03.2021, innarbeidet. Det er opprettet to løsne- og utløpsområder for kvikkleireskred som gjelder for Ringneshagan. I tillegg er rapporten oppdatert med sikkerhetskrav iht. revidert veileder for områdestabilitetsvurderinger fra NVE (Veileder nr. 1/2019).

For faresonen ved Rådyrveien er det etter den nye veilederen påvist tilfredsstillende robusthet av skråningen ned mot elva ( $F_{cu} \geq 1,20$  og  $F_{c\phi} \geq 1,25$ ). Skråningen ligger utenfor influensområdet til planområdet. Etter den nye veilederen er derfor ikke nødvendig å etablere en støttefylling langs elva for å øke sikkerheten for områdestabilitet. Dersom det er ønskelig å bygge innenfor det kartlagte løsneområdet må det imidlertid utføres erosjonssikring langs elva.



## Oversiktskart



Figur 0.1 Oversiktskart ([www.norgeskart.no](http://www.norgeskart.no))



## Tegninger

Beskrivelse	Tegn. nr.
Situasjonsplan m/ borpunkt og beregningsprofiler	R02A01
Situasjonsplan m/ løsne- og utløpsområde	R02A02
Situasjonsplan m/ sikringstiltak for Rådyrveien	R02A03
Profil A-A: Stabilitetsberegnning dagens situasjon ADP og AFI	R02E01
Profil A-A: Stabilitetsberegnung m/ stabiliserende tiltak ADP og AFI	R02E02
Profil A1-A1: Stabilitetsberegnung dagens situasjon ADP og AFI	R02E03
Profil A1-A1: Stabilitetsberegnung m/ stabiliserende tiltak ADP og AFI	R02E04
Profil B-B: Stabilitetsberegnung dagens situasjon ADP og AFI	R02E05
Profil C-C: Stabilitetsberegnung dagens situasjon ADP og AFI	R02E06
Profil D-D: Stabilitetsberegnung dagens situasjon ADP og AFI	R02E07
Profil E-E: Stabilitetsberegnung dagens situasjon ADP og AFI	R02E08

## Tillegg

- 1.1 Tolket udrenert skjærstyrke i borpunkt 1 fra CPTU
- 1.2 Tolket udrenert skjærstyrke i borpunkt 3 fra CPTU
- 1.3 Tolket udrenert skjærstyrke i borpunkt 9 fra CPTU
- 1.4 Tolket udrenert skjærstyrke m/ SHANSEP i bunnen av skråning for profil B-B
- 1.5 Tolkning av treaksialforsøk
- 1.6 Tolkning ødometerforsøk
- 1.7 Anvendelsesklasse CPTU borpunkt 1
- 1.8 Anvendelsesklasse CPTU borpunkt 3
- 1.9 Anvendelsesklasse CPTU borpunkt 9
- 1.10 Tolkning av lagdeling fra grunnundersøkelser

## Vedlegg

1. Skjema for faregradsklassifisering Rådyrveien
2. Skjema for faregradsklassifisering Ringneshagan

## Innholdsfortegnelse

Oversiktskart .....	4
1 Innledning .....	7
1.1 Bakgrunn .....	7
1.2 Rapportens innhold.....	7
1.3 Tiltakskategori.....	7
2 TEK17 Kapittel 7 Sikkerhet mot naturpåkjenninger .....	8
3 Grunnlag .....	9
3.1 Definisjoner .....	9
3.2 Eksisterende faresoner.....	9
3.3 Grunnundersøkelser.....	10

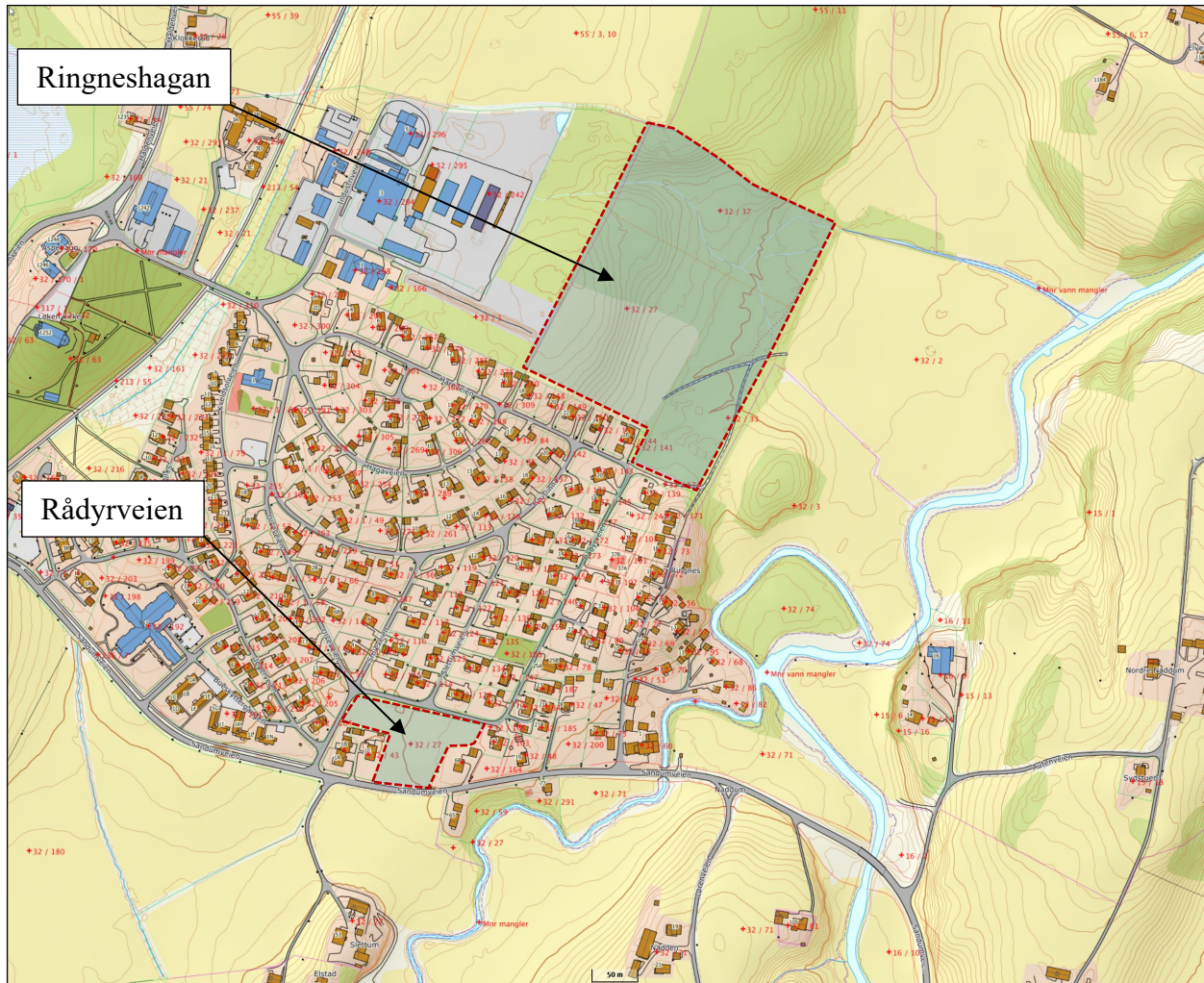


3.4	Erosjon.....	11
3.5	Tidligere skredhendelser .....	12
4	Terreng og grunnforhold.....	13
4.1	Kartgrunnlag.....	13
4.2	Topografi.....	13
4.3	Grunnforhold.....	14
4.4	Poretrykksforhold.....	14
5	Soneavgrensing og klassifisering for planområde Rådyrveien .....	15
5.1	Løsneområde .....	15
5.2	Utløpsområde .....	15
5.3	Faregradsklassifisering.....	15
6	Soneavgrensing og klassifisering for planområde Ringneshagan .....	15
6.1	Løsnedistanse .....	16
6.2	Utløpsområde .....	16
6.3	Faregradsklassifisering.....	16
7	Sikkerhetskrav .....	17
7.1	Tiltak .....	17
8	Grunnlag for stabilitetsvurderinger.....	18
8.1	Kritiske snitt og skredmekanismer .....	18
9	Materialparametere .....	18
9.1	Tyngdetetthet.....	18
9.2	Prekonsolidering.....	18
9.3	Udrenert aktiv skjærstyrke ( $s_u^A$ ) og anisotropi (ADP) .....	18
9.4	Effektive styrkeparametere.....	19
9.5	Tolkning av lagdeling.....	20
10	Stabilitetsanalyser .....	20
10.1	Dagens situasjon (før tiltak) .....	20
10.2	Konklusjon områdestabilitet for planområde Rådyrveien.....	20
10.2.1	Revisjon 01 (Nye krav til sikkerhet etter NVE 1/2019).....	21
10.3	Konklusjon områdestabilitet for planområde Ringneshagan.....	21
10.3.1	Revisjon 01 (Nye krav til sikkerhet etter NVE 1/2019).....	21
11	Referanser .....	22

## 1 Innledning

### 1.1 Bakgrunn

Norsk Bolig AS planlegger omregulering av to felt, *Ringneshagan* og *Rådyrveien*, på Løken i Aurskog-Høland kommune. Prosjektets beliggenhet er vist på oversiktskart i figur 0.1 og plassering av de to feltene er vist på situasjonsplan i figur 1.1.



Figur 1.1 Situasjonsplan

### 1.2 Rapportens innhold

Denne rapporten omhandler utredning av områdestabilitet i henhold til NVEs veileddning nr. 1/2019 - *Sikkerhet mot kvikkleireskred*, se ref. [1]. Rapporten bruker geotekniske definisjoner som krever faglig geoteknisk kompetanse.

Utførte grunnundersøkelser er presentert i vår rapport 19323 rapport nr. 1, se ref. [2].

### 1.3 Tiltakskategori

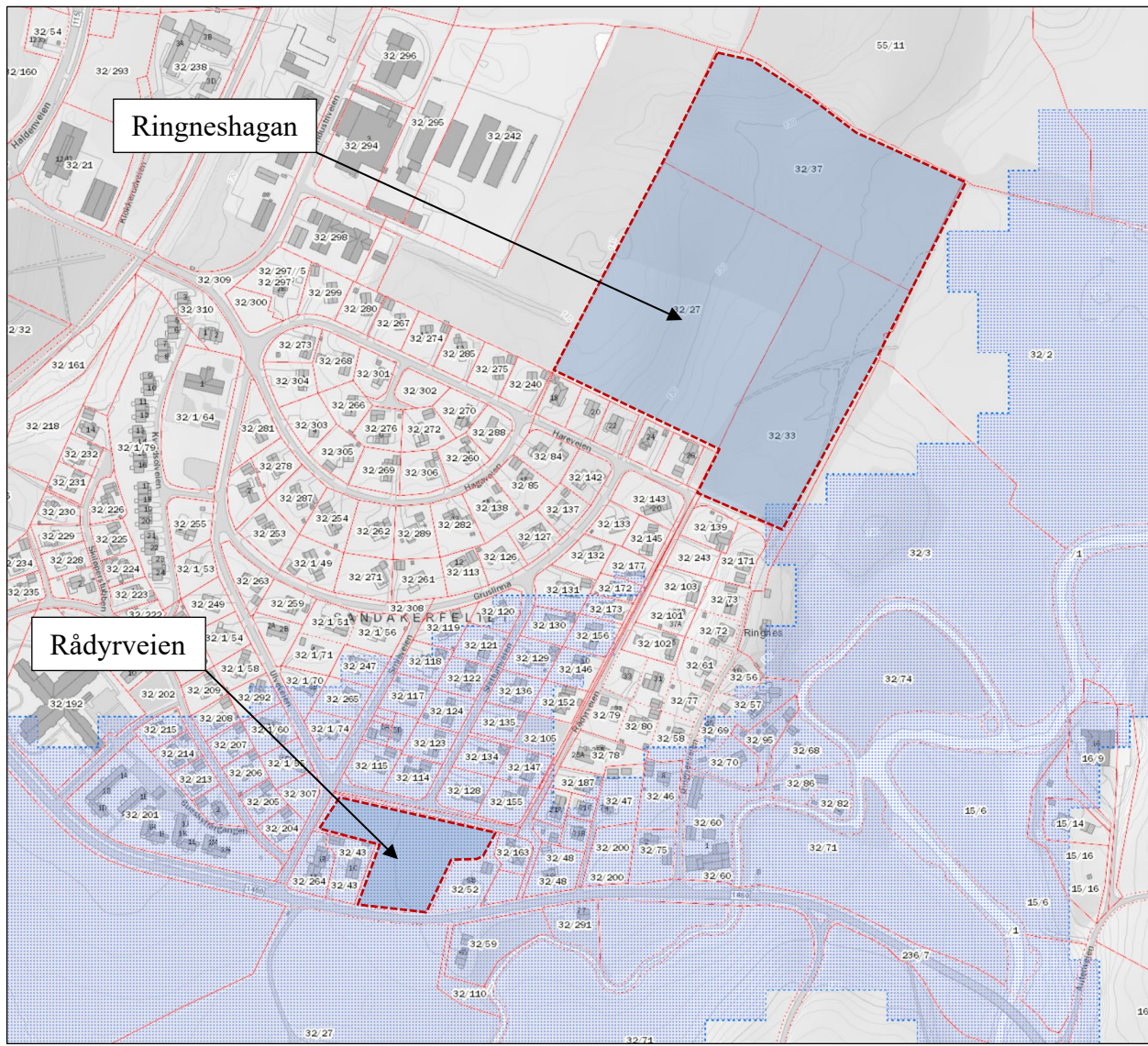
Iht. NVEs veileddning plasseres tiltaket i tiltakskategori K4 da det anses å medføre større tilflytting/personopphold sammenlignet med dagens situasjon.

## 2 TEK17 Kapittel 7 Sikkerhet mot naturpåkjenninger

I henhold til TEK17 Kapittel 7 skal byggverk plasseres, prosjekteres og utføres slik at det oppnås tilfredsstillende sikkerhet mot skade eller vesentlig ulempe fra naturpåkjenninger (flom, stormflo og skred).

Stormflo er ikke en aktuell påkjenning siden prosjektområdet er på innlandet. Ifølge NVE Atlas, se ref. [3], ligger planområde *Rådyrveien* innenfor et kartlagt aktsomhetsområde for flom, se figur 2.1. Sikkerhet mot flom er ikke innenfor Løvlien Georåds kompetanseområde og må vurderes av andre med faglig kompetanse for dette fagområdet.

Det er ifølge NVE Atlas ikke kartlagt aktsomhetsområder knyttet til skred i bratt terreng (snøskred, steinsprang eller jord- og flomskred) i det aktuelle området.



Figur 2.1 Aktsomhetsområde for flom fra NVE Atlas

Områdestabilitet skal utredes i henhold til NVEs veilegning nr. 1/2019 - *Sikkerhet mot kvikkleireskred*, se ref. [1].

### 3 Grunnlag

#### 3.1 Definisjoner

**Kvikkleire:** Leire som i omrørt tilstand har skjærfasthet mindre enn 0,5 kPa etter gammel konus-standard (NS8015). Etter ny konus-standard (ISO 17892-6:2017) tilsvarer dette omrørt skjærfasthet på 0,33 kPa.

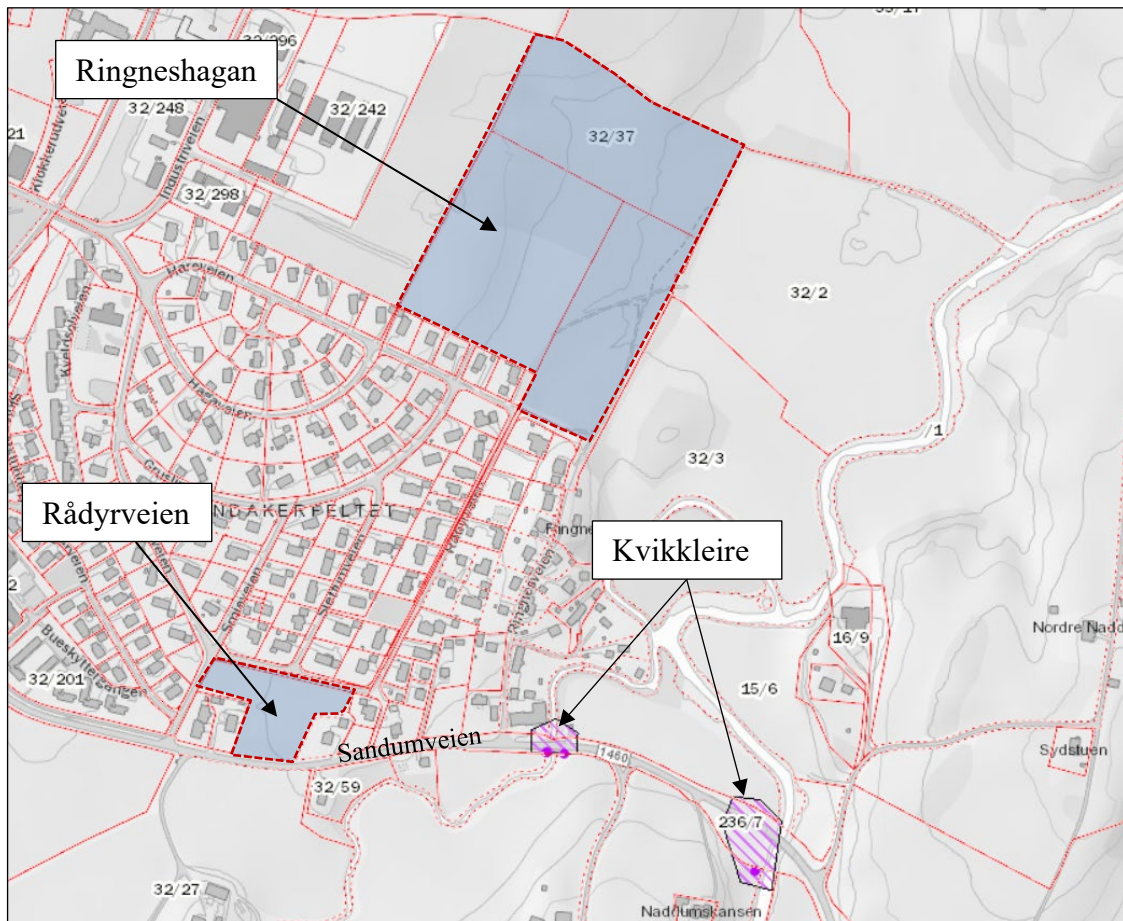
**Sprøbruddmateriale:** Leire som i omrørt tilstand har skjærfasthet mindre enn 2,0 kPa etter gammel konus-standard (NS8015). Etter ny konus-standard (ISO 17892-6:2017) tilsvarer dette omrørt skjærfasthet på 1,27 kPa. Kvikkleire er en type sprøbruddmateriale

Løvlien Georåd sitt laboratorium tok i bruk den nye konus-standarden fra august 2017, definisjon av kvikkleire og sprøbruddmateriale følger altså de nye verdiene for omrørt skjærfasthet (dvs.  $s_r \leq 0,33$  kPa og  $s_r \leq 1,27$  kPa).

I det videre omtales både kvikkleire og sprøbruddmateriale kun som **sprøbruddmateriale** siden veilederen ikke skiller mellom de to definisjonene ved utredning av områdestabilitet.

#### 3.2 Eksisterende faresoner

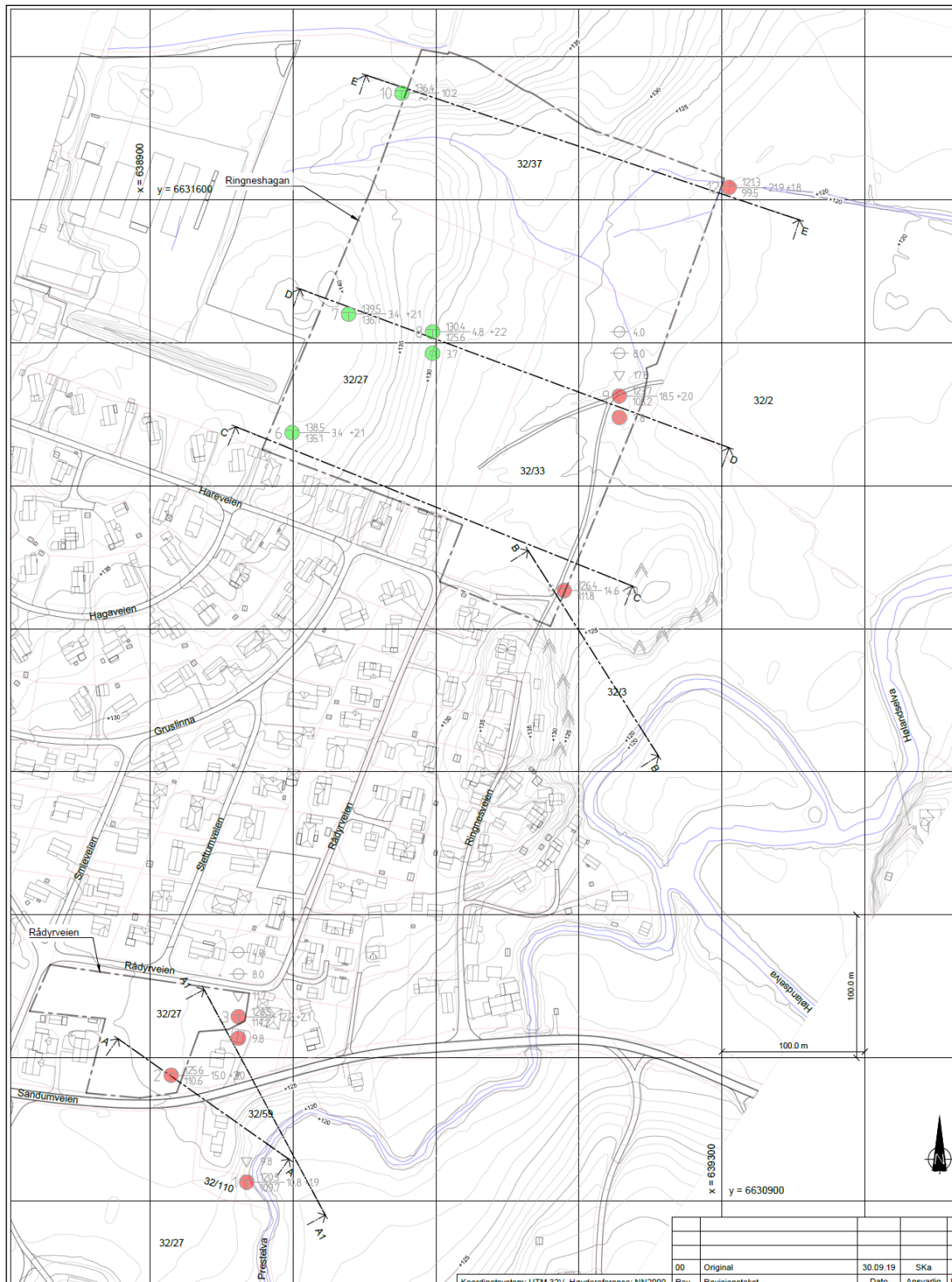
Det er ifølge NVE Atlas, se ref. [3], ikke tidligere kartlagt faresoner for kvikkleireskred i det aktuelle området. Det er imidlertid påvist forekomster av sprøbruddmateriale fra tidligere undersøkelser langs Sandumveien, se figur 3.1.



Figur 3.1 Kvikkleirekart fra NVE Atlas. Rosa skravur viser borpunkt med kartlagt forekomst av sprøbruddmateriale

### 3.3 Grunnundersøkelser

Løvlien Georåd har utført grunnundersøkelser for prosjektet. Resultatene er presentert i vår rapport 19323 rapport nr. 1, se ref. [2]. Det er registrert og/eller antatt forekomst av sprøbruddmateriale i 6 av 10 borpunkt. Se figur 3.2 for oversikt over utførte grunnundersøkelser. For nærmere detaljer henvises det til ovennevnte rapport.



Figur 3.2 Uførte grunnundersøkelser fra ref. [2]. Rødt punkt markerer borpunkt der det er registrert eller antatt forekomst av sprøbruddmateriale. Grønne punkt har ikke sprøbruddmateriale.

### 3.4 Erosjon

Løvlien Georåd utførte befaring den 4. september og 2. oktober i 2019 for å vurdere om det er aktiv erosjon langs vassdrag som kan påvirke områdestabilitet for de to planområdene. Det ble utført befaring langs Prestelva, sør for planområdet *Rådyrveien*.

Langs Prestelva er det observert tegn til aktiv erosjon i yttersvingen mot Sandumveien, se bilde fra befaring i figur 3.3. Trærne langs vannkanten er skjeve, og det er sår langs elvekanten mot Sandumveien.



Figur 3.3 Bilde fra befaring langs Prestelva, tatt 2. oktober 2019

For planområdet *Ringneshagan* vurderes det ikke å være vassdrag med aktiv erosjon som kan påvirke områdestabiliteten. Ca. 100 m sørøst for planområdet går det en bakevje fra Hølandselva rundt en kolle, se bilde fra befaring i figur 3.4. Denne bakevja vurderes å ha tilnærmet stillestående vann der vannstanden følger vannstanden i Hølandselva, se også vurdering av topografien ned mot bakevja for beregningsprofil B-B i kapittel 6.

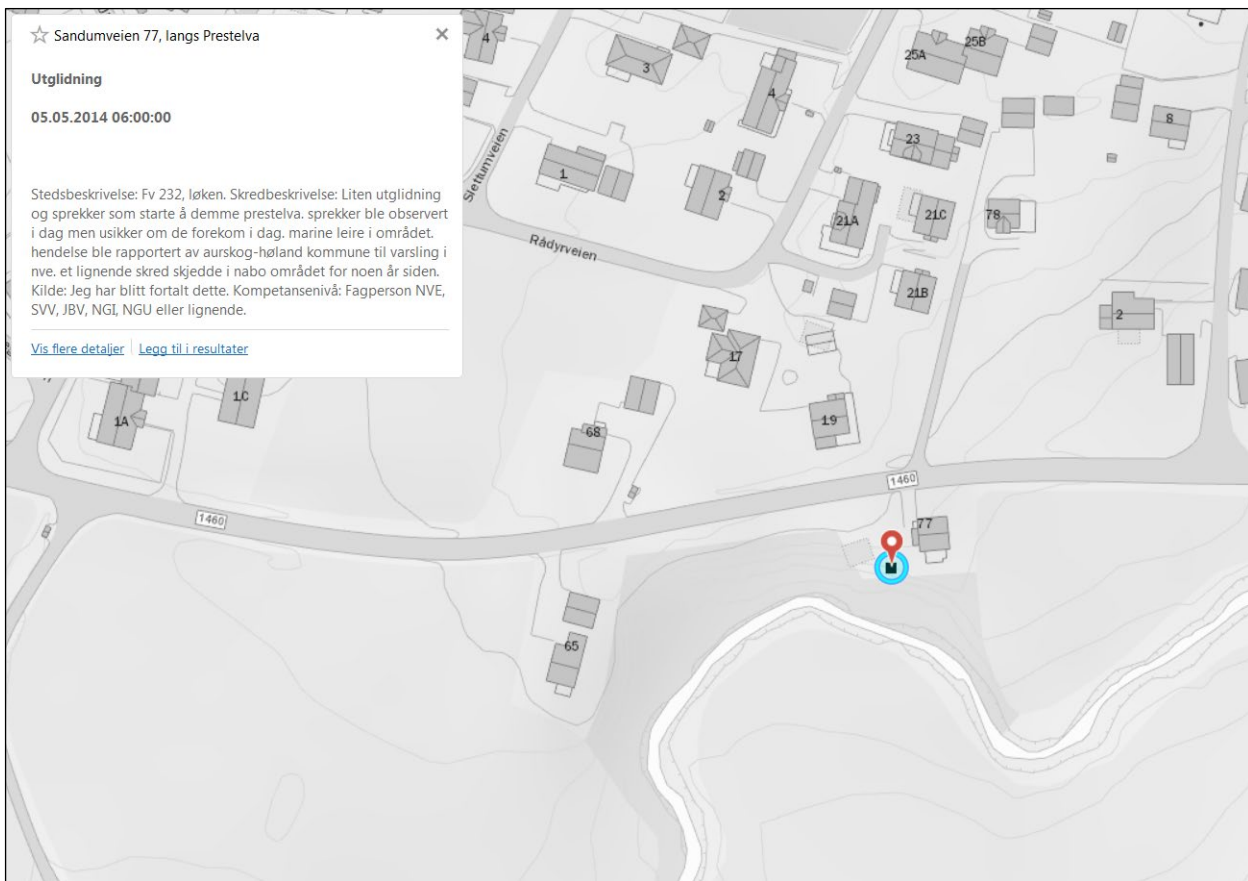


Figur 3.4 Bilde fra befaring, tatt 2. september 2019. Tatt fra borpunkt 5, mot sørøst.

### 3.5 Tidligere skredhendelser

Ifølge NVE Atlas, ref. [3], ble det observert en mindre utglidning ned mot Prestelva sør for Sandumveien i 2014, se beskrivelse i figur 3.5. Skredhendelsen skjedde i nærheten av planområdet for *Rådyrveien*. I beskrivelsen står det også at en lignende utglidning har skjedd i naboområdet noen år tidligere. Dette indikerer på at stabiliteten mellom Sandumveien og Prestelva er anstrengt.

For øvrig er det ikke kartlagt tidligere skredhendelser i nærheten av de to planområdene.



Figur 3.5 Tidligere kartlagte skredhendelser i området fra NVE Atlas

## 4 Terreng og grunnforhold

### 4.1 Kartgrunnlag

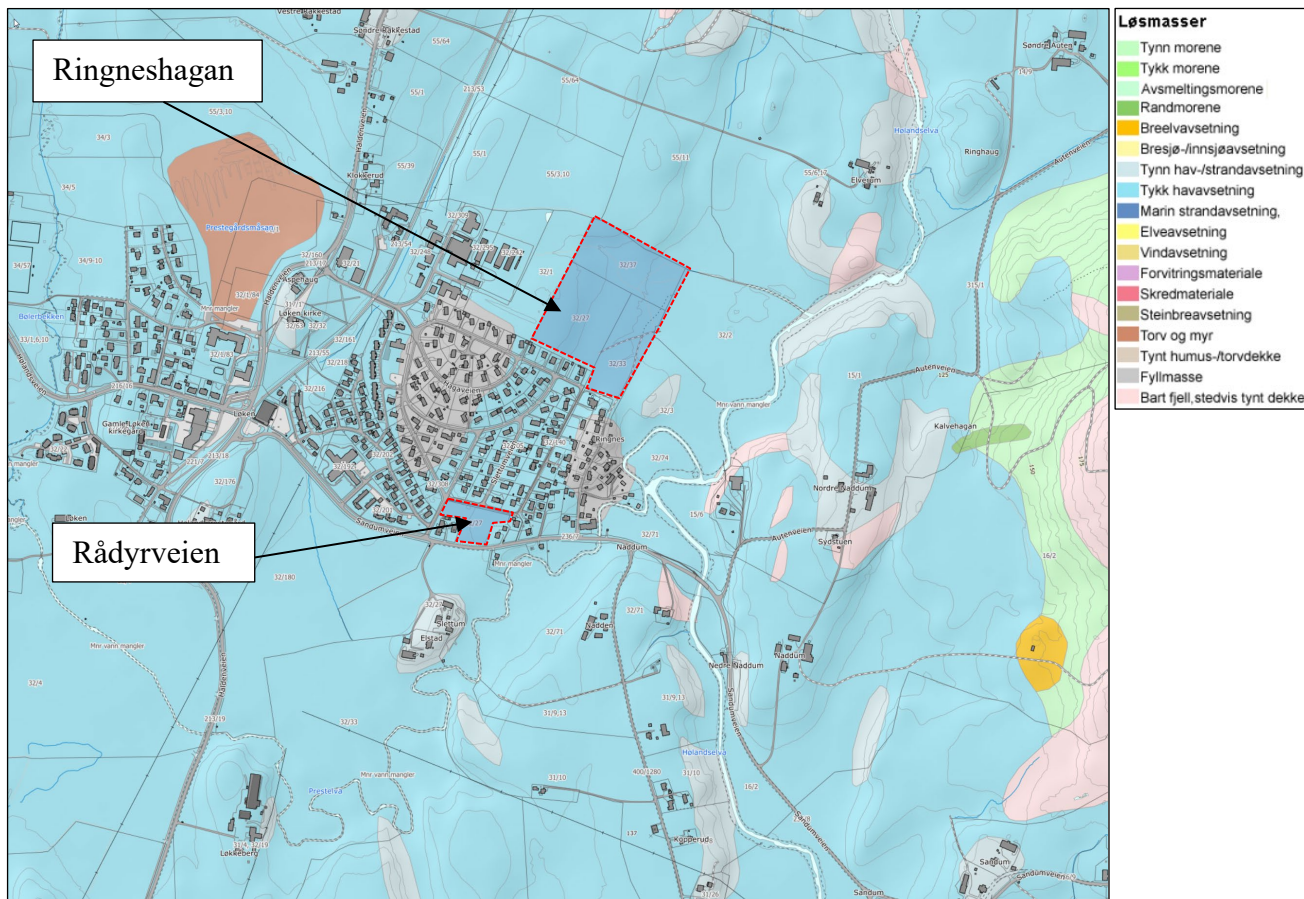
Planområdene ligger i sin helhet under marin grense. Ifølge kvartærgeologisk kart kan det forventes tykk havavsetning (leire og silt) og enkelte partier med berg i dagen og tynt løsmassedekke i det aktuelle området, se figur 4.1.

Topografisk kart for området er lastet ned fra nordeca.com (kartbanken) i 2019.

### 4.2 Topografi

Terrenget i området faller generelt mot sør og øst, fra en høyderygg som går langs vestre grense av planområdet *Ringneshagan*. Det høyeste punktet i området ligger på kote +140. Terrenget faller ned mot Prestelva og Hølandselva i sør og øst, der vannkanten ligger på ca. kote +119/+120.

Øst for nordre del av *Ringneshagan* er terrenget tilnærmet flatt, mens terrenghellingen i området for øvrig varierer mellom ca. 1:2 til slakere enn 1:20, med enkelte brattere bergskrenter.



Figur 4.1 Kvartærgelogisk kart fra NGU [4].

#### 4.3 Grunnforhold

I de lavereliggende områdene (dvs. området rundt Rådyrveien og østre del av Ringneshagan) består grunnforholdene av marine avsetninger av homogen leire. Mektigheten av leiravsetningene varierer fra ca. 6 m til 19 m i borpunktene. De marine avsetningene er dekket av et topplag av tørrskorpeleire med 1 – 2 m mektighet. Over berg er det påtruffet et lag med sand og grus. I de høyereliggende områdene (dvs. vestre del av Ringneshagan) består grunnforholdene av tørrskorpeleire, sand og grus over berg. Løsmassemektigheten i dette området varierer fra ca. 3,5 m til over 10 m i borpunktene.

Leiren kan hovedsakelig klassifiseres som *bløt til middels fast* og *middels til meget sensitiv*. Vanninnholdet er målt mellom 40 – 85 %. Leiren er *middels til meget plastisk* og leirinnholdet er målt til over 90 % i borpunkt 9. Det er påvist forekomster av kvikkleire og sprøbruddmateriale fra grunnundersøkelsene i begge planområdene.

Det er observert berg i dagen mellom Hølandselva og borpunkt 5. Registrert berg i dagen er markert på situasjonsplanen i tegning R02A01.

#### 4.4 Poretrykksforhold

Det er installert poretrykksmålere i 2 nivåer i borpunkt 3 og i borpunkt 9. Målerne ble installert 11. og 12. september 2019, og ble avlest første gang 2. oktober 2019. Resultat fra avlesningene er oppsummert i tabell 4.1.

I borpunkt 3 er det registrert noe lavere enn hydrostatisk poretrykksutvikling mot dybden (poreundertrykk), mens det er registrert noe høyere enn hydrostatisk poretrykksutvikling mot dybden i borpunkt 9 (poreovertrykk).

*Tabell 4.1 Oppsummering registrert poretrykk i borpunkt 3 og 9*

Punkt	Kote terrenge (m.o.h.)	Kote spiss (m.o.h.)	Dybde spiss meter u/terrenget	Stigehøyde	
				meter u/terrenget	kote (m.o.h.)
3	+126,45	+122,45	4 m	0,84 m	+125,61
3	+126,45	+118,45	8 m	0,92 m	+125,53
9	+123,68	+119,68	4 m	0,96 m	+122,72
9	+123,68	+115,68	8 m	0,01 m	+123,67

## 5 Soneavgrensning og klassifisering for planområde Rådyrveien

Metode for å vurdere løsnedistanse i foreliggende rapport er basert på å trekke en 1:15-linje fra bunn kritisk glideflate (eller maksimalt  $0,5 \times$  høydeforskjellen (H) av kritisk glideflate) bakover i sprøbruddmaterialet til den skjærer ut i ikke-sensitiv leire. Derfra og opp til terrencoverflaten trekkes en 1:3-linje. Krysningspunktet mellom 1:3-linjen og terrencoverflaten vil representere mulig løsnedistanse. I den reviderte kvikkleireveilederen, ref. [1], er 1:15-linja begrenset til  $0,25 \times$  høydeforskjellen (H) av kritisk glideflate i platå- eller ravineterreng. Løsnedistansen som er vurdert i foreliggende rapport vil derfor være mer forsiktig sammenlignet med den reviderte veilederen.

### 5.1 Løsneområde

Potensiell løsnedistanse fra Prestelva og opp mot planområdet for *Rådyrveien* er vurdert i to terregnprofiler. For profil A-A og A1-A1 er mulig løsnedistanse beregnet til henholdsvis ca. 85 m og 100 m for de to profilene (se tegning R02E01 og R02E03). Basert på disse beregningene er det definert et mulig løsneområde som kan påvirke planområde *Rådyrveien* som vist på situasjonsplan i tegning R02A02. Avgrensingen av løsneområdet mot øst og vest langs Prestelva er bestemt på bakgrunn av at høydeforskjellen i skråningen ned mot elva avtar til mindre enn 5 m.

### 5.2 Utløpsområde

Utløpsområdet vil være langs elva, dvs. langs kanalisert terreng. Utløpsdistansen er bestemt på bakgrunn av NIFS-rapport 14/2016 – *Metode for vurdering av løsne- og utløpsområder for områdeskred*, se ref. [5]. For kanalisert terreng foreslås det i rapporten å legge til grunn at utløpsdistansen vil være ca.  $3 \times$  løsnedistansen, som tilsvarer ca. 300 m. Det er naturlig å anta at skredmassene vil stoppe opp mot kulverten/brua under Sandumveien og at en del av skredmassene derfor vil kunne bre seg oppstrøms for løsneområdet. Vurdert utløpsområde er vist på situasjonsplanen i tegning R02A02.

### 5.3 Faregradsklassifisering

Skjema for faregradsklassifisering er vist i vedlegg 1.

Faresonen vurderes til faregrad *middels*, konsekvensklasse *meget alvorlig*, samt risikoklasse 2 for dagens situasjon.

## 6 Soneavgrensning og klassifisering for planområde Ringneshagan

For planområde *Ringneshagan* er forekomst av sprøbruddmateriale kartlagt i lavereliggende del av terrenget, øst i planområdet.

## 6.1 Løsnedistanse

Fra nordøstre del av planområdet faller terrenget ned mot Hølandselva med gjennomsnittlig terrengheling slakere enn 1:50, se figur 6.1. Et skred langs elva vil følgelig ikke kunne forplante seg inn til planområdet. I østre del av planområdet tilsier imidlertid topografien at et retrogressivt skred kan oppstå. Mulig løsnedistanse er vurdert langs profil D-D etter de samme kriteriene som for Rådyrveien, se tegning R02E07. For profil C-C og E-E er løsneområdet forsiktig vurdert ut fra kartlagte forekomster av sprøbruddsmateriale i lavereliggende terrengr.

I sørøstre del av planområdet faller terrenget ned mot bakevja med gjennomsnittlig terrengheling ca. 1:15 mellom oppstikkende berg, se figur 6.1. I profil B-B går 1:15-linja fra bunn elv ca. 4 meter inn på planområdet, se tegning R02E05.

Basert på dette er det definert to mulige løsneområder som vist i tegning R02A02.

## 6.2 Utløpsområde

Utløpsområde langs profil B-B vil være ned mot Hølandselva og bakevja. For kanalisert terrengr er mulig utløpsdistanse vurdert til å være 3 x løsnedistansen.

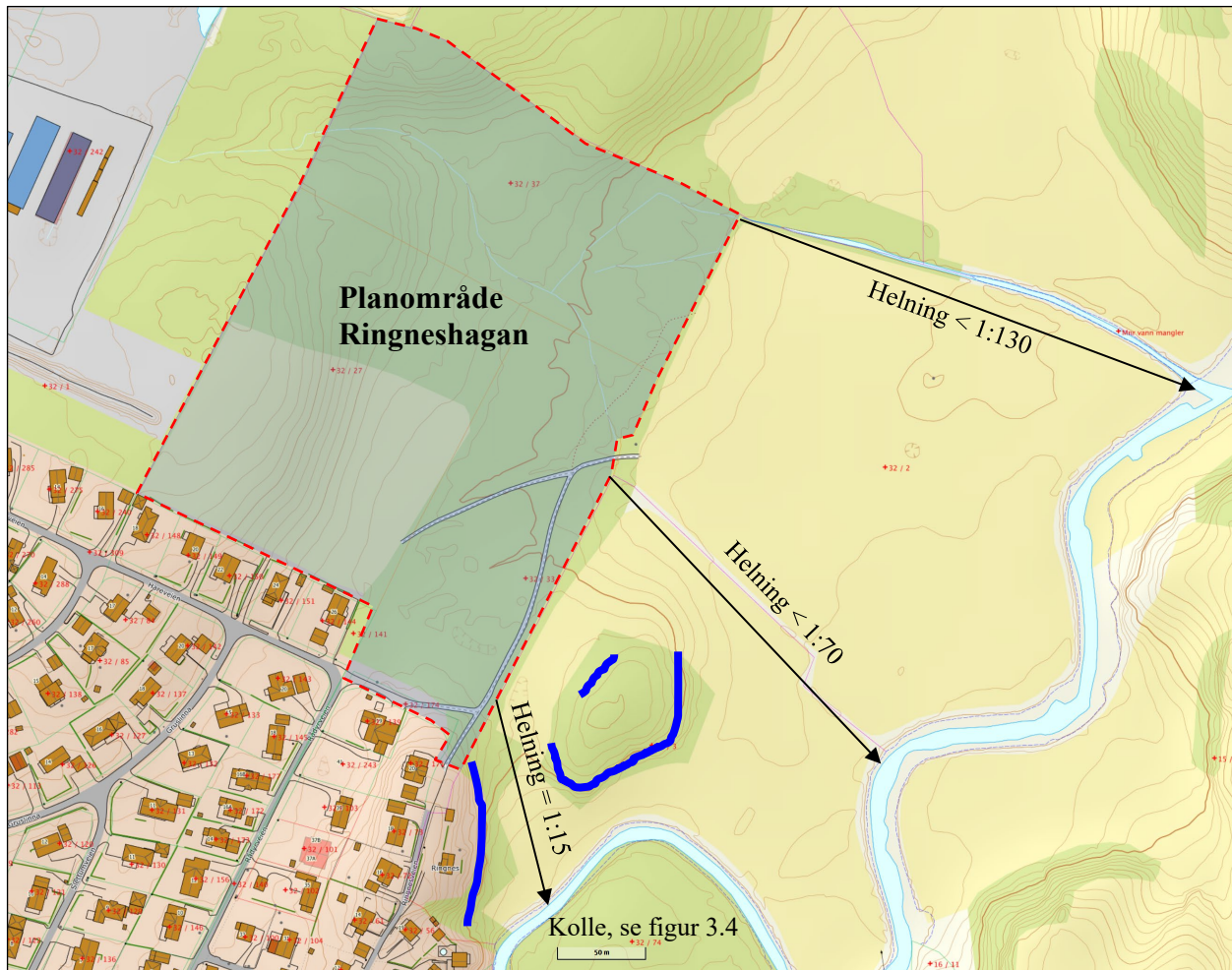
For profil C-C, D-D og E-E vil utløpsområdet være i åpent terrengr. Her er utløpsdistansen vurdert å være 1,5 x løsnedistansen iht. ref. [1].

Utløpsområdet er vist i tegning R02A02.

## 6.3 Faregradsklassifisering

Skjema for faregradsklassifisering er vist i vedlegg 2.

Faresonen vurderes til faregrad *middels*, konsekvensklasse *mindre alvorlig*, samt risikoklasse *I* for dagens situasjon.



Figur 6.1 Situasjonsplan Ringneshagan (blå strek markerer observert berg i dagen)

## 7 Sikkerhetskrav

### 7.1 Tiltak

Krav til sikkerhet for områdestabilitet for tiltakskategori K4 og faregrad *middels* iht. NVEs reviderte veileder, ref. [1], er beskrevet nedenfor.

Dersom planlagte tiltak forverrer stabilitetsforholdene skal det kreves absolutt sikkerhetsfaktor  $F_{cu} \geq 1,61$  og  $F_{c\phi} \geq 1,25$ .

For tiltak som ikke forverrer stabilitetsforholdene er krav til sikkerhet  $F_{cu} \geq 1,40$  og  $F_{c\phi} \geq 1,25$ . Ved lavere sikkerhet må  $F_{cu}$  og  $F_{c\phi}$  økes prosentvis.

For skråninger som ligger utenfor influensområdet til tiltaket gjelder krav til sikkerhet  $F_{c\phi} \geq 1,25$ , samt krav om robusthet  $F_{cu} \geq 1,20$ . Ved lavere sikkerhet skal  $F_{cu}$  og  $F_{c\phi}$  økes prosentvis.

Utredningen av områdestabilitet skal kvalitetssikres av uavhengig foretak.

Eventuelle skjærflater som i hovedsak går gjennom planlagte fyllinger og/eller skjæringer vurderes generelt som lokalstabilitet og skal oppfylle stabilitetskrav i henhold til NS-EN-1997-1-1 tabell NA.A.4 (Eurokode 7):

- $F_{su} \geq 1,40$  for totalspenningsanalyser
- $F_{a-\phi} \geq 1,25$  for effektivspenningsanalyser

## 8 Grunnlag for stabilitetsvurderinger

### 8.1 Kritiske snitt og skredmekanismer

Geoteknisk stabilitet er analysert langs 6 beregningsprofiler med beliggenhet som vist på situasjonsplan i tegning R02A01. Profil A-A og A1-A1 omfatter stabilitetsvurderinger for *Rådyrveien*, mens profil B-B til profil E-E omfatter stabilitetsvurderinger for *Ringneshagan*.

Fra planområde *Rådyrveien* går det en bratt skråning ned mot Prestelva, på nedsiden av Sandumveien. Tolket lagdeling og terrengeanalyser viser at et skred ned mot elva potensielt kan forplante seg inn mot planområdet.

For planområde *Ringneshagan* faller terrenget med slak helning ned mot Hølandselva, og tolket lagdeling og terrengeanalyser viser at et skred nede ved elva ikke vil kunne bre seg inn på planområdet. Siden det er påvist forekomster av kvikkleire innenfor planområdet vil kravene som er definert i kapittel 7.1 være gjeldende.

## 9 Materialparametere

### 9.1 Tyngdetethet

Tyngdetethet for bruk i stabilitetsberegningene er i hovedsak bestemt fra målinger på opptatte prøver. Se stabilitetsberegningene for benyttet tyngdetethet.

### 9.2 Prekonsolidering

Det er utført 3 ødometerforsøk fra opptatte prøver. Samtlige av ødometerforsøkene viser et relativt markert knekkpunkt for  $p_c'$  fra spenning-tøyningskurvene. Basert på dette er OCR tolket å ligge mellom 1,61 – 1,71 i leiren. Tolkning av ødometerforsøkene er vist i tillegg 1.6.

Tolket  $p_c'$  fra ødometerforsøkene indikerer at tidligere terrengnivå har vært mellom ca. kote +131 til kote +136 (opprinnelig avsatt sjøbunn fra siste istid). Valgt OCR-profil for tolkning av udrenert skjærstyrke fra CPTU er basert på resultat fra ødometerforsøkene og beregnet OCR-profil fra normalisert spissmotstand fra CPTU ( $Q_t$ ).

### 9.3 Udrenert aktiv skjærstyrke ( $s_u^A$ ) og anisotropi (ADP)

Vurdering av aktiv udrenert skjærstyrke ( $s_u^A$ ) for leiren er i hovedsak basert på treaksialforsøk fra borpunkt 3 og 9 og trykksonderingene (CPTU) i borpunkt 1, 3 og 9. I tillegg er det benyttet Shanse-p-korrelasjoner utledet fra antakelse om opprinnelig avsatt sjøbunn for nedre del av beregningsprofil B-B.

Tolkning av treaksialforsøkene er vist i tillegg 1.5, mens tolkning av CPTU-sonderingerne er vist i tillegg 1.1 til 1.3. Shanse-p-beregning for nedre del av profil B-B er vist i tillegg 1.4.

CPTU-sonderingen i borpunkt 1 viser generelt en "slapp" poretrykksrespons i hele dybdeintervallet. Tolket skjærstyrkeprofil er dermed valgt på bakgrunn av registrert spissmotstand, se tillegg 1.1.

Ved borpunkt 3 ligger målt skjærstyrke fra treaksialforsøket noe lavere en valgt skjærstyrkeprofil fra CPTU-sonderingen i samme dybde, se tillegg 1.2. Valgt skjærstyrke fra CPTU i denne dybden er 40 kPa, mens målt skjærstyrke fra treaksialforsøket er 33,5 kPa. Siden dette er et sprøbruddmateriale, er tolket skjærstyrkeprofil fra CPTU redusert med 15 % i stabilitetsberegningene, som tilsvarer en skjærstyrke på 34 kPa. Skjærstyrken som er benyttet i beregningsprogrammet og målt skjærstyrke fra treaksialforsøket stemmer dermed godt overens.

Valgt skjærstyrkeprofil CPTU-sonderingen i borpunkt 9 stemmer godt overens med målt skjærstyrke fra treaksialforsøkene i samme borpunkt. I beregningsprogrammet er aktiv skjærstyrke redusert med 15 % pga. sprøbruddoppførsel. Skjærstyrkeprofilet vurderes dermed å være på valg på forsiktig side.

I henhold til prosedyre gitt i NGF melding nr. 5, se ref. [7], vurderes alle CPTU-sonderingene å tilfredsstille anvendelsesklasse 1 for spissmotstand, sidefriksjon og poretrykk, se tillegg 1.7 til 1.9.

Forholdet mellom aktiv, direkte, og passiv skjærstyrke velges på bakgrunn av NIFS-rapport: «*En omforent anbefaling for bruk av anisotropifaktorer i prosjektering i norske leirer*», ref. [8]. I rapporten er det anbefalt å velge anisotropiforhold på bakgrunn av målt plastisitetsindeks ( $I_p$ ) som vist i tabell 9.1.

Tabell 9.1 Anbefalt relasjon mellom  $I_p$  og ADP-faktorer, ref. [8]

$I_p$ (%)	$s_u^D / s_u^A$ (-)	$s_u^P / s_u^A$ (-)
$I_p \leq 10\%$	0,63	0,35
$I_p > 10\%$	$0,63 + 0,00425 \cdot (I_p - 10)$	$0,35 + 0,00375 \cdot (I_p - 10)$

Basert på laboratorieforsøk er det valgt å legge til grunn en gjennomsnittlig  $I_p = 20\%$  i leira, som gir følgende anisotropiforhold:

- $s_u^D / s_u^A = 0,65$
- $s_u^P / s_u^A = 0,37$

I tillegg er tolket aktiv skjærstyrke fra CPTU redusert med 15 % i sprøbruddmateriale iht. [6]:

- $s_u^A = 1,0 s_u^A$  for leire med  $s_u^r > 1,27$  kPa
- $s_u^A = 0,85 s_u^A$  for leire med  $s_u^r \leq 1,27$  kPa

#### 9.4 Effektive styrkeparametere

For tørrskorpeleire, leire, kvikkleire og støttefylling/erosjonssikring av steinfylling er det valgt å benytte anbefalte verdier fra vegvesenet, se ref. [9]. For sand/grus-laget over berg er det valgt parametere som ansees som tilstrekkelig til å hindre at skjærflatene søker gjennom dette laget.

Tabell 9.2 Valgte effektivspenningsparametere

Materiale	Friksjonsvinkel, $\phi$ (-)	Kohesjon, $c'$ (kPa)
Tørrskorpeleire	30	0,1
Leire	24	4,0
Kvikkleire	20	1,0
Sand/grus	35	0,5
Steinfylling	42	2,0

## 9.5 Tolkning av lagdeling

Lagdeling er tolket på bakgrunn av utførte felt- og laboratorieundersøkelser. Tolket lagdeling i kritiske borpunkt er vist i tillegg 1.10.

## 10 Stabilitetsanalyser

Stabilitetsberegningene er utført i GeoSuite Stability og BEAST som beregningsverktøy [10]. Det er utført beregninger for totalspenningsbasis (udrenert tilstand) og effektivspenningsbasis (drenert tilstand). Både sirkulærslindriske og sammensatte glideflater er kontrollert og presentert i beregningene. Det er ikke tatt hensyn til eventuelle positive bidrag fra geometrieffekter i beregningene (3D-effekter).

### 10.1 Dagens situasjon (før tiltak)

Beregnet geoteknisk stabilitet for dagens situasjon er oppsummert i tabell 10.1. Krav i tabellen er definert etter den gamle NVE veilederen (1/2014, se ref. [6]). Endringer fra gammel til revidert veileder er beskrevet nærmere i kapittel 10.2.1 og 10.3.1.

For Rådyrveien er det påvist sikkerhetsfaktor for dagens situasjon som er lavere enn kravet i NVEs gamle veileder 1/2014.

Beregnehete profiler for Ringneshagan viser tilfredsstillende geoteknisk stabilitet for dagens situasjon.

*Tabell 10.1 Oppsummering beregnet geoteknisk stabilitet og krav til stabilitet for dagens situasjon*

Tegningsnr.	Profil	Beregningsmet.	Beregnet F	Krav F	Vurdering
R02E01	A-A	ADP / AFI	1,36 / 1,40	1,38 (1,5%)	Ikke OK
R02E03	A1-A1	ADP / AFI	1,21 / 1,30	1,26 (4,5%)	Ikke OK
R02E05	B-B	ADP / AFI	1,61 / 1,94	1,4	OK
R02E06	C-C	ADP / AFI	2,13 / 2,44	1,4	OK
R02E07	D-D	ADP / AFI	2,80 / 2,37	1,4	OK
R02E08	E-E	ADP / AFI	1,40 / 2,14	1,4	OK

### 10.2 Konklusjon områdestabilitet for planområde Rådyrveien

Utførte beregninger viser at områdestabiliteten for deler av planområdet *Rådyrveien* ikke er tilfredsstillende for dagens situasjon. Terrenganalyser og tolket lagdeling viser at et skred langs Prestelva vil kunne bre seg inn på østre del av planområdet.

Dersom det er ønskelig å bygge innenfor det kartlagte løsneområdet (dvs. bygging innenfor området med rød skravur i tegning R02A02 og R02A03), må det etableres en støttefylling langs elva i tillegg til at det sikres mot videre erosjon langs elvekanten. Det er utført stabilitetsberegninger med en slik løsning som vist på tegning R02E02 og R02E04. Resultatene er oppsummert i tabell 10.2. Beregningene viser at det kreves relativt lite oppfylling ned mot elva for å oppnå tilfredsstillende forbedring av geoteknisk stabilitet. En situasjonsplan som viser tiltakets omfang i plan er vist i tegning R02A03.

Bygging utenfor det skraverte løsneområdet på tegning R02A02 og R02A03 (rød skravur) vil imidlertid være mulig uten tiltak da det er beregnet tilfredsstillende geoteknisk stabilitet for glideflater som går inn på eiendommen. Eventuell utbygning bør imidlertid utføres uten tilføring av vekt mot grunnen, dvs. kompensert fundamentering av bygg og veger. Dette vil også være

hensiktsmessig med tanke på risiko for setninger. VA-ledninger og annen infrastruktur under bakken bør etableres så grunt som mulig (eventuelt i kombinasjon med frostisolasjon) for å unngå dype utgravinger ned i sprøbruddmaterialet.

*Tabell 10.2 Oppsummering beregnet sikkerhet for geoteknisk stabilitet med sikringstiltak langs elva*

Tegningsnr.	Profil	Beregningstmet.	Beregnet F	Krav F	Vurdering
R02E02	A-A Tiltak	ADP/ <a href="#">AFI</a>	1,41 / 1,51	1,38	OK
R02E04	A1-A1 Tiltak	ADP/ <a href="#">AFI</a>	1,29 / 1,55	1,26	OK

#### *10.2.1 Revisjon 01 (Nye krav til sikkerhet etter NVE 1/2019)*

Avstanden fra skråningskanten ned mot elva og inn til planområdet er større en  $2 \times$  skråningshøyden, se tegning R02E01 og R02E03. Dette betyr at skråningen ligger utenfor influensområdet til planområdet. Det er påvist tilfredsstillende robusthet av skråningen ( $F_{cu} \geq 1,20$  og  $F_{cp} \geq 1,25$ ). Det er følgelig ikke nødvendig å etablere en støttefylling langs elva for å øke sikkerheten for områdestabilitet. Dersom det er ønskelig å bygge innenfor det kartlagte løsneområdet må det imidlertid utføres erosjonssikring langs elva.

#### 10.3 Konklusjon områdestabilitet for planområde Ringneshagan

Utførte terrengeanalyser og tolkning av lagdeling fra grunnundersøkelser viser at planområdet ikke ligger innenfor et potensielt løsneområde for et erosjonsutløst skred langs Hølandselva. Områdestabiliteten vurderes følgelig som tilfredsstillende for dagens situasjon inne på planområdet.

Utførte grunnundersøkelser viser imidlertid at det er forekomster av svært bløt leire i østre del av planområdet som har et betydelig setningspotensiale dersom den blir belastet ut over dagens situasjon. Bygg og veger bør i så stor grad som mulig tilpasses dagens terreng for å unngå oppfyllinger. Det bør generelt planlegges at veger og bygg etableres kompensert, enten ved avgraving eller ved masseutskiftning med lette masser. VA-ledninger og annen infrastruktur under bakken bør etableres så grunt som mulig (eventuelt i kombinasjon med frostisolasjon) for å unngå dype utgravinger ned i sprøbruddmaterialet. Fallforhold for overvann- og avløpsledninger bør vies ekstra oppmerksomhet for å unngå dype grøftetraseer.

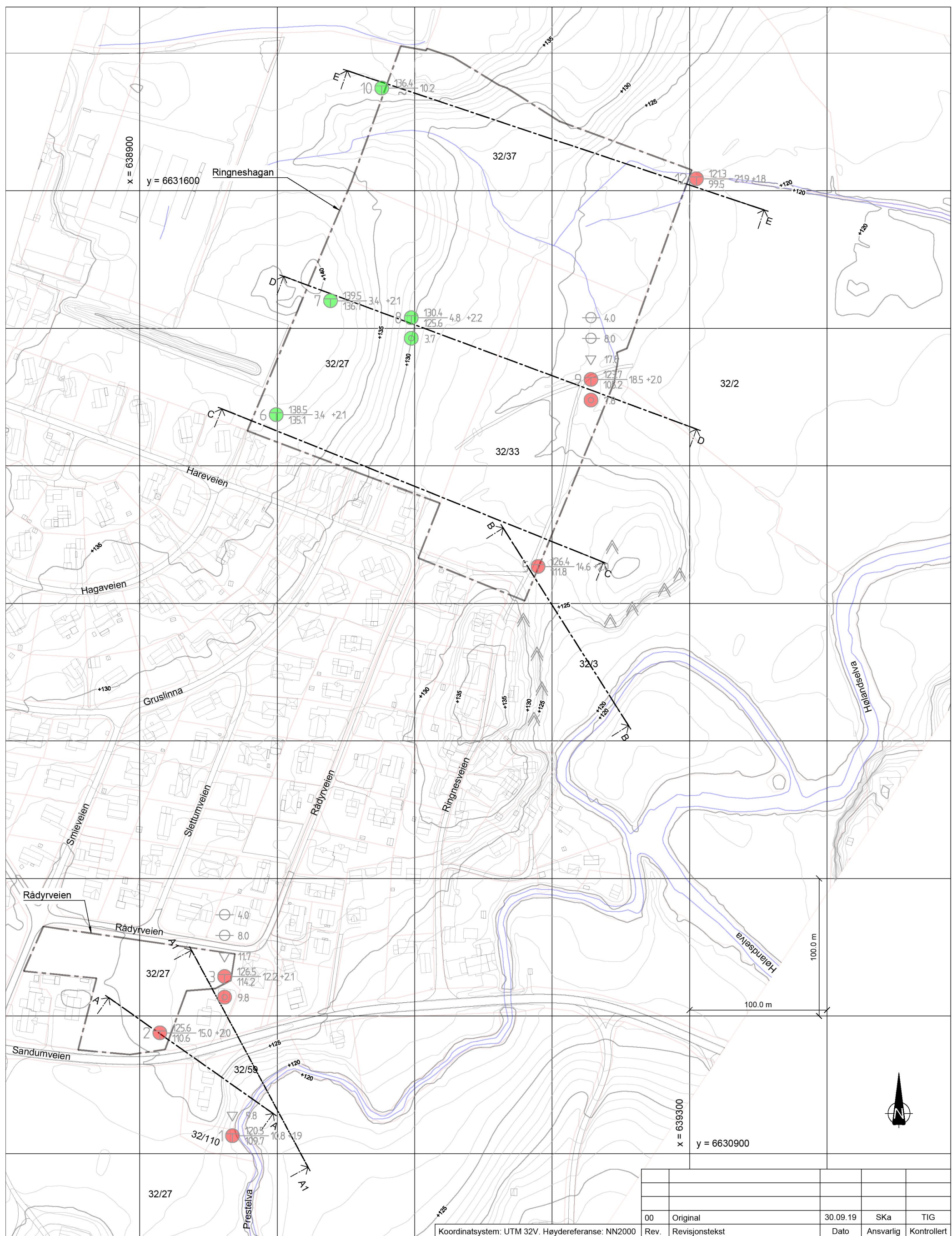
I neste planfase bør det utføres supplerende grunnundersøkelser for å kartlegge utbredelsen av de bløte leirmassene innenfor planområdet.

#### *10.3.1 Revisjon 01 (Nye krav til sikkerhet etter NVE 1/2019)*

For profil E-E er minste beregningsmessige sikkerhetsfaktor  $F_{cu} = 1,40$ . Dersom planlagte tiltak forverrer stabilitetsforholdene, må beregningsmessig sikkerhet økes til  $F_{cu} = 1,61$ . Det er derfor viktig at det gjøres en geoteknisk vurdering tidlig i neste planfase for å vurdere hvorvidt de planlagte tiltak gir en negativ påvirkning på stabilitetsforholdene. For de øvrige beregningsprofilene er beregnet sikkerhet god.

## 11 Referanser

- [1] Norges vassdrags- og energidirektorat (NVE), «Veileder nr.1/2019 Sikkerhet mot kvikkleireskred. Vurdering av områdestabilitet ved arealplanlegging og utbygging i områder med kvikkleire og andre jordarter med sprøbruddegenskaper,» 2020.
- [2] Løvlien Georåd AS, «Reguleringsplan for Ringneshagan og Rådyrveien, Løken i Aurskog-Høland kommune. Geoteknisk datarapport 19323 nr. 1,» 08.10.2019.
- [3] NVE, «NVE Atlas,» [Internett]. [Funnet 2019].
- [4] Norges Geologisk Undersøkelse, «Nasjonal løsmassedatabase,» [Internett]. Available: <http://geo.ngu.no/kart/losmasse/>.
- [5] Norges vassdrags- og energidirektorat, «Rapport nr. 14-2016 Metode for vurdering av løsne- og utløpsområder for områdeskred,» Norges vassdrags- og energidirektorat, 2016.
- [6] Norges vassdrags- og energidirektorat (NVE), «Veileder nr. 7-2014 Sikkerhet mot kvikkleireskred,» 2014.
- [7] Norges Geotekniske Forening (NGF), «NGF melding 5: Veiledning for utførelse av trykksondering,» 1982, rev. 3 2010.
- [8] Naturfareprosjektet Dp. 6 Kvikkleire, «Rapport 14-2014 En omforent anbefaling for bruk av anisotropifaktorer i prosjektering i norske leirer,» 2014.
- [9] Statens vegvesen, Vegdirektoratet, «Håndbok V220 - Geoteknikk i vegbygging,» 2018.
- [10] Trimble - Novapoint , «BEAST. A Computer Program for Limit Equilibrium Analysis by the Method of Slices. Documentation.,» Report 8302-2, rev. 3. 10. aug. 2000.



## **FORKLARINGER:**

PKT.NR.

**TOTALSONDERING**  **TERRENGNIVÅ** **BORDYBDE+BORET I BERG**  
**BERGNIVÅ**

CPTU ▽ BORDYBDE

VANNSTANDSRØR DYBDE SPISS

BERG I DAGEN 

BERG I DAGEN

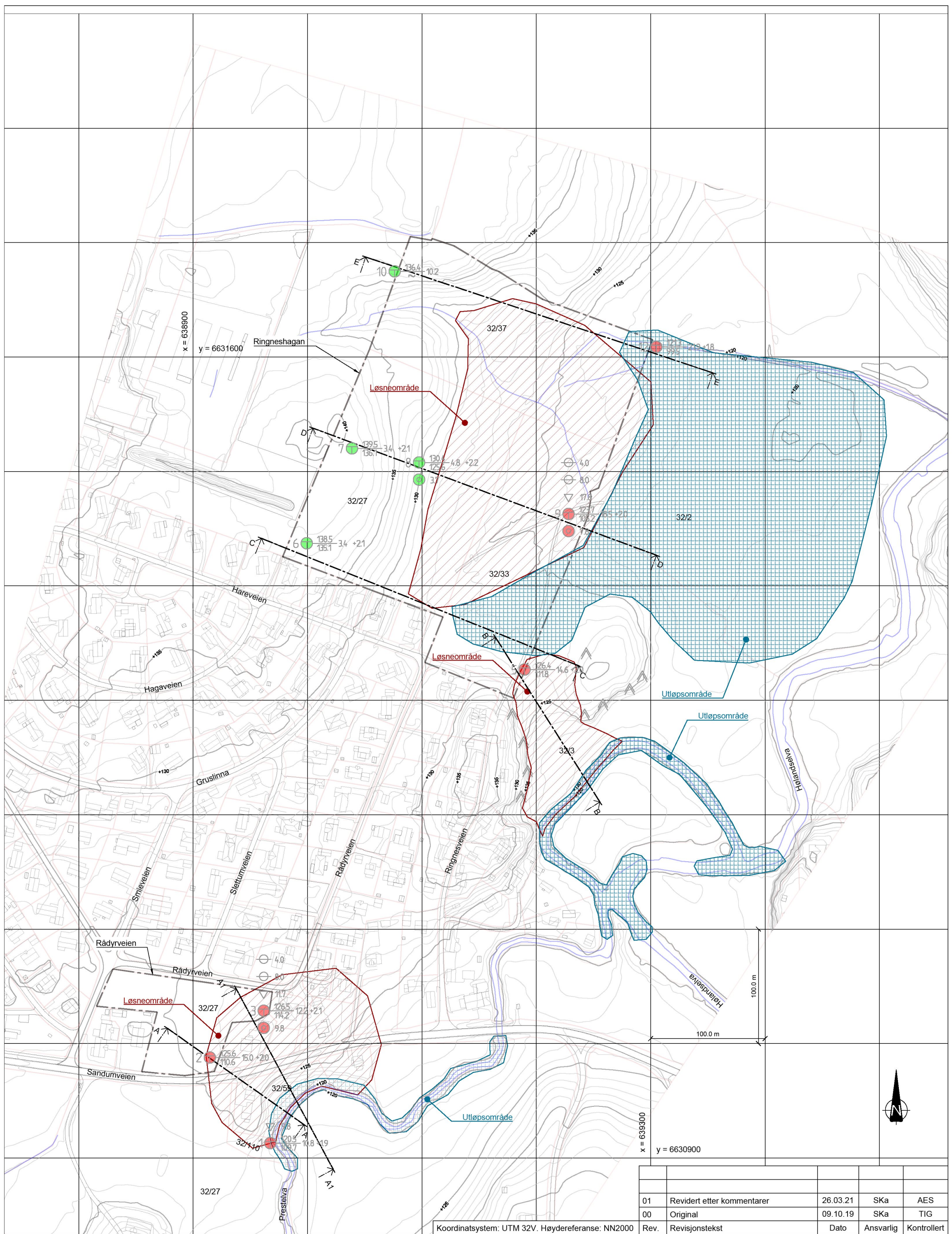
BORPUNKT MED KVIKKLEIRE/SPRØBRUDD

BORPUNKT UTEK KVIKKLEIRE/SPRØBRUDD



Elvesletta 35  
2323 Ingeberg  
Telefon: 95 48 50 00  
E-post: post@georaad.no

00	Original	30.09.19	SKa	TIG
Rev.	Revisjonstekst	Dato	Ansvarlig	Kontrollert
Tiltakshaver Norsk Bolig AS			Tegning nr. R02A01	
Oppdragsgiver Norsk Bolig AS			Prosjekt nr. 19323	
Prosjekt Reg.plan Ringneshagan og Rådyrvæien, Løken			Format / Målestokk A3 / 1:2500	
Tegningstittel Situasjonsplan m/ borpunkt og beregningsprofiler			Status Områdestabilitet	



Elvesletta 35  
2323 Ingeberg  
Telefon: 95 48 50 00  
E-post: post@georad.no

Tiltakshaver Norsk Bolig AS	Tegning nr. R02A02
Oppdragsgiver Norsk Bolig AS	Prosjekt nr. 19323
Prosjekt Reg.plan Ringneshagan og Rådyrveien, Løken	Format / Målestokk A3 / 1:3000
Tegningstittel Situasjonsplan m/ løsne- og utløpsområde	Status Områdestabilitet



#### FORKLARINGER:

- Løsneområde
- Erosjonssikring og støttefylling av stein

Koordinatsystem: UTM 32V. Høydereferanse: NN2000

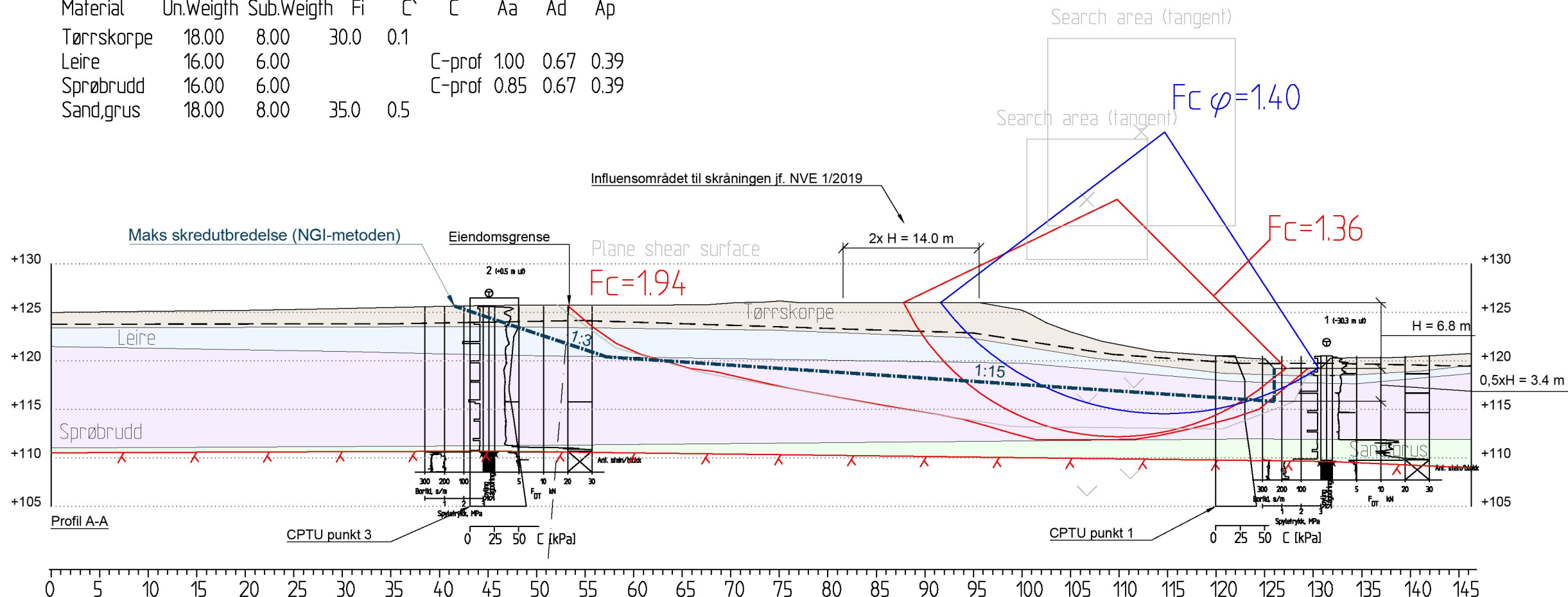


Elvesletta 35  
 2323 Ingeberg  
 Telefon: 95 48 50 00  
 E-post: post@georad.no

### Drenerte parametere

Material	Un.Weigth	Sub.Weigth	Fi	C'	C	Aa	Ad	Ap
Tørrskorpe	18.00	8.00	30.0	0.1				
Leire	16.00	6.00			24.0	4.0		
Sprøbrudd	16.00	6.00			20.0	1.0		
Sand,grus	18.00	8.00	35.0	0.5				

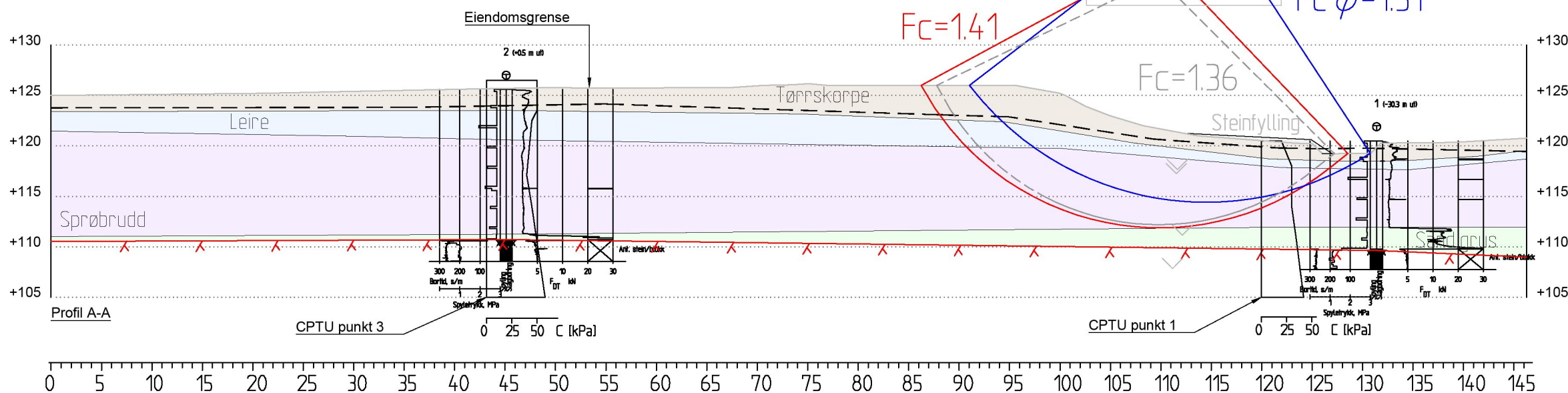
Material	Un.Weigth	Sub.Weigth	Fi	C'	C	Aa	Ad	Ap
Tørrskorpe	18.00	8.00	30.0	0.1				
Leire	16.00	6.00		C-prof	1.00	0.67	0.39	
Sprøbrudd	16.00	6.00		C-prof	0.85	0.67	0.39	
Sand,grus	18.00	8.00	35.0	0.5				



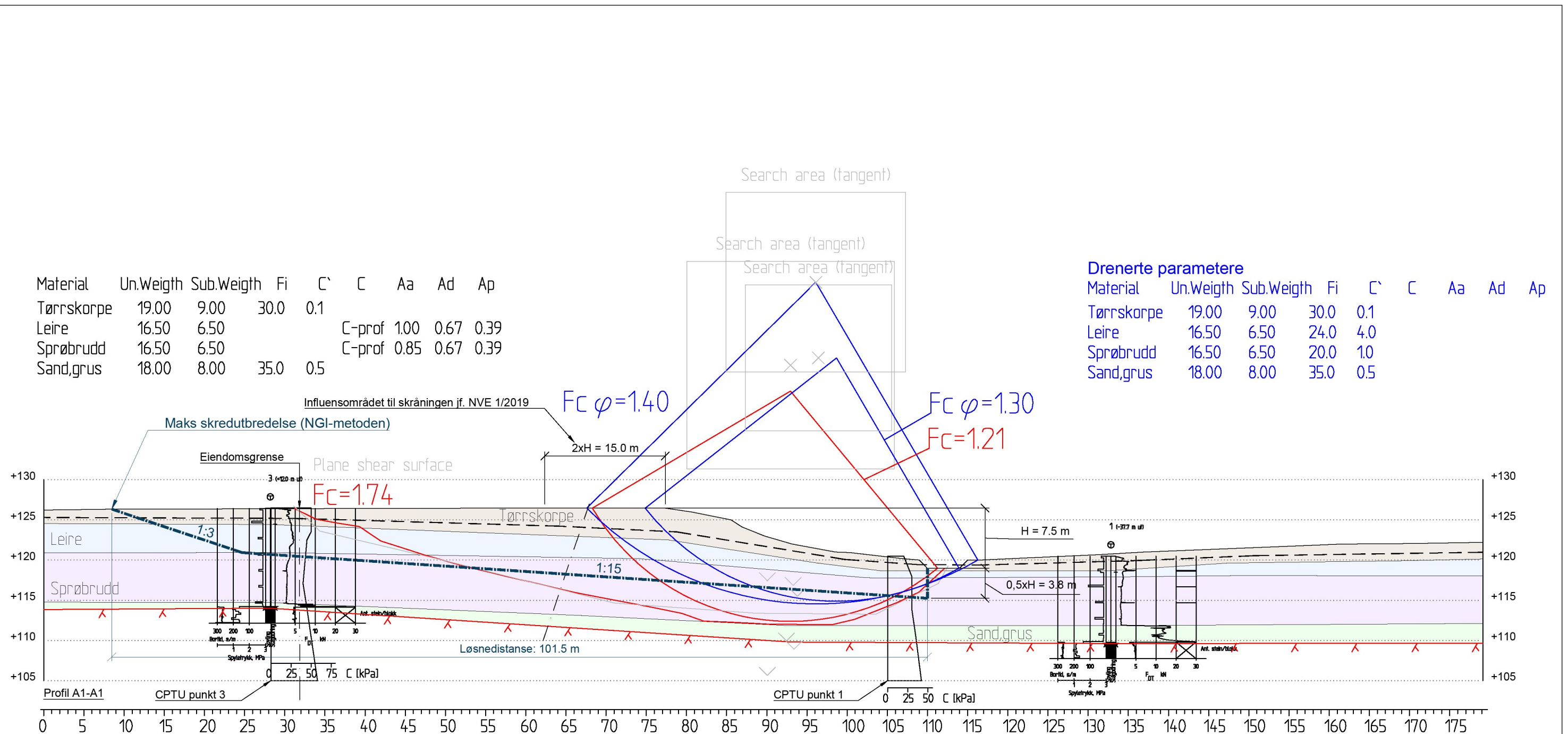
<b>MERKNADER:</b> Koordinatsystem: UTM 32V. Høydereferanse: NN2000				
<b>BESTEMMELSER:</b> -				
<b>FORKLARINGER:</b> Røde glideflater: Udrenert analyser Blå glideflater: Drenerte analyser				
<b>HENVISNINGER:</b> -				
 <b>LØVLIN GEORÅD</b> Geoteknikk – Geoteknisk laboratorium www.georaa.no	Tiltakshaver Norsk Bolig AS	Tegning nr. R02E01		
	Oppdragsgiver Norsk Bolig AS	Prosjekt nr. 19323		
	Prosjekt Reg.plan Ringnesbagan og Rådyrveien, Løken	Format / Målestokk A3 / 1:500		
	Tegningstittel Profil A-A. Dagens situasjon	Status Stabilitetsberegning		

Drenerte parametere	Material	Un.Weigth	Sub.Weigth	Fi	C'	C	Aa	Ad	Ap
	Steinfylling	18.50	8.50	42.0	2.0				
	Tørrskorpe	18.00	8.00	30.0	0.1				
	Leire	16.00	6.00		24.0	4.0			
	Sprøbrudd	16.00	6.00		20.0	1.0			
	Sand,grus	18.00	8.00		35.0	0.5			

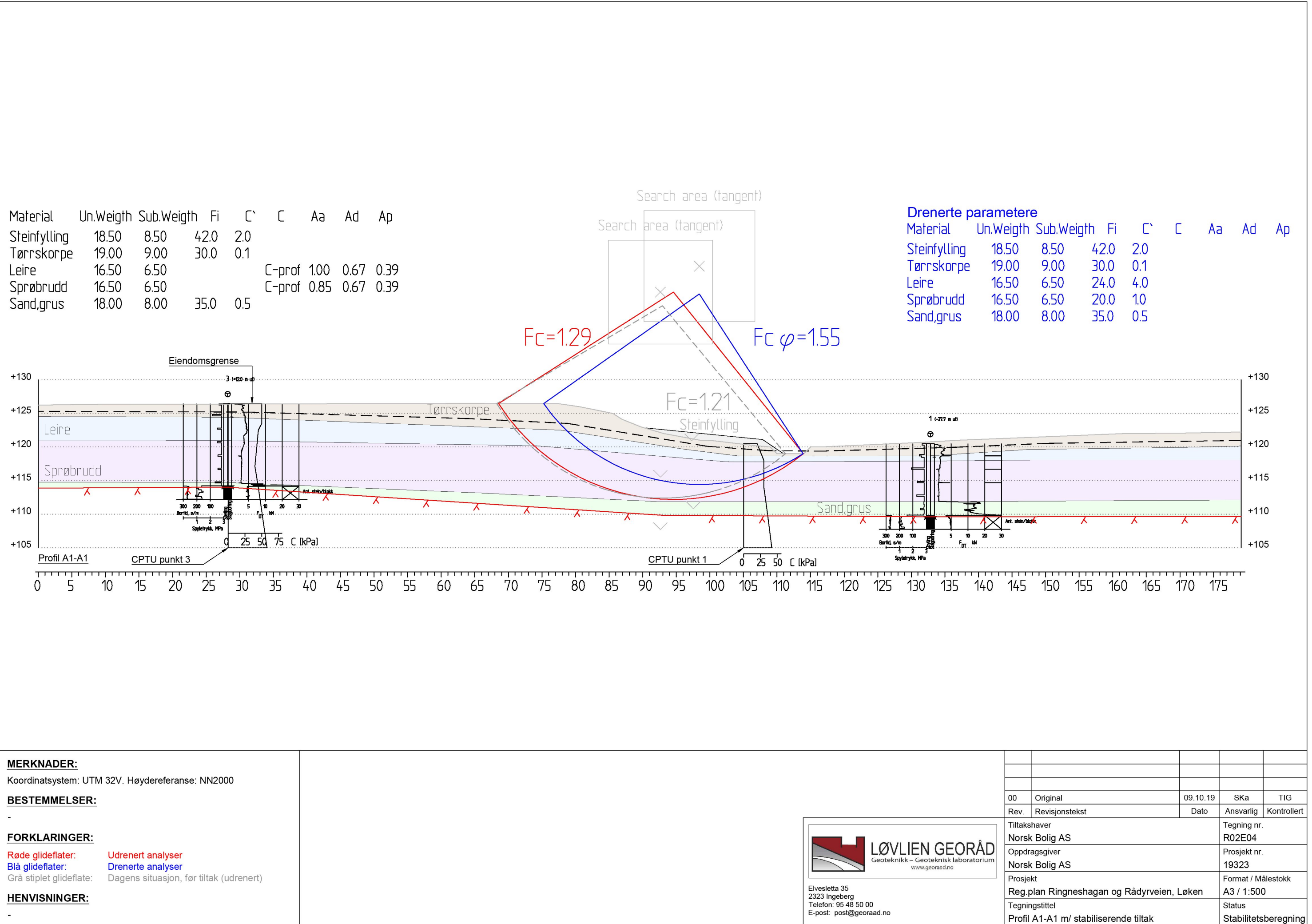
Material	Un.Weigth	Sub.Weigth	Fi	C'	C	Aa	Ad	Ap
Steinfylling	18.50	8.50	42.0	2.0				
Tørrskorpe	18.00	8.00	30.0	0.1				
Leire	16.00	6.00		C-prof	1.00	0.67	0.39	
Sprøbrudd	16.00	6.00		C-prof	0.85	0.67	0.39	
Sand,grus	18.00	8.00			35.0	0.5		

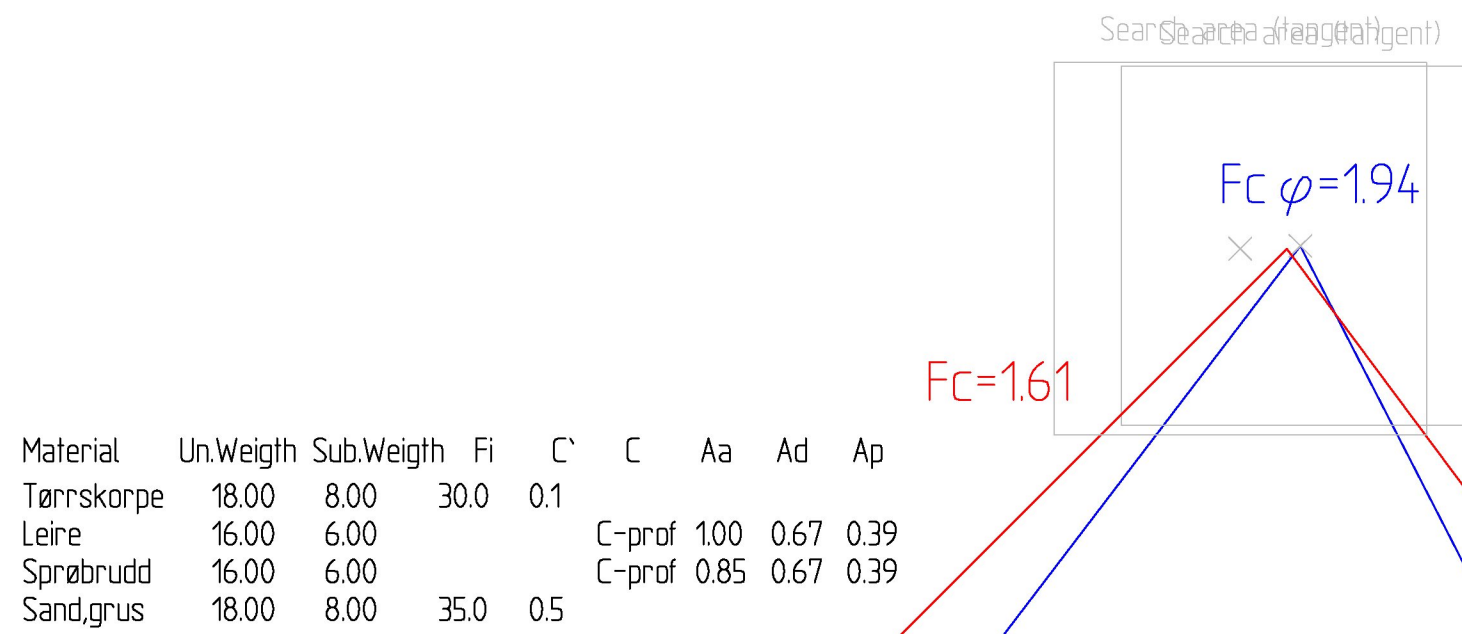


<b>MERKNADER:</b> Koordinatsystem: UTM 32V. Høydereferanse: NN2000				
<b>BESTEMMELSER:</b> -				
<b>FORKLARINGER:</b> Røde glideflater: Udrerert analyser Bla glideflater: Drenerte analyser Gra stiptet glideflate: Dagens situasjon, før tiltak (udrenert)				
<b>HENVISNINGER:</b> -				
 Elvesletta 35 2323 Ingeberg Telefon: 95 48 50 00 E-post: post@georad.no	00 Original Rev. Revisjonstekst	09.10.19 Dato	SKa Ansvarlig	TIG Kontrollert
	Tiltakshaver Norsk Bolig AS		Tegning nr. R02E02	
	Oppdragsgiver Norsk Bolig AS		Prosjekt nr. 19323	
	Prosjekt Reg.plan Ringnes hagan og Rådyrveien, Løken		Format / Målestokk A3 / 1:500	
	Tegningstittel Profil A-A m/ stabilisering		Status Stabilitetsberegning	



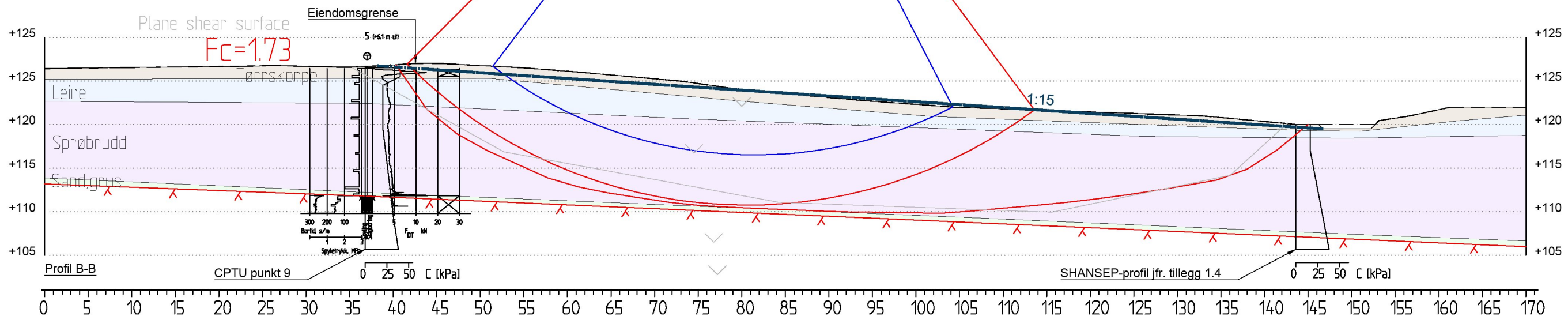
<b>MERKNADER:</b> Koordinatsystem: UTM 32V. Høydereferanse: NN2000				
<b>BESTEMMELSER:</b> -				
<b>FORKLARINGER:</b> Røde glideflater: Udrenert analyser Bla glideflater: Drenerte analyser				
<b>HENVISNINGER:</b> -				
<b>LØVLIEN GEORÅD</b> Geoteknikk - Geoteknisk laboratorium <a href="http://www.georaa.no">www.georaa.no</a>		Tiltakshaver Norsk Bolig AS	Tegning nr. R02E03	
Oppdragsgiver Norsk Bolig AS		Prosjekt nr. 19323		
Prosjekt Reg.plan Ringnesagan og Rådyrveien, Løken		Format / Målestokk A3 / 1:500		
Tegningstittel Profil A1-A1. Dagens situasjon		Status Stabilitetsberegning		
Elvesletta 35 2323 Ingeberg Telefon: 95 48 50 00 E-post: post@georaa.no				





Drenerte parametere

Material	Un.Weigth	Sub.Weigth	Fi	C'	C	Aa	Ad	Ap
Tørrskorpe	18.00	8.00	30.0	0.1				
Leire	16.00	6.00			24.0	4.0		
Sprøbrudd	16.00	6.00			20.0	1.0		
Sand,grus	18.00	8.00	35.0	0.5				



**MERKNADER:**

Koordinatsystem: UTM 32V. Høydereféranser: NN2000

**BESTEMMELSER:**

**FORKLARINGER:**

Røde glideflater: Udrenert analyser  
Blå glideflater: Drenerte analyser

**HENVISNINGER:**

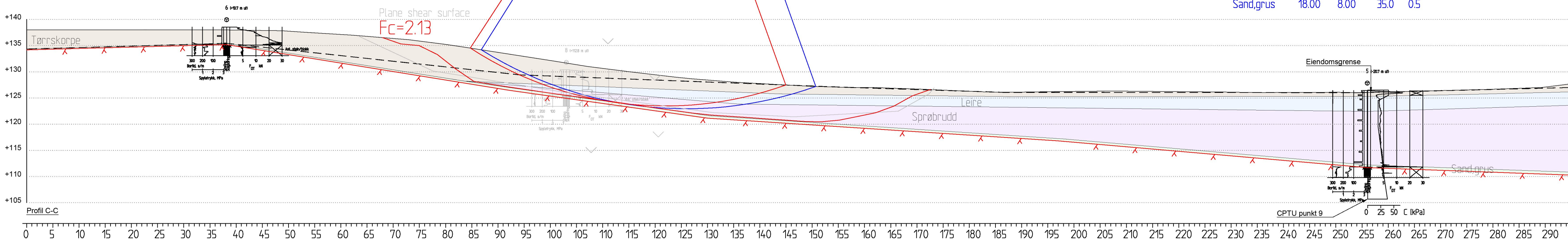
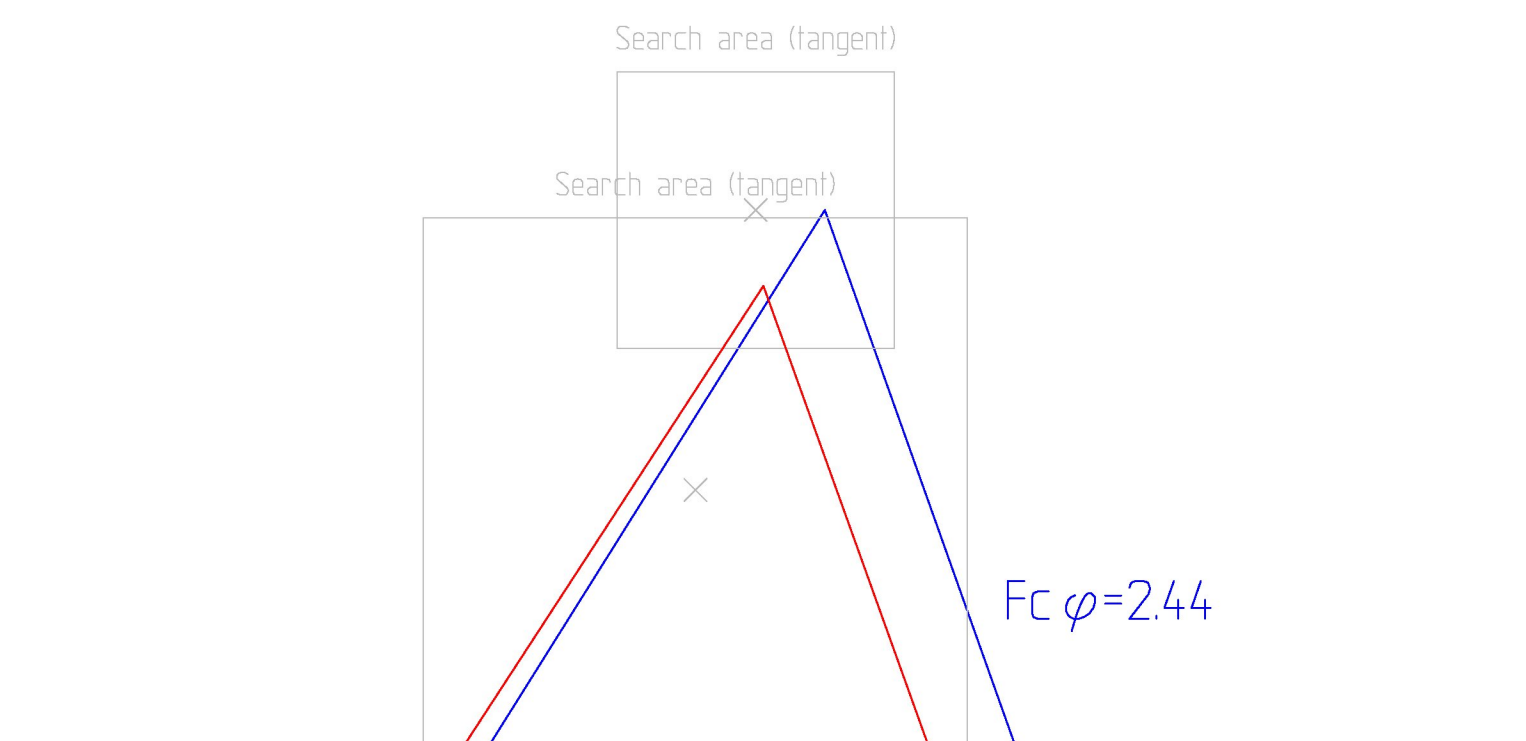
-

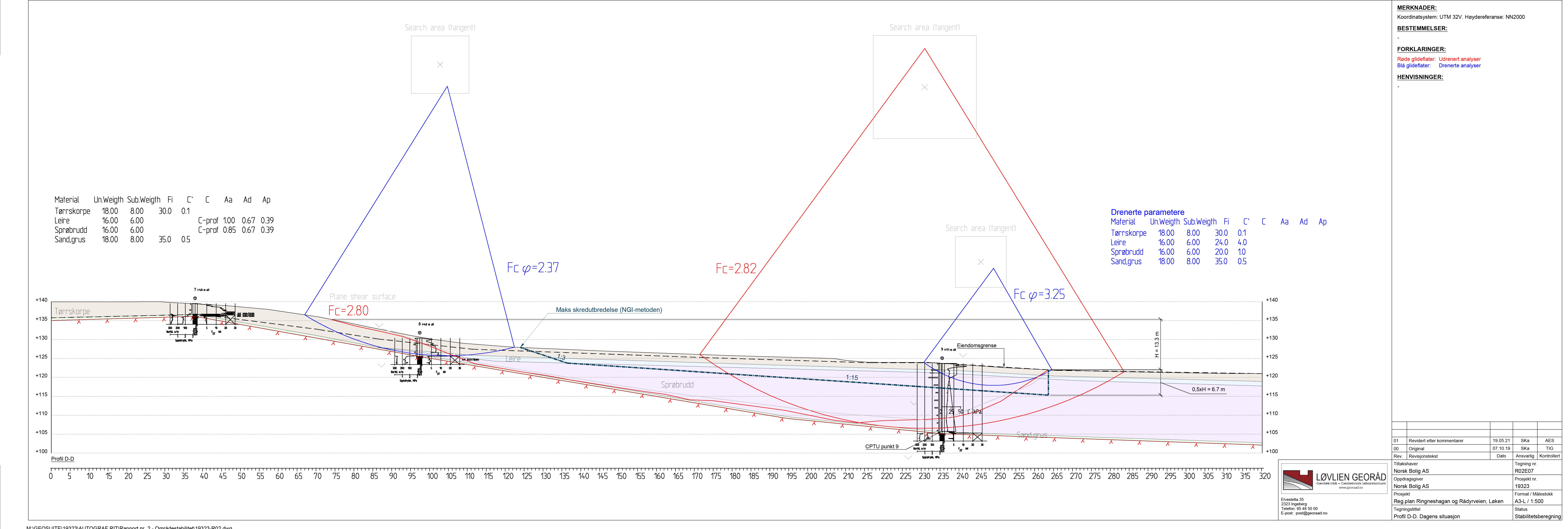


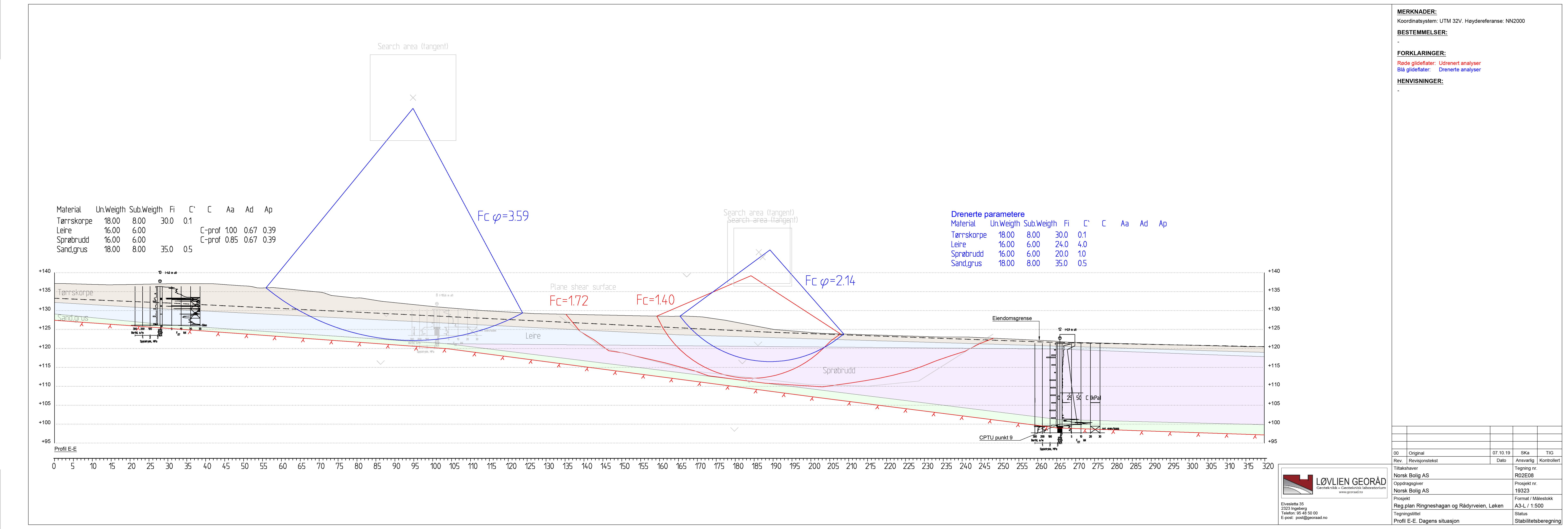
Elvesletta 35  
2323 Ingeberg  
Telefon: 95 48 50 00  
E-post: post@georaa.no

00	Original	07.10.19	SKa	TIG
Rev.	Revisjonstekst	Dato	Ansvarlig	Kontrollert
Tiltakshaver				Tegning nr.
Norsk Bolig AS				R02E05
Oppdragsgiver				Prosjekt nr.
Norsk Bolig AS				19323
Prosjekt				Format / Målestokk
Reg.plan Ringnesagan og Rådyrveien, Løken				A3 / 1:500
Tegningstittel				Status
Profil B-B. Dagens situasjon				Stabilitetsberegning

Material	Un.Weight	Sub.Weight	Fi	C'	C	Aa	Ad	Ap
Tørrskorpe	18.00	8.00	30.0	0.1				
Leire	16.00	6.00			C-prof 1.00	0.67	0.39	
Sprøbrudd	16.00	6.00			C-prof 0.85	0.67	0.39	
Sand,grus	18.00	8.00	35.0	0.5				

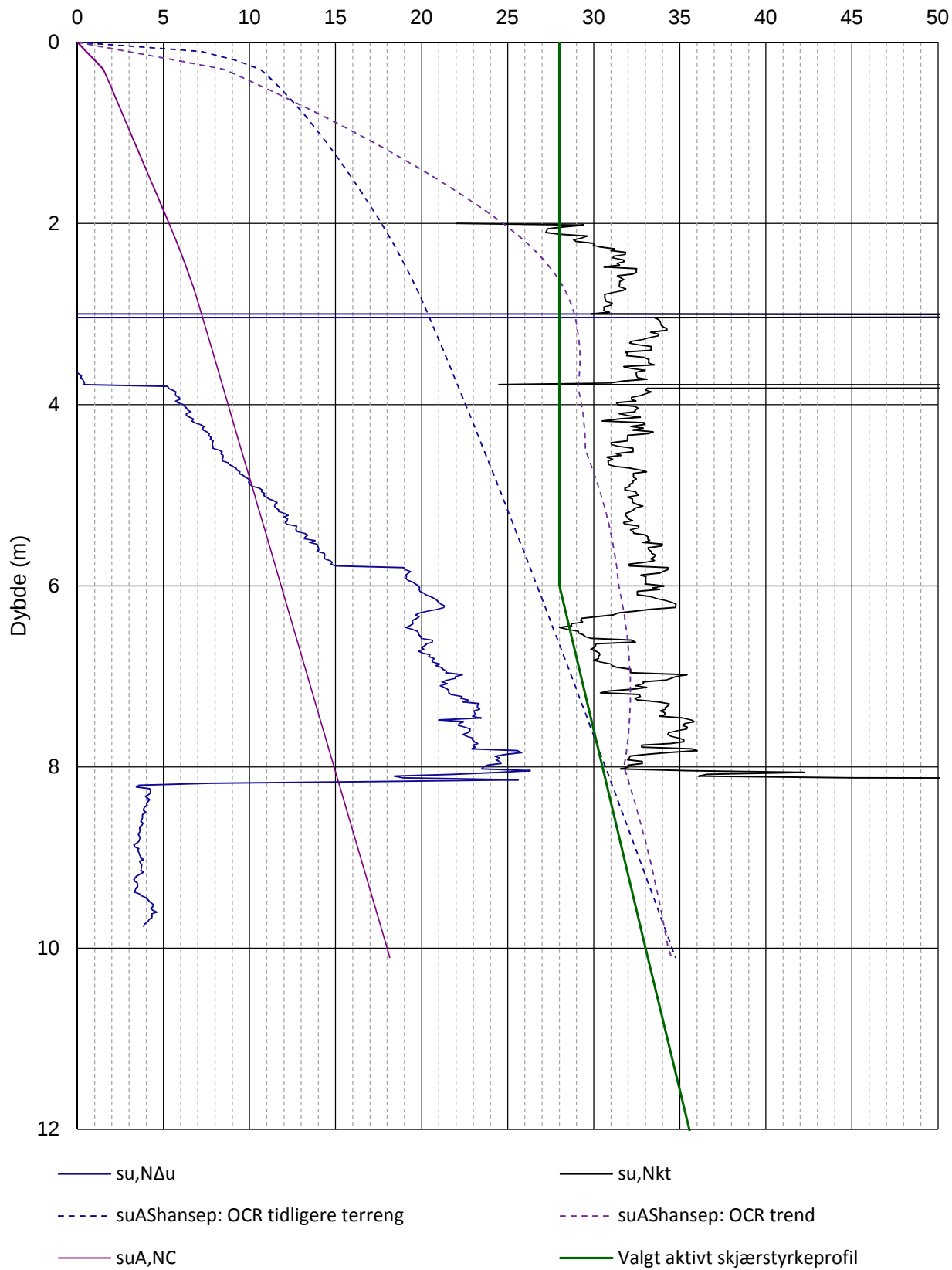






## Udrenert skjærstyrke

$s_u$  (kPa)

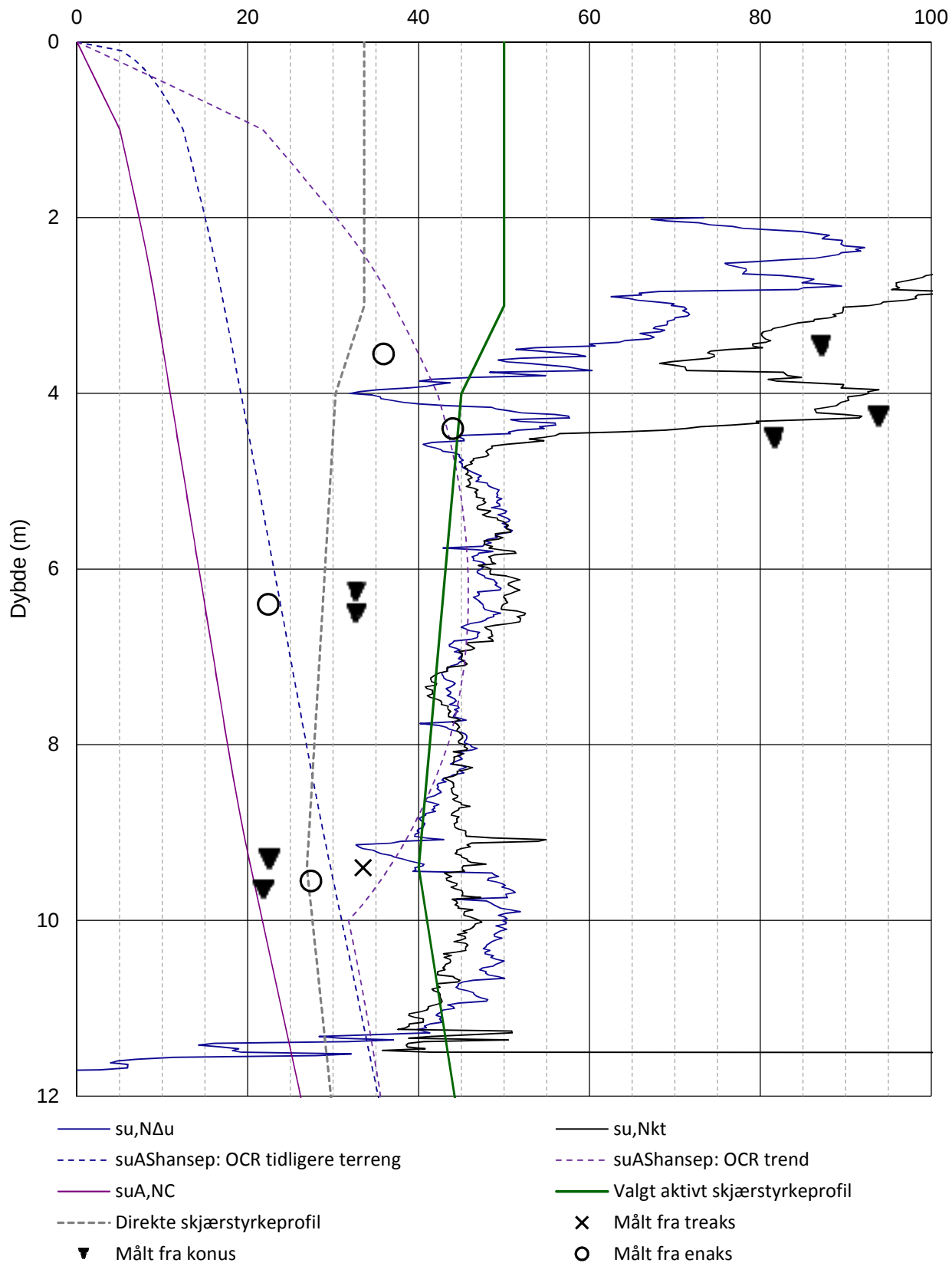


**LØVLIEN GEORÅD**  
Geoteknikk – Geoteknisk laboratorium  
[www.georad.no](http://www.georad.no)

Oppdragsgiver Norsk Bolig AS	Prosjekt nr. 19323	Tillegg nr. 1.1
Prosjekt Reg.plan Ringneshagan og Rådyrveien	Dato 12.09.19	Borpunkt 1
Forklaring Tolkning udrenert skjærstyrke, $s_u$	Ansvarlig SKa	Kontrollert TIG

## Udrenert skjærstyrke

$s_u$  (kPa)

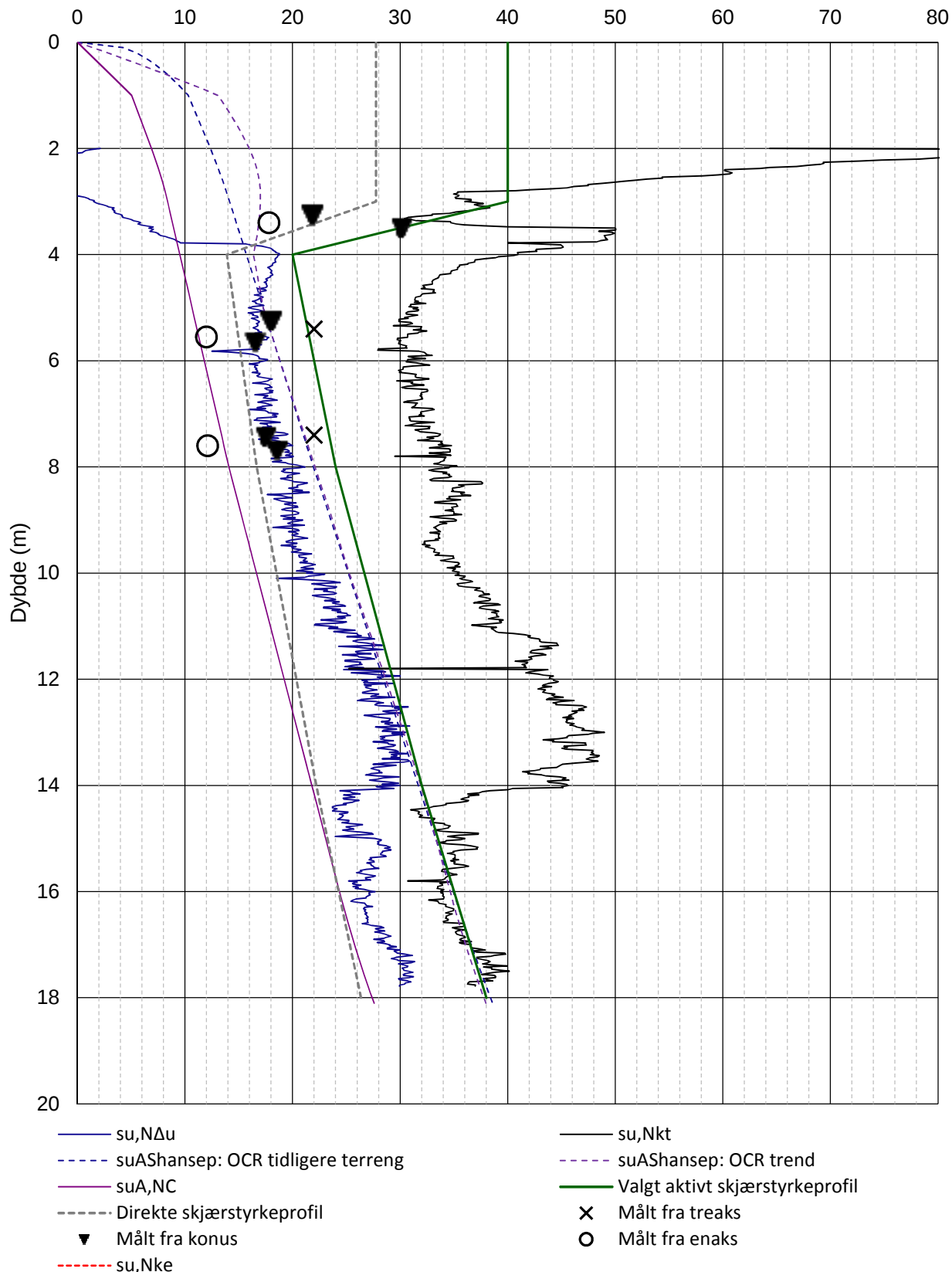


**LØVLIN GEORÅD**  
Geoteknikk – Geoteknisk laboratorium  
[www.georad.no](http://www.georad.no)

Oppdragsgiver Norsk Bolig AS	Prosjekt nr. 19323	Tillegg nr. 1.2
Prosjekt Reg.plan Ringneshagan og Rådyrveien	Dato 12.09.19	Borpunkt 3
Forklaring Tolkning udrenert skjærstyrke, $s_u$	Ansvarlig SKa	Kontrollert TIG

## Udrenert skjærstyrke

$s_u$  (kPa)



**LØVLIN GEORÅD**  
Geoteknikk – Geoteknisk laboratorium  
[www.georad.no](http://www.georad.no)

Oppdragsgiver Norsk Bolig AS	Prosjekt nr. 19323	Tillegg nr. 1.3
Prosjekt Reg.plan Ringneshagan og Rådyrveien	Dato 12.09.19	Borpunkt 9
Forklaring Tolkning udrenert skjærstyrke, $s_u$	Ansvarlig SKa	Kontrollert TIG

### Tyngdetetthet og poretrykk

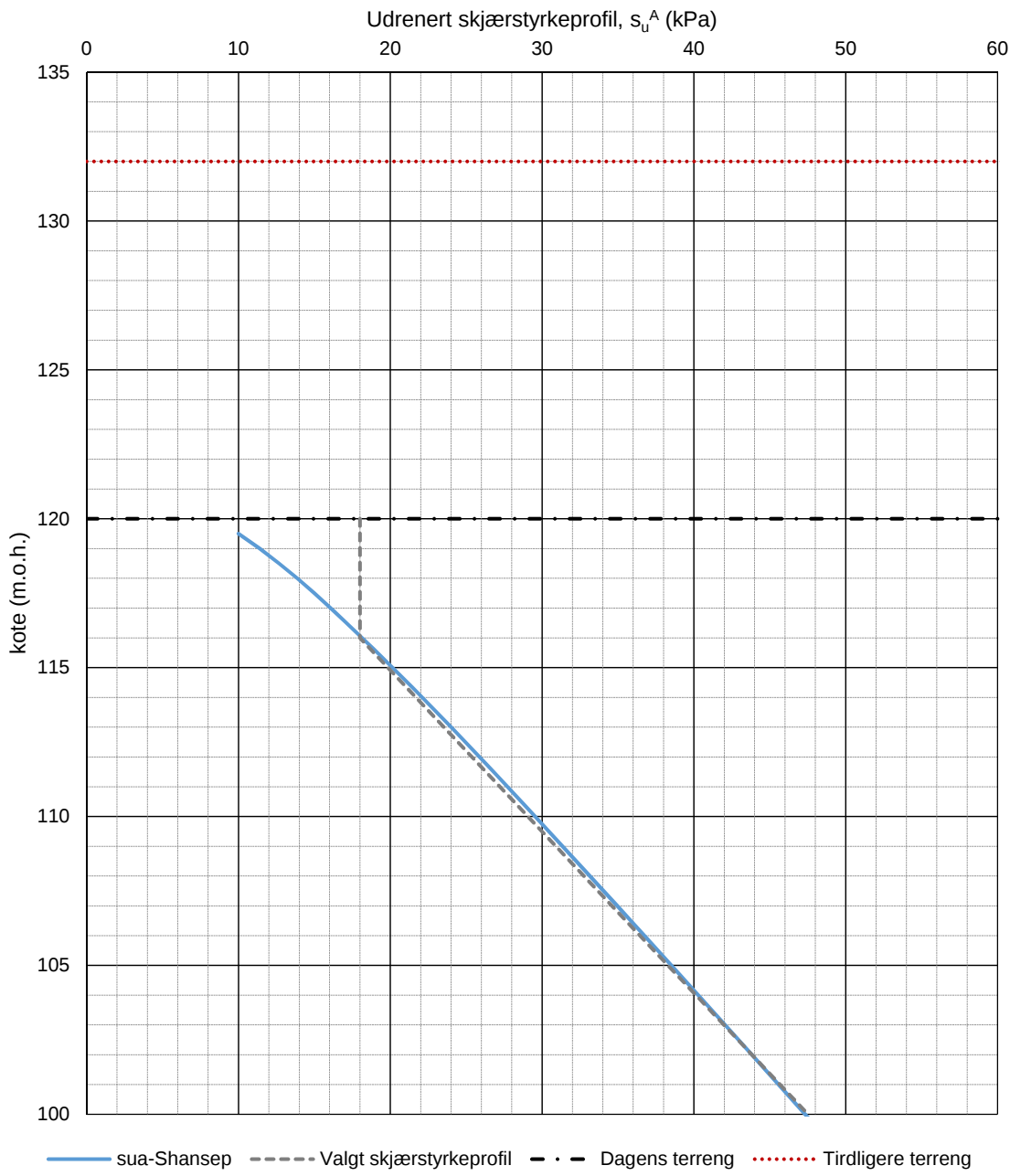
$\gamma$	15,5	(kN/m <sup>3</sup> )
$z_{w,1}$	0,5	(m)
$\gamma_{w,1}$	10	(kPa/m)
$z_{w,2}$	30	(m)
$\gamma_{w,2}$	10	(kPa/m)

(grunnvannstand)  
 (poretrykksutvikling under  $z_{w,1}$ )  
 (knekkpunkt for poretrykksutvikling)  
 (poretrykksutvikling under  $z_{w,2}$ )

### Shansep-parametere

Dagens terr.	120	(m.o.h.)
Tidligere terr.	132	(m.o.h.)
$\gamma_{tot,tidligere}$	15	(kN/m <sup>3</sup> )
$\alpha$	0,28	(-)
m	0,65	(-)
aeing	1,3	(-)
Avlastning	0	(m)

### Beregning av styrkeprofil etter SHANSEP-prinsippet



Oppdragsgiver Norsk Bolig AS	Prosjekt nr. 19323	Tillegg nr. 1.4
Prosjekt Reg.plan Ringneshagan og Rådyrveien	Dato 08.10.19	Profil B-B
Forklaring Beregning av styrkeprofil etter Shansep	Ansvarlig SKa	Kontrollert TIG

# Tillegg 1.5

## Tolkning av treaksialforsøk



**LØVLIEN GEORÅD**  
Geoteknikk – Geoteknisk laboratorium  
[www.georaad.no](http://www.georaad.no)

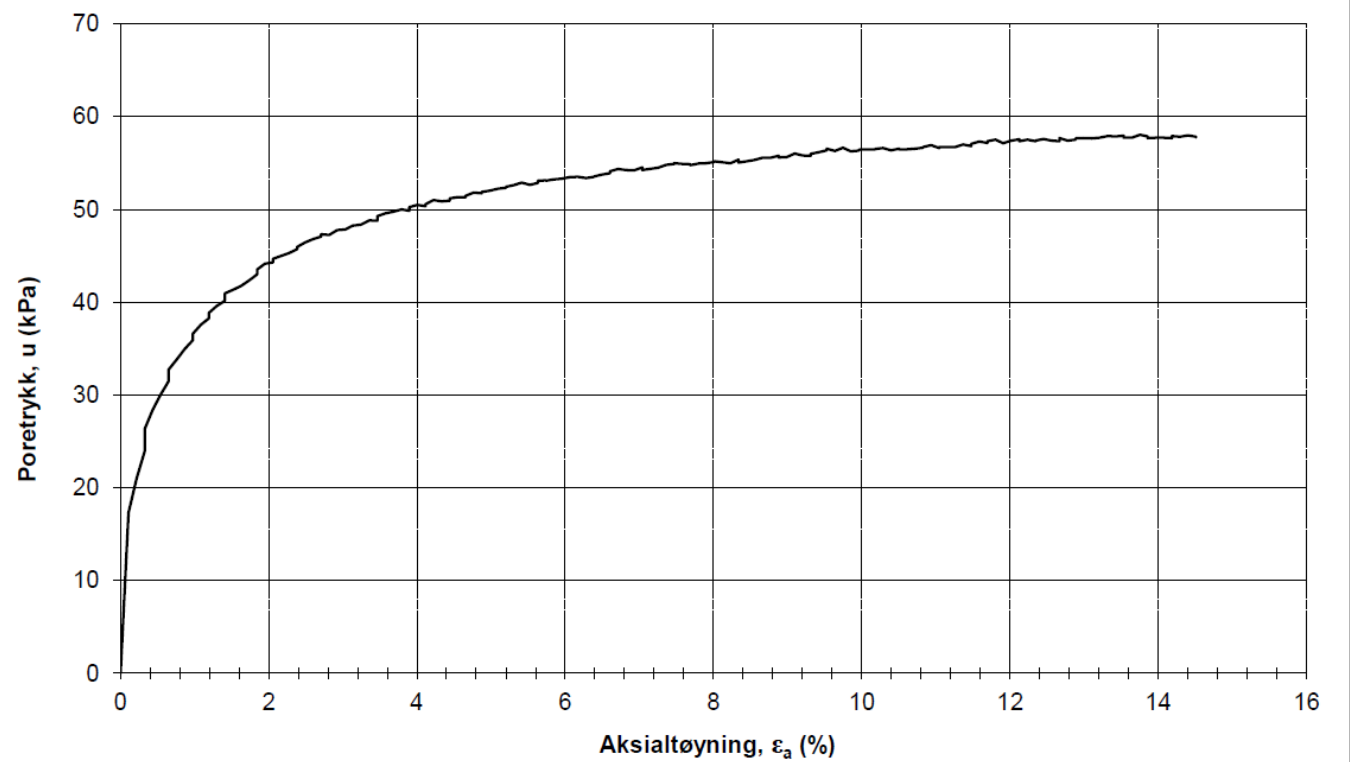
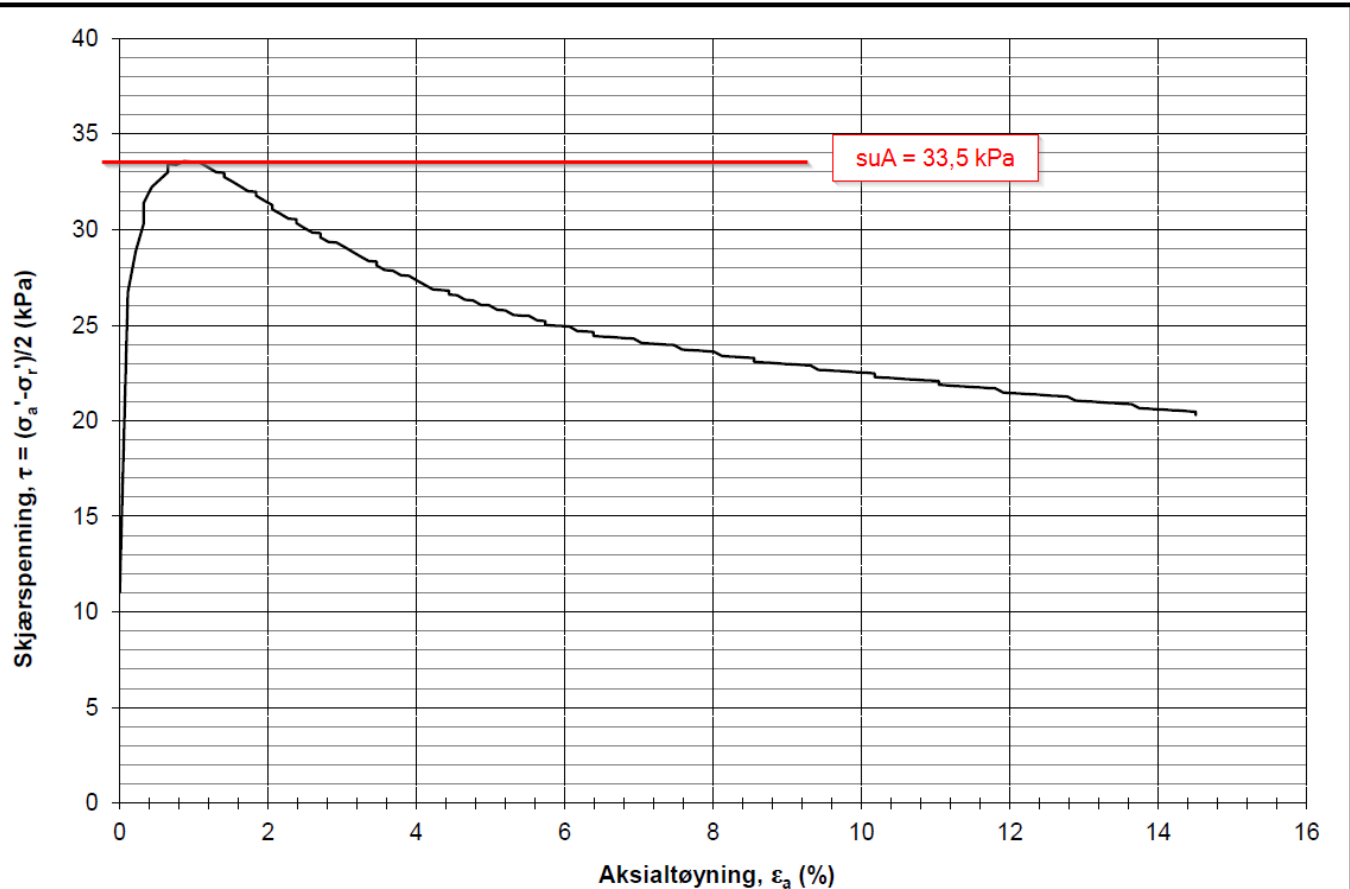
Oppdragsgiver Norsk Bolig AS	Prosjekt nr. 19323	Tillegg nr. 1.5
Prosjekt Reg.plan Ringneshagan og Rådyrveien	Dato 08.10.2019	Revisjon 00
Tittel Tolkning av treaksialforsøk	Ansvarlig SKa	Kontrollert TIG

### *Sammenstilling treaksialforsøk*

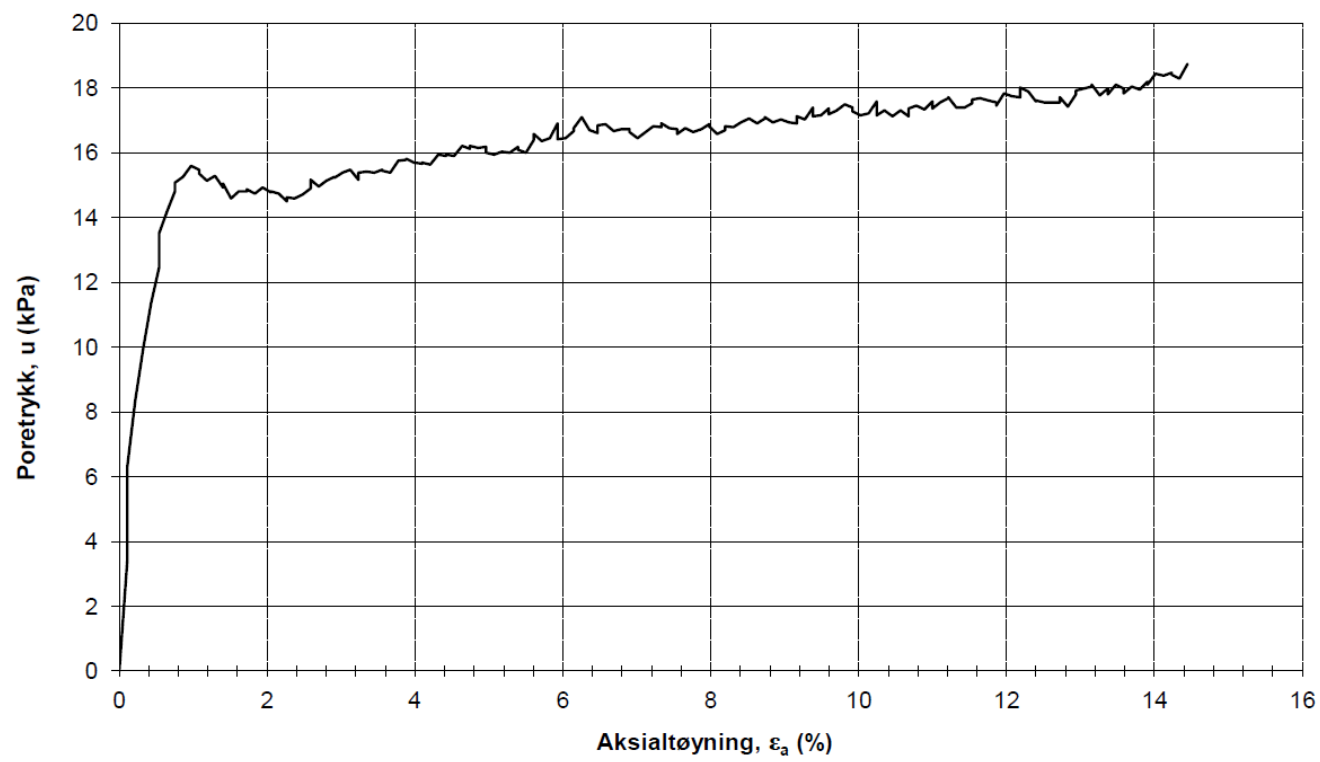
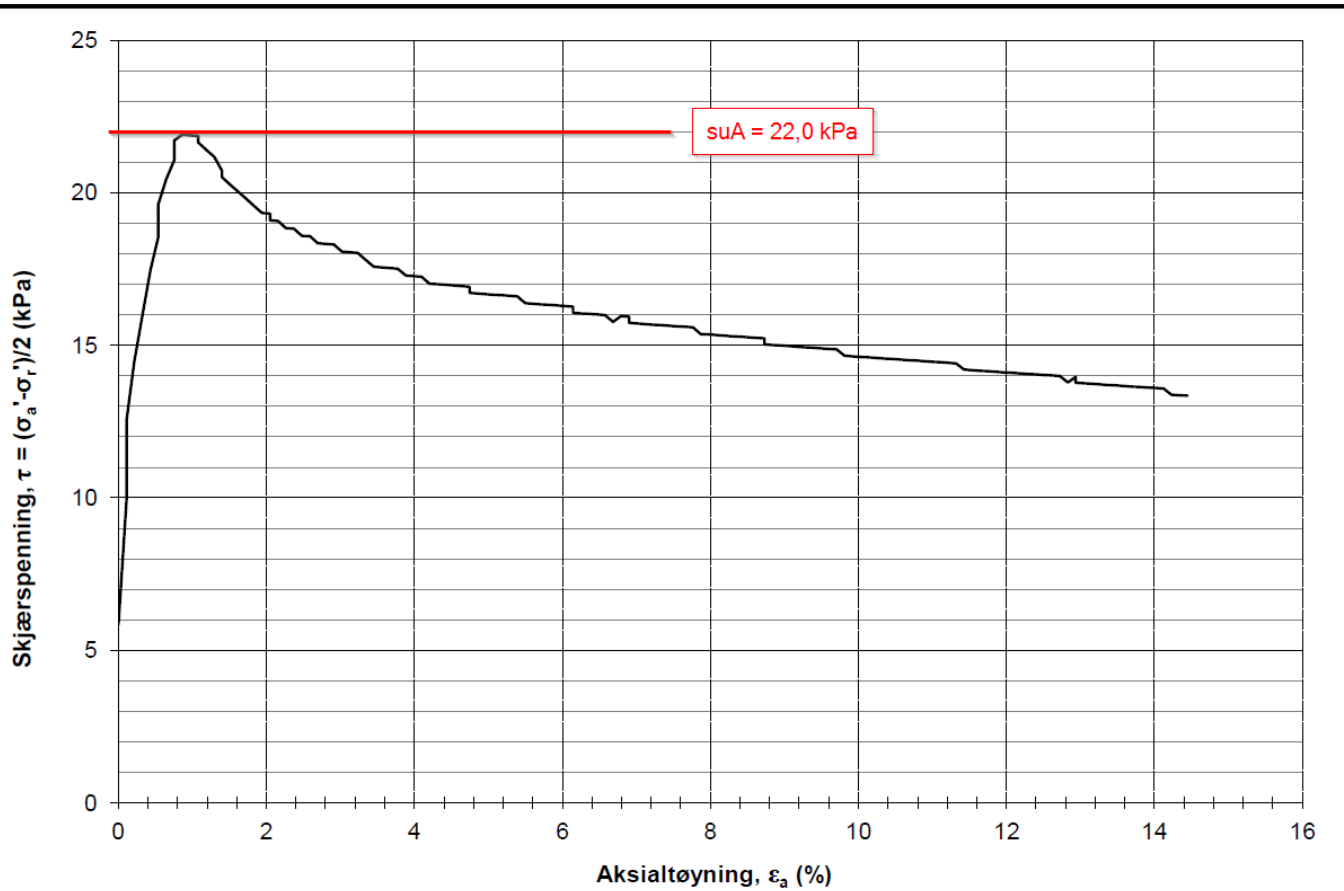
Punkt	Dybde (m)	Kote (m.o.h)	$\Delta V/V_0$ (%)	$\sigma_a$ (kPa)	$\sigma_r$ (kPa)	$K_0$ (-)	Målt $s_u^A$ (kPa)	Brudd.tøyn. $\epsilon_f$ (%)
3	9,4	117,1	7,6	79,3	57,3	0,72	33,5	1,0
9	5,4	118,3	4,4	29,7	18,0	0,61	22,0	1,0
9	7,4	116,3	3,5	48,5	33,4	0,69	22,0	2,0

### *Kommentarer til treaksialforsøkene*

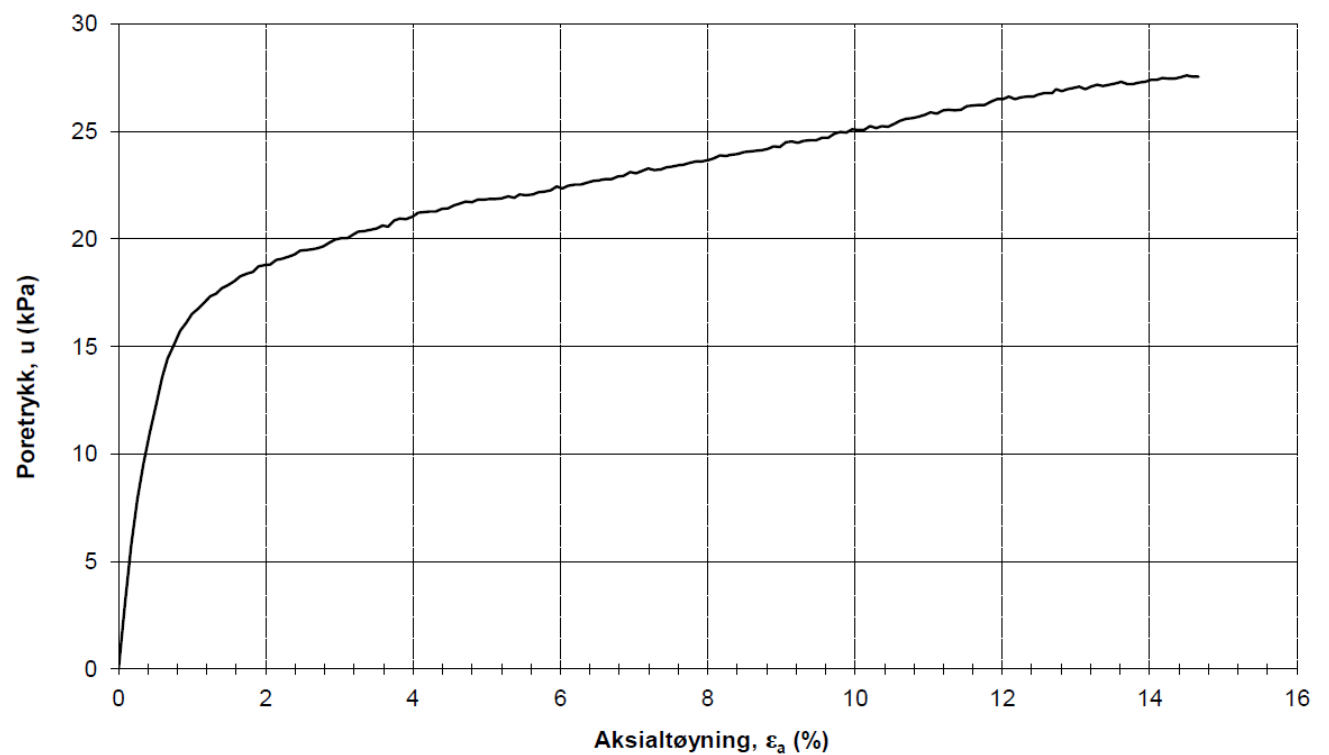
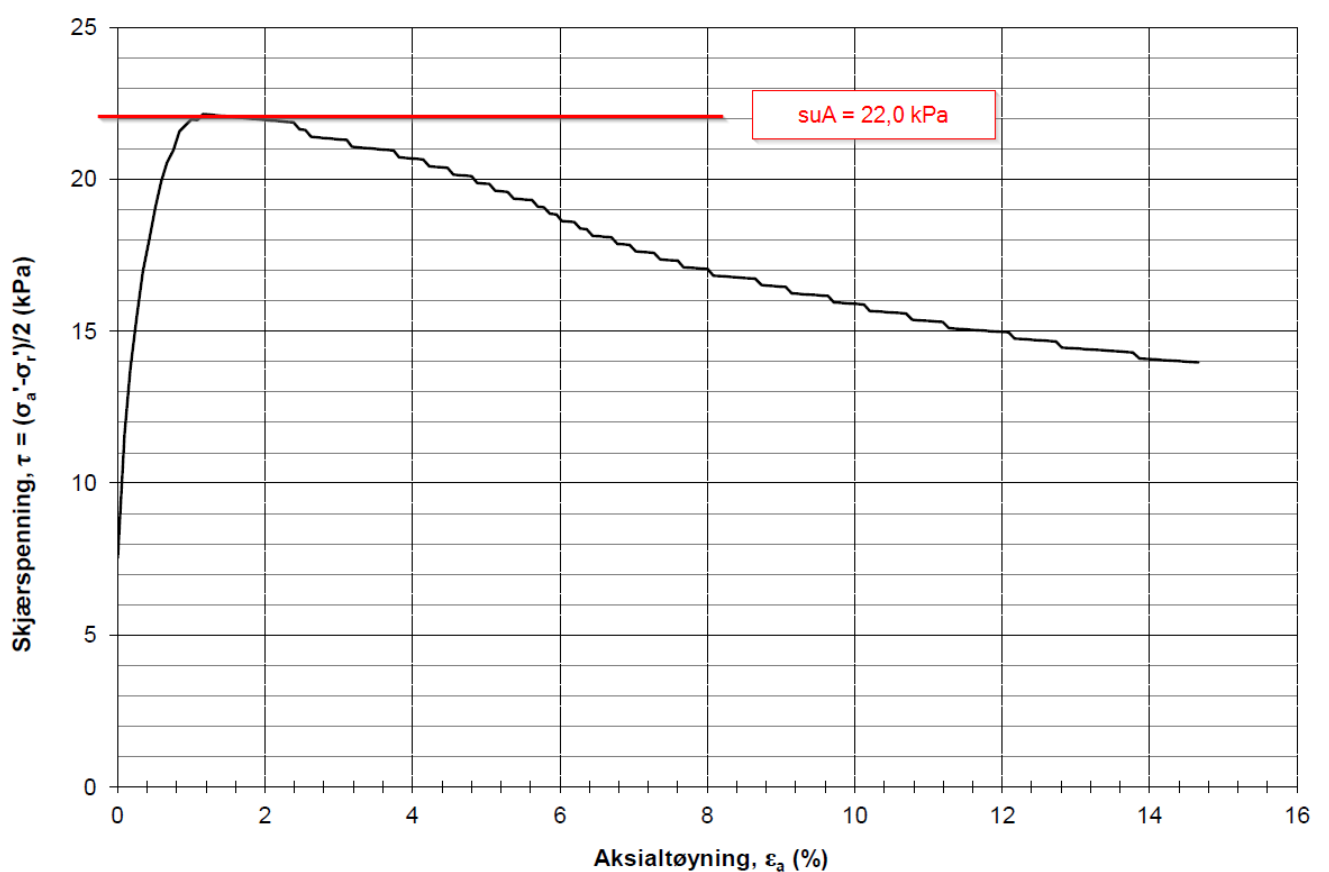
Punkt	Kommentar
3	Dårlig forsøk, utpresset porevann i konsolideringsfasen indikerer prøveforstyrrelse
9	Dårlig forsøk, utpresset porevann i konsolideringsfasen indikerer prøveforstyrrelse
9	Akseptabelt forsøk, høy bruddtøyning



Dybde (m)	9,4	Kommentar	LEIRE
Maks skjærspenning (kPa)	33,6		
Ved $\varepsilon_a$ (%)	0,9		
LØVLIEN GEORÅD Geoteknikk – Geoteknisk laboratorium www.georaa.no	Oppdragsgiver Norsk Bolig AS	Prosjekt nr. 19323	Tegning nr. R01C08
	Prosjekt Reg.plan Ringneshagan og Rådyrveien, Løken	Side 2 av 4	Borpunkt 3
	Tittel Treaksialforsøk, $\tau$ og $u$ mot $\varepsilon_a$	Ansvarlig MS	Kontrollert SKa



Dybde (m)	5,4	Kommentar	KVIKKLEIRE
Maks skjærspenning (kPa)	21,9		
Ved $\epsilon_a$ (%)	0,9		
LØVLIEN GEORÅD Geoteknikk – Geoteknisk laboratorium www.georaa.no	Oppdragsgiver Norsk Bolig AS	Prosjekt nr. 19323	Tegning nr. R01C09
	Prosjekt Reg.plan Ringneshagan og Rådyrvælen, Løken	Side 2 av 4	Borpunkt 9
	Tittel Treaksialforsøk, $\tau$ og $u$ mot $\epsilon_a$	Ansvarlig MS	Kontrollert SKa



Dybde (m)	7,4	Kommentar	KVIKKLEIRE
Maks skjærspenning (kPa)	22,1		
Ved $\varepsilon_a$ (%)	1,2		
LØVLIEN GEORÅD Geoteknikk – Geoteknisk laboratorium www.georaa.no	Oppdragsgiver Norsk Bolig AS	Prosjekt nr. 19323	Tegning nr. R01C10
	Prosjekt Reg.plan Ringneshagan og Rådyrveien, Løken	Side 2 av 4	Borpunkt 9
	Tittel Treaksialforsøk, $\tau$ og $u$ mot $\varepsilon_a$	Ansvarlig MS	Kontrollert SKa

# Tillegg 1.6

## Tolkning av ødometerforsøk



**LØVLIEN GEORÅD**  
Geoteknikk – Geoteknisk laboratorium  
[www.georaad.no](http://www.georaad.no)

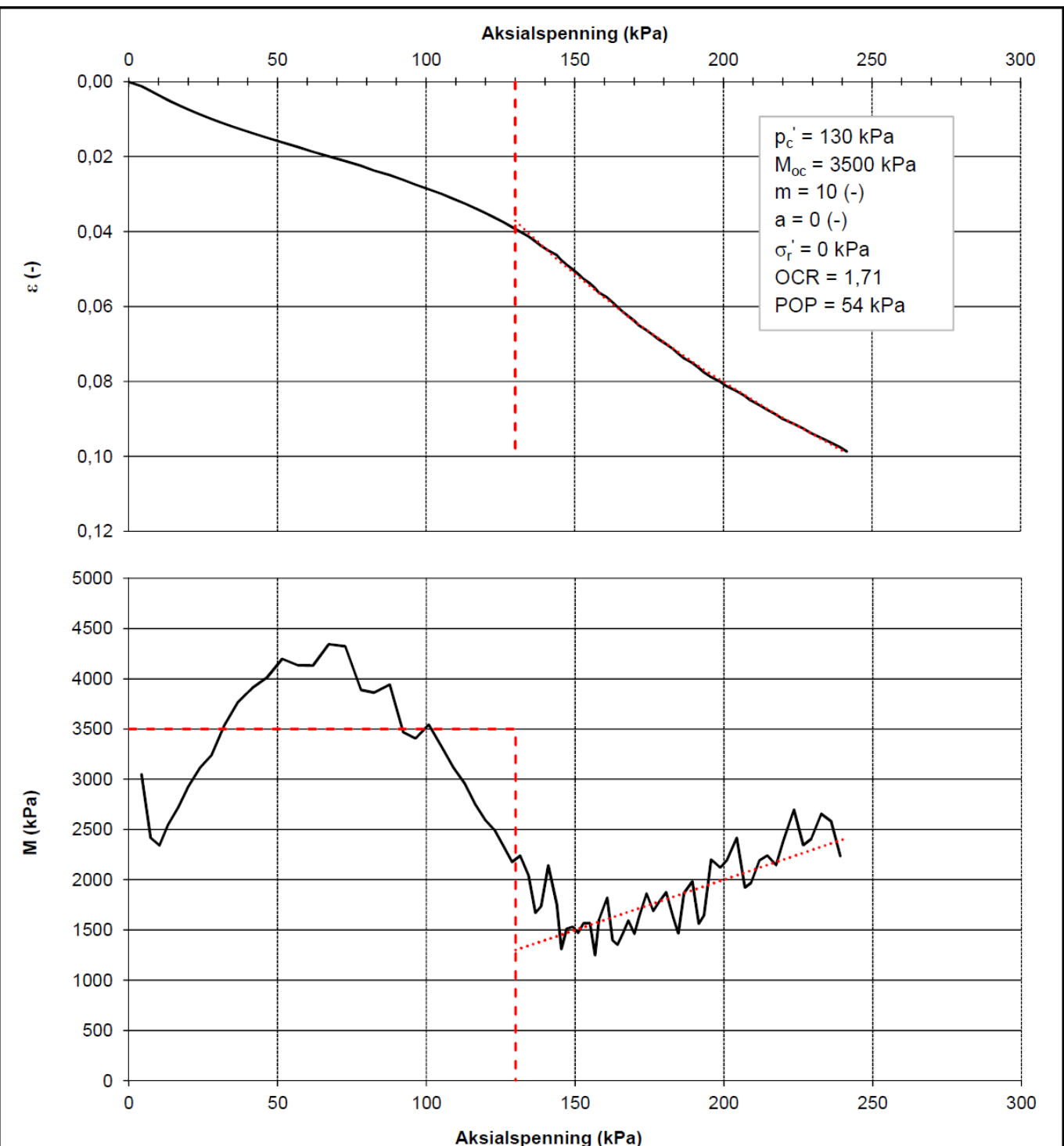
Oppdragsgiver Norsk Bolig AS	Prosjekt nr. 19323	Tillegg nr. 1.6
Prosjekt Reg.plan Ringneshagan og Rådyrveien	Dato 08.10.2019	Revisjon 00
Tittel Tolkning av ødometerforsøk	Ansvarlig SKa	Kontrollert TIG

*Sammenstilling ødometerforsøk*

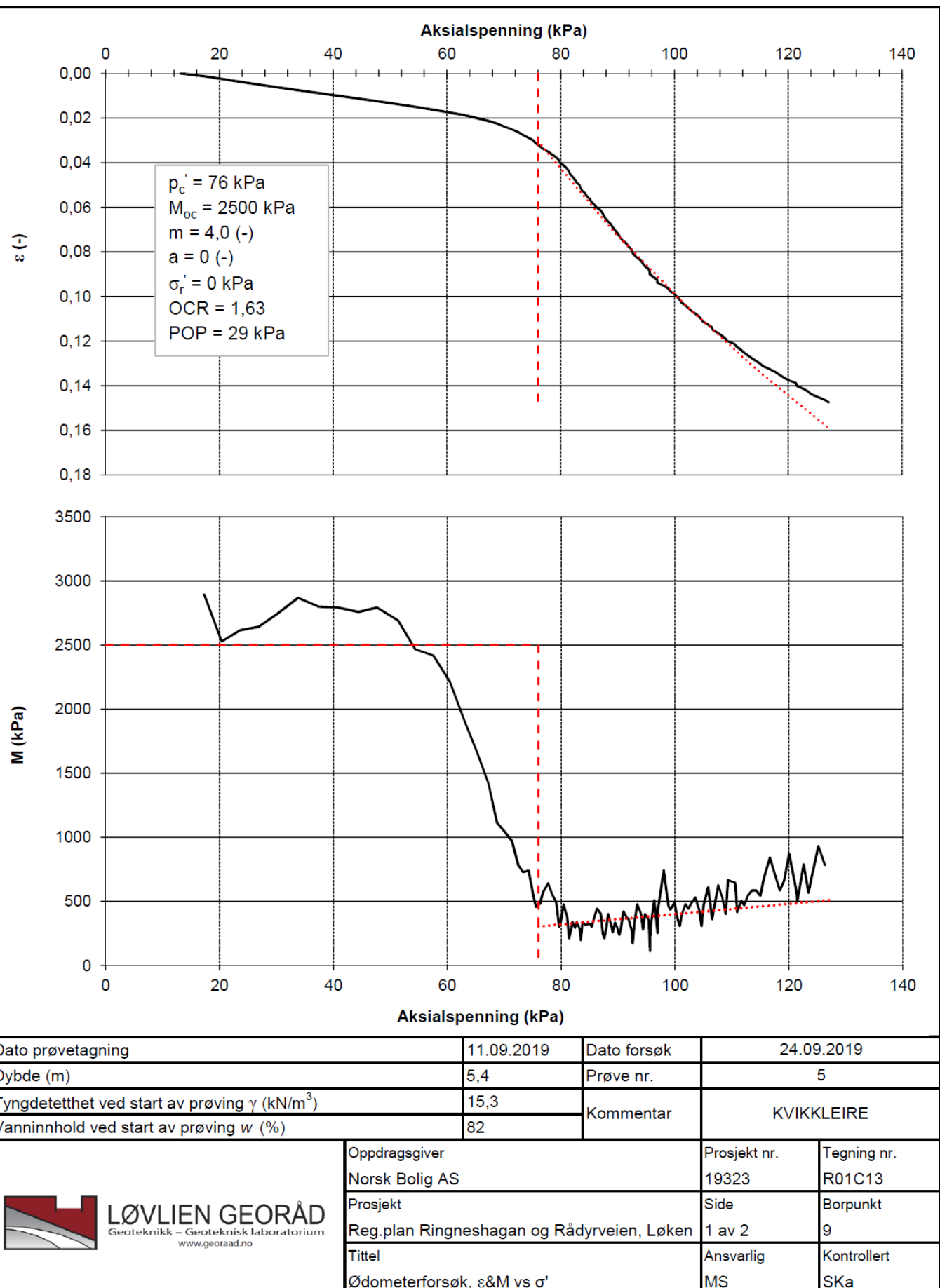
Punkt	Dybde (m)	Kote (m.o.h)	$p_0'$ (kPa)	$p_c'$ (kPa)	$M_{oc}$ (kPa)	m (-)	OCR (-)	POP (kPa)
3	9,3	117,2	76,0	130,0	3500	10,0	1,71	54
9	5,4	118,3	46,7	76,0	2500	4,0	1,63	29
9	7,3	116,4	57,2	92,0	2500	3,5	1,61	35

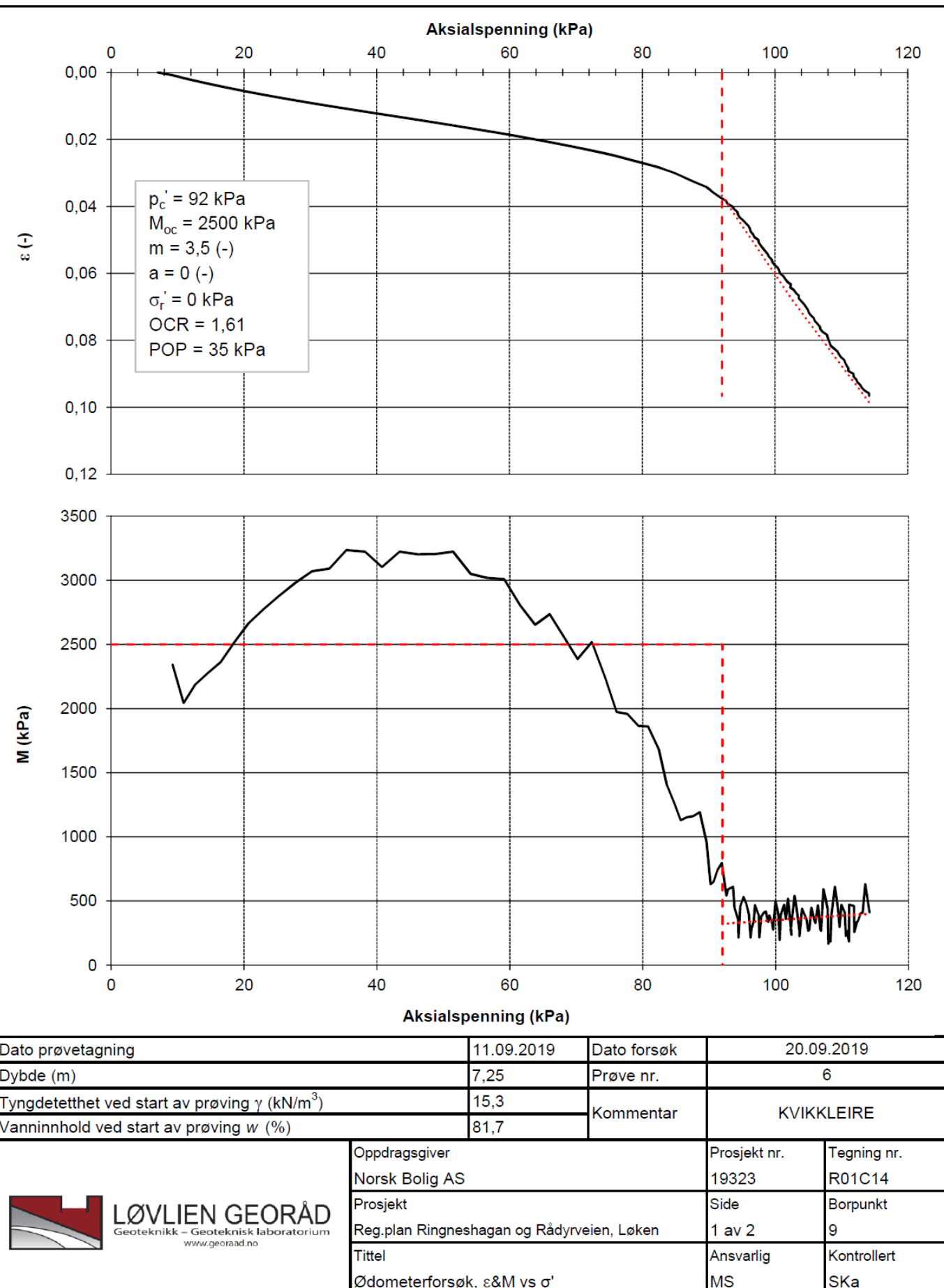
*Kommentarer til ødometerforsøkene*

Punkt	Kommentar
3	Markert $p_c'$ fra spenning-tøyningskurve
9	Markert $p_c'$ fra spenning-tøyningskurve, meget lav stivhet etter $p_c'$ , nærmest kollaps
9	Markert $p_c'$ fra spenning-tøyningskurve, meget lav stivhet etter $p_c'$ , nærmest kollaps



Dato prøvetagning	16.09.2019	Dato forsøk	20.09.2019
Dybde (m)	9,25	Prøve nr.	6
Tyngdetetthet ved start av prøving $\gamma$ (kN/m <sup>3</sup> )	17,9	Kommentar	LEIRE
Vanninnhold ved start av prøving $w$ (%)	42		
<b>LØVLIEN GEORÅD</b> Geoteknikk – Geoteknisk laboratorium www.georaa.no	Oppdragsgiver Norsk Bolig AS  Prosjekt Reg.plan Ringneshagan og Rådyrveien, Løken  Tittel Ødometerforsøk, $\epsilon$ &M vs $\sigma'$	Prosjekt nr. 19323  Side 1 av 2  Ansvarlig MS	Tegning nr. R01C12  Borpunkt 3  Kontrollert SKa





## Klassifisering av anvendelseskasse iht. NGF melding 5

Tabell 5.2. Anvendelseskasser for CPT og CPTU.

Anvendelseskasse	Forsøks-type	Målestørrelse	Tillatt minimums-nøyaktighet <sup>a</sup>	Maksimum avstand mellom målinger	Bruk	
					Profil <sup>b</sup>	Tolkning <sup>c</sup>
1	TE2	Spissmotstand Sidefriksjon Poretrykk Helning Nedtrengingslengde <sup>d</sup>	35 kPa eller 5% 5 kPa eller 10% 10 kPa eller 2% 2° 0.1 m eller 1%	20 mm	A	GH
2	TE1 TE2	Spissmotstand Sidefriksjon Poretrykk <sup>d</sup> Helning Nedtrengingslengde	100 kPa eller 5% 15 kPa eller 15% 25 kPa eller 3% 2° 0.1 m eller 1%	20 mm	A B C D	GH* GH GH GH
3	TE1 TE2	Spissmotstand Sidefriksjon Poretrykk <sup>d</sup> Helning Nedtrengingslengde	200 kPa eller 5% 25 kPa eller 15% 50 kPa eller 5% 5° 0.2 m eller 2%	50 mm	A B C D	G GH* GH GH
4	TE1	Spissmotstand Sidefriksjon Nedtrengingslengde	500 kPa eller 5% 50 kPa eller 20% 0.2 m eller 2%	50 mm	A B C D	G* G* G* G*

Tillatt nullpunktfsforskyvning for spissmotstand, sidefriksjon og poretrykk innenfor de ulike anvendelseskassene bestemmes som største verdi av tillatt absoluttverdi og tillatt prosent av gjennomsnittlig måleverdi.

Anvendelseskasse	Tillatt nullpunktfsforskyvning		
	Spissmotstand (kPa)	Sidefriksjon (kPa)	Poretrykk (kPa)
1	106,99	5,00	10,00
2	106,99	15,00	25,00
3	200,00	25,00	50,00
4	500	50,00	

Nullpunktverdier	Spissmotstand (kPa)	Sidefriksjon (kPa)	Poretrykk (kPa)
Før	8168,0	115,8	242,9
Etter	8185,7	115,8	239,1
Nullpunktfsforskyvning	17,7	0,0	-3,8

Det er benyttet sonde som tilfredsstiller krav til målenøyaktighet for helning. Nyere utstyr tilfredsstiller normalt ca. +/- 1 grad.

Ved målt helning over 15 grader bør sondering vurderes kjørt på nytt.

Utstyret tilfredsstiller krav til temperaturfølsomhet for anvendelseskasse 1.

### Konklusjon:

	Spissmotstand	Sidefriksjon	Poretrykk
Anvendelseskasse	1	1	1

 <b>LØVLIEN GEORÅD</b> Geoteknikk – Geotekniske laboratorium www.georad.no	Oppdragsgiver	Prosjekt nr.	Tillegg nr.
	Norsk Bolig AS	19323	1.7
	Prosjekt	Dato	Borpunkt
	Reg.plan Ringneshagan og Rådyrveien	12.09.19	1
Forklaring  Klassifisering av anvendelseskasse	Ansvarlig	Kontrollert	
	Ska	TIG	

## Klassifisering av anvendelseskasse iht. NGF melding 5

Tabell 5.2. Anvendelseskasser for CPT og CPTU.

Anvendelseskasse	Forsøks-type	Målestørrelse	Tillatt minimums-nøyaktighet <sup>a</sup>	Maksimum avstand mellom målinger	Bruk	
					Profil <sup>b</sup>	Tolkning <sup>c</sup>
1	TE2	Spissmotstand Sidefriksjon Poretrykk Helning Nedtrengingslengde <sup>d</sup>	35 kPa eller 5% 5 kPa eller 10% 10 kPa eller 2% 2° 0.1 m eller 1%	20 mm	A	GH
2	TE1 TE2	Spissmotstand Sidefriksjon Poretrykk <sup>d</sup> Helning Nedtrengingslengde	100 kPa eller 5% 15 kPa eller 15% 25 kPa eller 3% 2° 0.1 m eller 1%	20 mm	A B C D	GH* GH GH GH
3	TE1 TE2	Spissmotstand Sidefriksjon Poretrykk <sup>d</sup> Helning Nedtrengingslengde	200 kPa eller 5% 25 kPa eller 15% 50 kPa eller 5% 5° 0.2 m eller 2%	50 mm	A B C D	G GH* GH GH
4	TE1	Spissmotstand Sidefriksjon Nedtrengingslengde	500 kPa eller 5% 50 kPa eller 20% 0.2 m eller 2%	50 mm	A B C D	G* G* G* G*

Tillatt nullpunktfsforskyvning for spissmotstand, sidefriksjon og poretrykk innenfor de ulike anvendelseskassene bestemmes som største verdi av tillatt absoluttverdi og tillatt prosent av gjennomsnittlig måleverdi.

Anvendelseskasse	Tillatt nullpunktfsforskyvning		
	Spissmotstand (kPa)	Sidefriksjon (kPa)	Poretrykk (kPa)
1	38,65	5,00	10,00
2	100,00	15,00	25,00
3	200,00	25,00	50,00
4	500	50,00	

Nullpunktverdier	Spissmotstand (kPa)	Sidefriksjon (kPa)	Poretrykk (kPa)
Før	8169,1	117,2	242,2
Etter	8157,3	115,6	242,6
Nullpunktfsforskyvning	-11,8	-1,6	0,4

Det er benyttet sonde som tilfredsstiller krav til målenøyaktighet for helning. Nyere utstyr tilfredsstiller normalt ca. +/- 1 grad.

Ved målt helning over 15 grader bør sondering vurderes kjørt på nytt.

Utstyret tilfredsstiller krav til temperaturfølsomhet for anvendelseskasse 1.

### Konklusjon:

Anvendelseskasse	Spissmotstand	Sidefriksjon	Poretrykk
1	1	1	1

 <b>LØVLIEN GEORÅD</b> Geoteknikk – Geotekniske laboratorium www.georad.no	Oppdragsgiver	Prosjekt nr.	Tillegg nr.
	Norsk Bolig AS	19323	1.8
	Prosjekt	Dato	Borpunkt
	Reg.plan Ringneshagan og Rådyrveien	12.09.19	3
Forklaring  Klassifisering av anvendelseskasse	Ansvarlig	Kontrollert	
	Ska	TIG	

## Klassifisering av anvendelseskasse iht. NGF melding 5

Tabell 5.2. Anvendelseskasser for CPT og CPTU.

Anvendelseskasse	Forsøks-type	Målestørrelse	Tillatt minimums-nøyaktighet <sup>a</sup>	Maksimum avstand mellom målinger	Bruk	
					Profil <sup>b</sup>	Tolkning <sup>c</sup>
1	TE2	Spissmotstand Sidefriksjon Poretrykk Helning Nedtrengingslengde <sup>d</sup>	35 kPa eller 5% 5 kPa eller 10% 10 kPa eller 2% 2° 0.1 m eller 1%	20 mm	A	GH
2	TE1 TE2	Spissmotstand Sidefriksjon Poretrykk <sup>d</sup> Helning Nedtrengingslengde	100 kPa eller 5% 15 kPa eller 15% 25 kPa eller 3% 2° 0.1 m eller 1%	20 mm	A B C D	GH* GH GH GH
3	TE1 TE2	Spissmotstand Sidefriksjon Poretrykk <sup>d</sup> Helning Nedtrengingslengde	200 kPa eller 5% 25 kPa eller 15% 50 kPa eller 5% 5° 0.2 m eller 2%	50 mm	A B C D	G GH* GH GH
4	TE1	Spissmotstand Sidefriksjon Nedtrengingslengde	500 kPa eller 5% 50 kPa eller 20% 0.2 m eller 2%	50 mm	A B C D	G* G* G* G*

Tillatt nullpunktfsforskyvning for spissmotstand, sidefriksjon og poretrykk innenfor de ulike anvendelseskassene bestemmes som største verdi av tillatt absoluttverdi og tillatt prosent av gjennomsnittlig måleverdi.

Anvendelseskasse	Tillatt nullpunktfsforskyvning		
	Spissmotstand (kPa)	Sidefriksjon (kPa)	Poretrykk (kPa)
1	35,00	5,00	10,00
2	100,00	15,00	25,00
3	200,00	25,00	50,00
4	500	50,00	

Nullpunktverdier	Spissmotstand (kPa)	Sidefriksjon (kPa)	Poretrykk (kPa)
Før	8138,4	118,9	242,1
Etter	8139,0	119,3	240,2
Nullpunktfsforskyvning	0,6	0,4	-1,9

Det er benyttet sonde som tilfredsstiller krav til målenøyaktighet for helning. Nyere utstyr tilfredsstiller normalt ca. +/- 1 grad.

Ved målt helning over 15 grader bør sondering vurderes kjørt på nytt.

Utstyret tilfredsstiller krav til temperaturfølsomhet for anvendelseskasse 1.

### Konklusjon:

	Spissmotstand	Sidefriksjon	Poretrykk
Anvendelseskasse	1	1	1

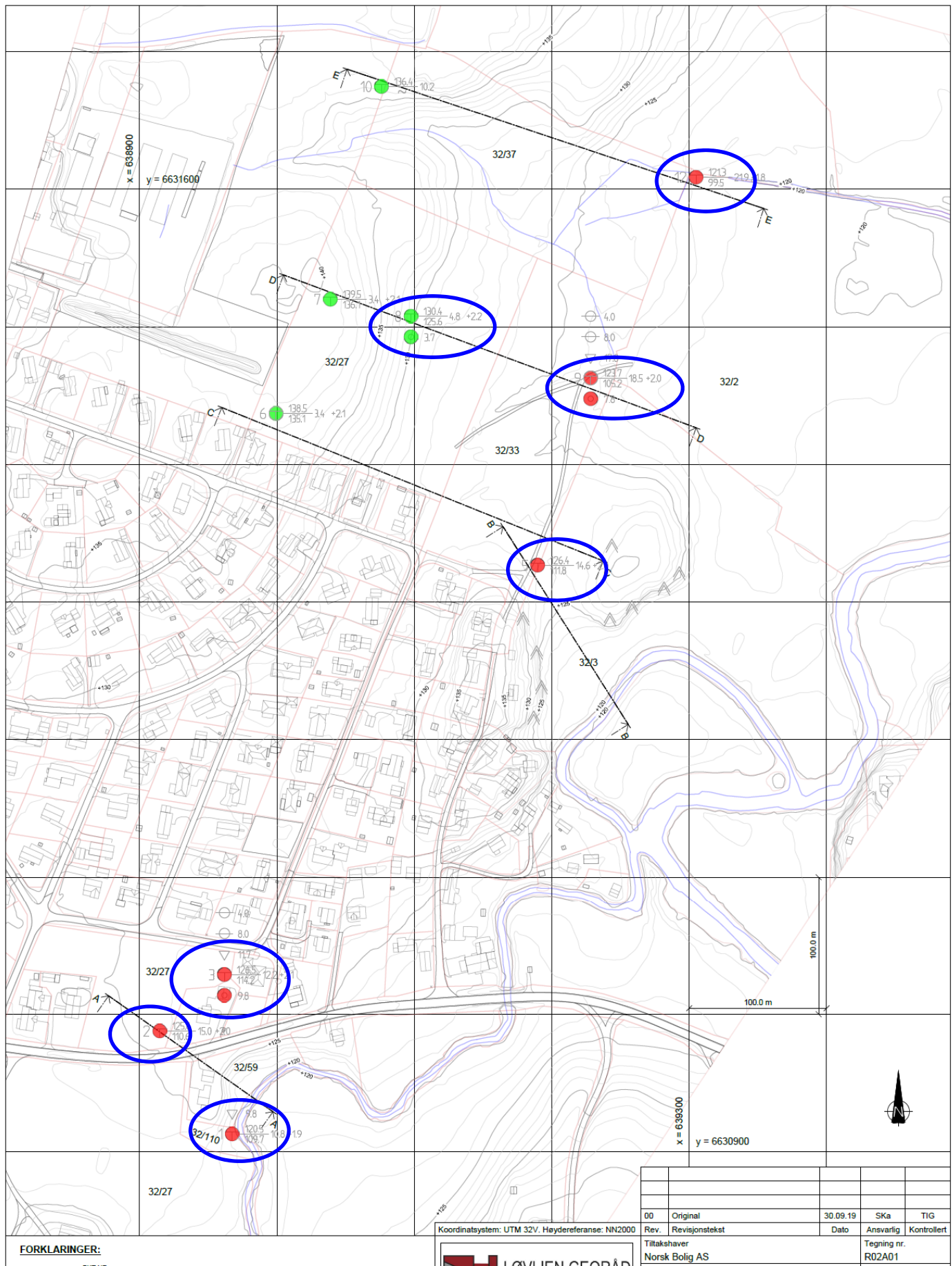
 <b>LØVLIEN GEORÅD</b> Geoteknikk – Geotekniske laboratorium www.georad.no	Oppdragsgiver	Prosjekt nr.	Tillegg nr.
	Norsk Bolig AS	19323	1.9
	Prosjekt	Dato	Borpunkt
	Reg.plan Ringneshagan og Rådyrveien	12.09.19	9
Forklaring  Klassifisering av anvendelseskasse	Ansvarlig	Kontrollert	
	Ska	TIG	

# Tillegg 1.10

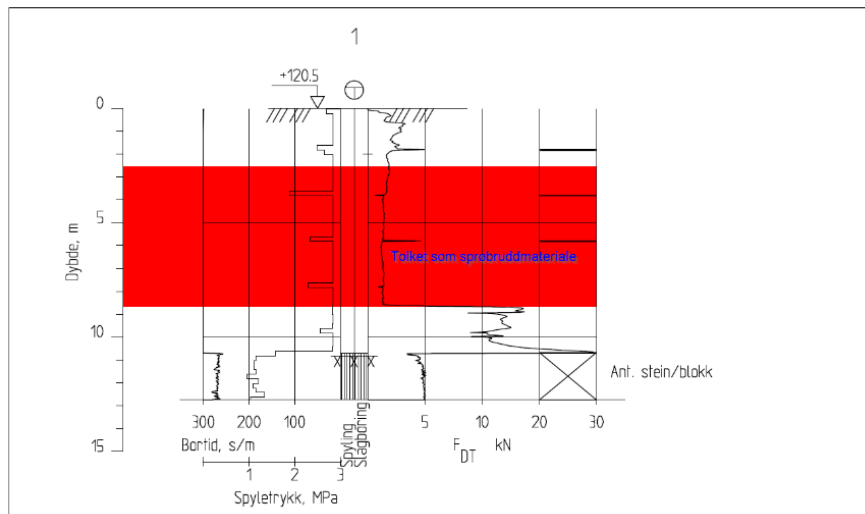
## Tolkning av lagdeling fra grunnundersøkelser

 <b>LØVLIEN GEORÅD</b> Geoteknikk – Geoteknisk laboratorium <a href="http://www.georaad.no">www.georaad.no</a>	Oppdragsgiver Norsk Bolig AS	Prosjekt nr. 19323	Tillegg nr. 1.10
	Prosjekt Reg.plan Ringneshagan og Rådyrveien	Dato 08.10.2019	Revisjon 00
	Tittel Tolkning av lagdeling	Ansvarlig SKa	Kontrollert TIG

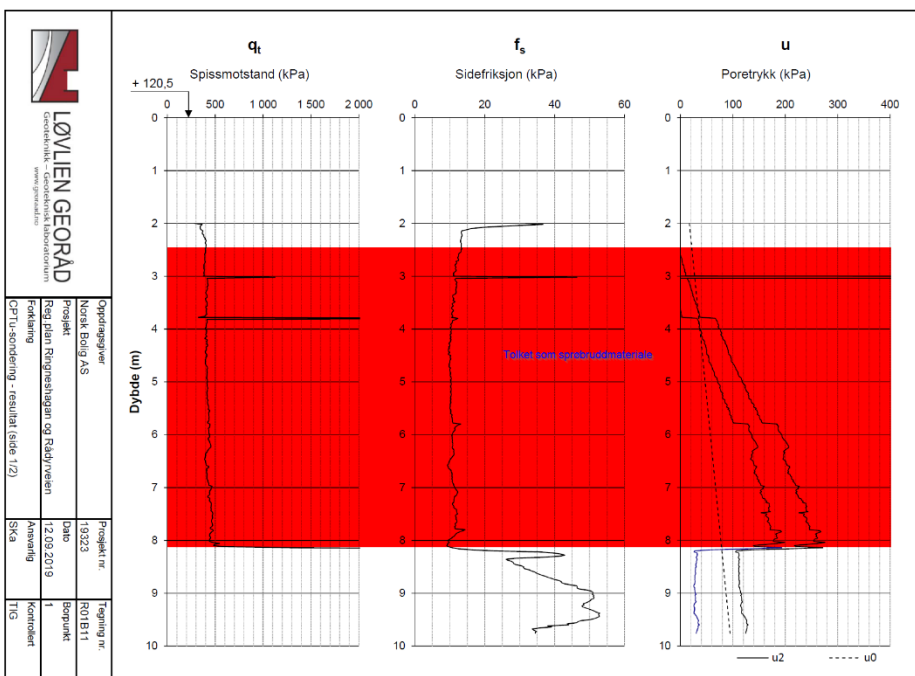
# 1 Utøkte grunnundersøkelser



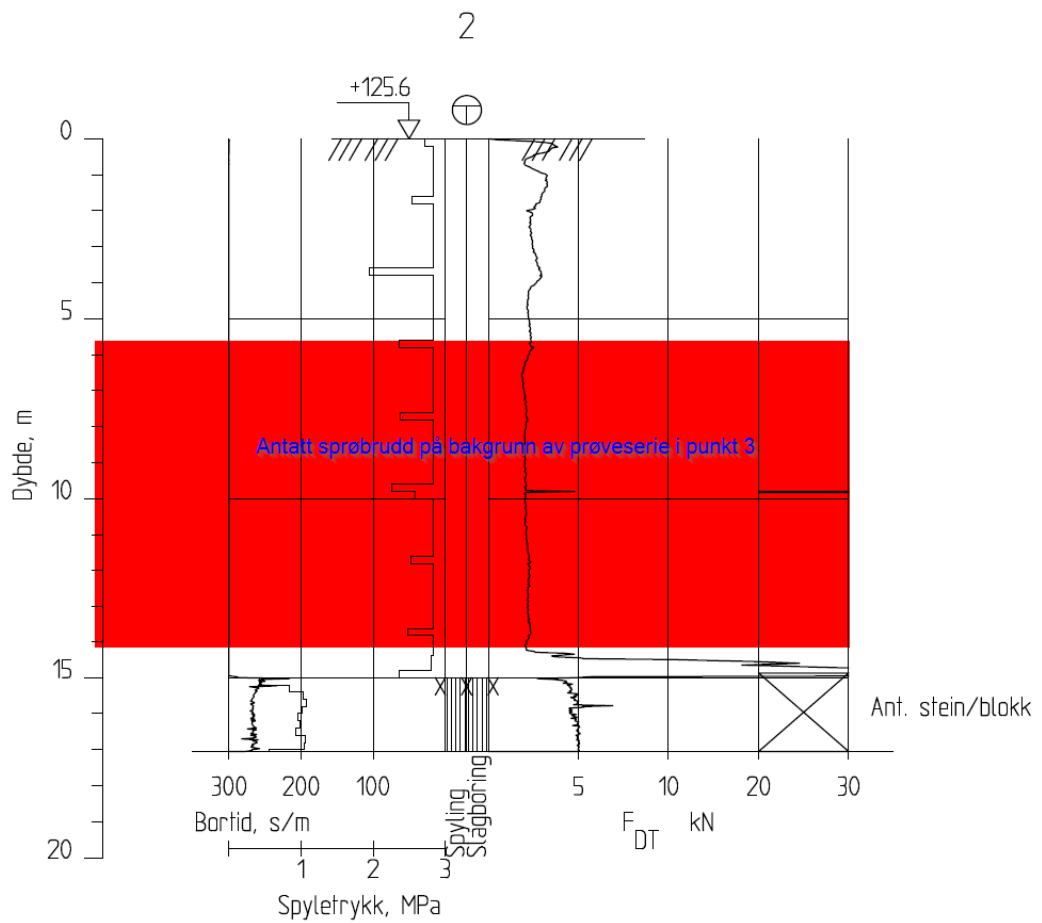
Figur 1.1 Situasjonsplan. Blå ring markerer borpunkt som er vesentlig for vurdering av områdestabilitet



UTFØRT I BORPUNKT:		LØVLIEN GEORÅD		Format / Målestokk A4 / 1:200	
Pkt nr		Oppdragsgiver	Norsk Bolig AS	Prosjekt nr.	Tegning nr.
TOTALSONDERING	+120.5	Prosjekt	19323	R01B01	
CPTU	Jf. tegning R01B11	Reg. plan	Ringneshagan og Rådyrvn.	Dato	Revisjon
		Tegningstittel	30.09.19	00	
		Boreresultat pkt. 1	Ansværlig	Kontrollert	
			SKa	TIG	



Figur 1.2 Totalsondering og CPTU-sondering fra borpunkt 1. Rød skravur markerer tolket forekomst av sprøbruddsmateriale / kvikkleire



**UTFØRT I BORPUNKT:**

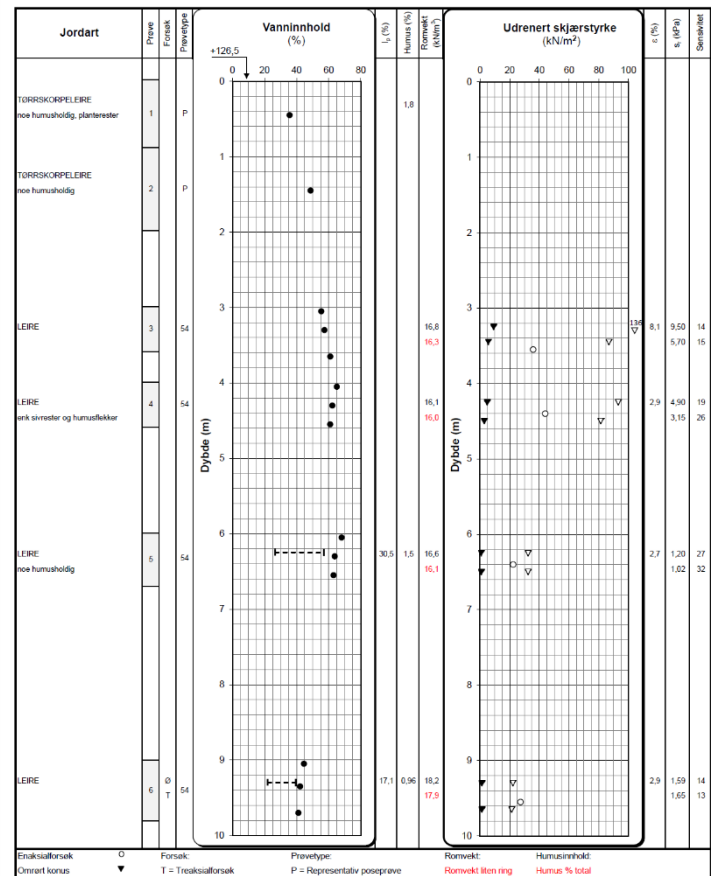
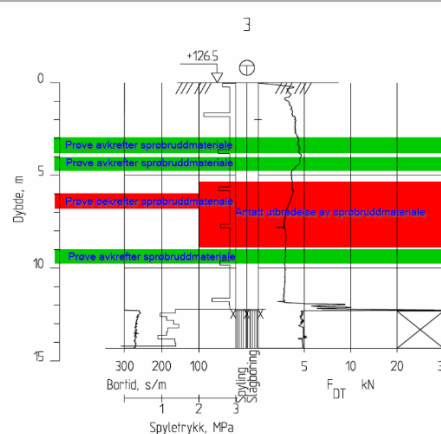
PKT.NR.  
TOTALSONDERING



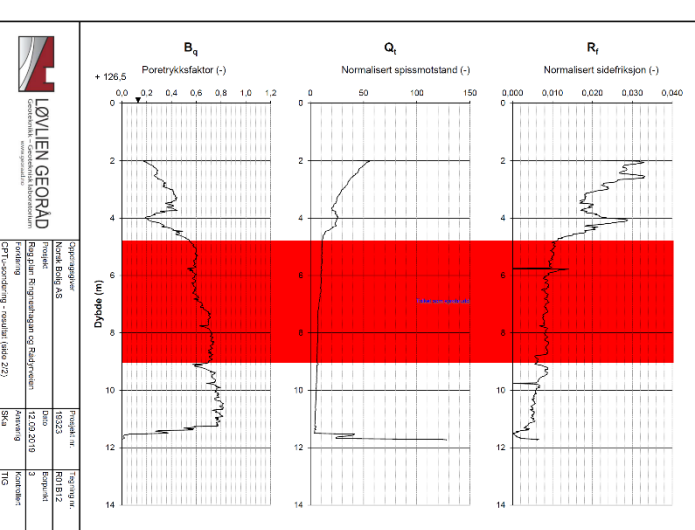
Elvesletta 35  
2323 Ingeberg  
Telefon: 95 46 50 00  
E-post: post@georad.no

Format / Målestokk A4 / 1:200		
Oppdragsgiver Norsk Bolig AS	Prosjekt nr. 19323	Tegning nr. R01B02
Prosjekt Reg.plan Ringneshagan og Rådynn.	Dato 30.09.19	Revisjon 00
Tegningstittel Boreresultat pkt. 2	Ansvarlig SKa	Kontrollert TIG

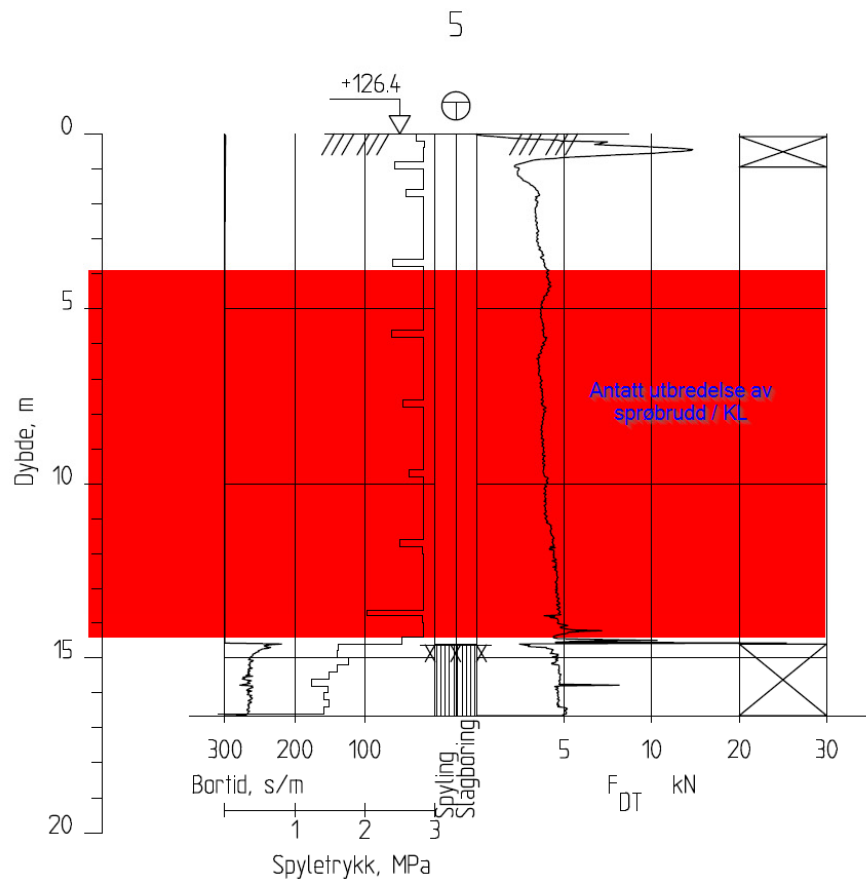
Figur 1.3 Totalsondering fra borpunkt 2. Rød skravur markerer tolket forekomst av sprøbruddsmateriale / kvikkleire



UTFØRT I BORPUNKT:		Oppdragsgiver		Format / Målestokk	
Pkt.nr.	TOTALSONDERING	Norsk Bolig AS	Prosjekt nr.	Tegning nr.	A4 / 1:200
TOTALSONDERING	CPTU ▽ Jf. tegning R01B12	LØVLIEN GEORÅD Geoteknikk - Geoteknisk laboratorium Ringneshagan	Oppdragsgiver Norsk Bolig AS	R01B03	
PROVESERIE	○ Jf. tegning R01C01		Prosjekt Reg. plan Ringneshagan og Rådyrv.		
PIEZOMETER	□ Jf. tegning R01B14		Dato 30.09.19	Revisjon 00	
			Tegningsittel Boreresultat pkt. 3	Ansvarlig Ska	Kontrollert TIG

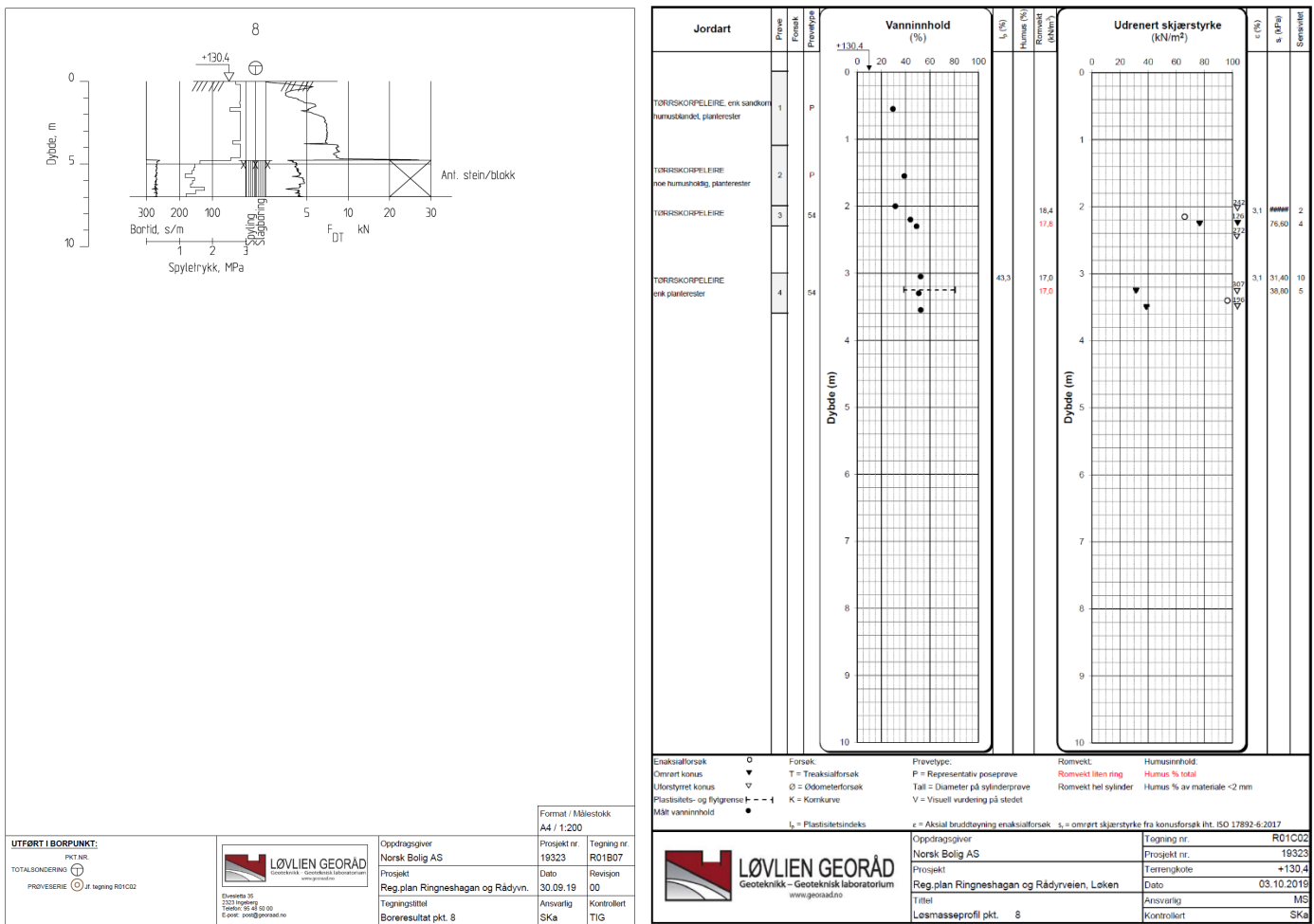


Figur 1.4 Totalsondering, CPTU-sondering og prøveserie fra borpunkt 3. Rød skravur markerer tolket forekomst av sprøbruddsmateriale / kvikkkleire

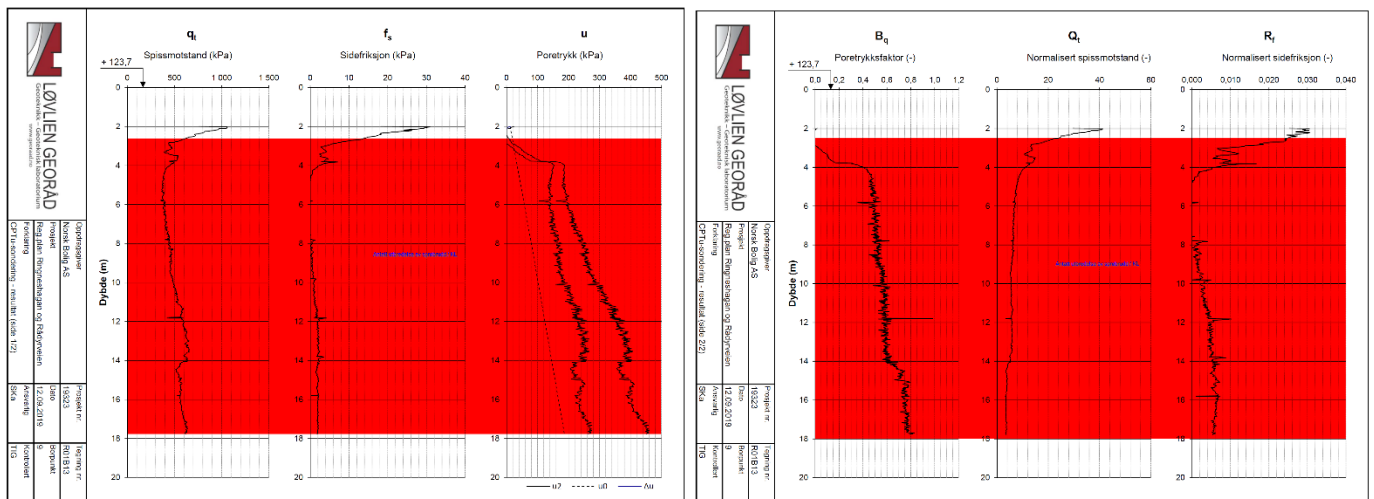
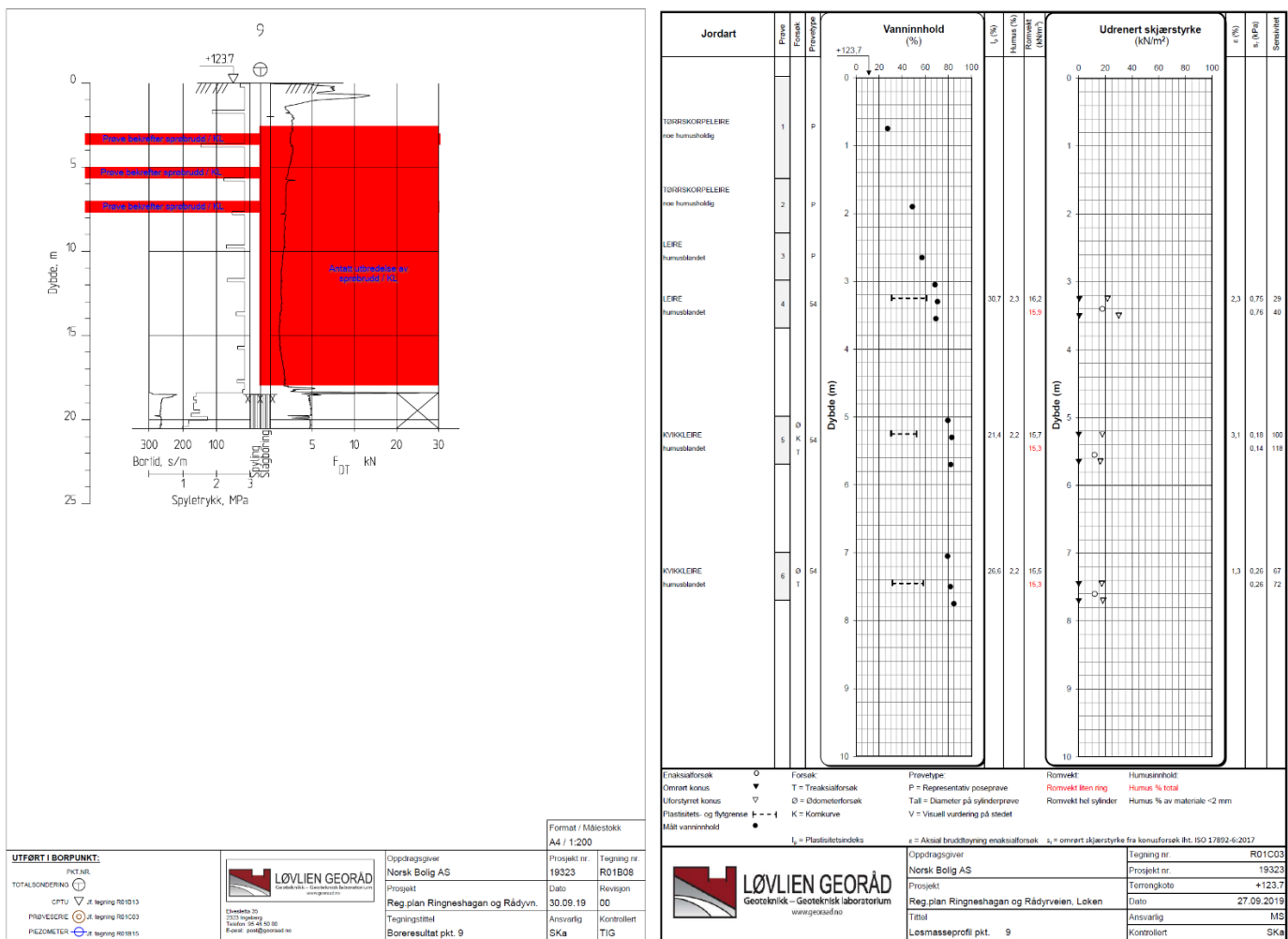


UTFØRT I BORPUNKT:		Format / Målestokk A4 / 1:200	
PKT.NR.		Oppdragsgiver	Prosjekt nr.
TOTALSONDERING	⊕	Norsk Bolig AS	19323
		Prosjekt	Tegning nr.
		Reg.plan Ringneshagan og Rådyvn.	R01B04
		Dato	
		30.09.19	Revisjon
			00
		Tegningstittel	Ansvarlig
		Boreresultat pkt. 5	Kontrollert
			TIG

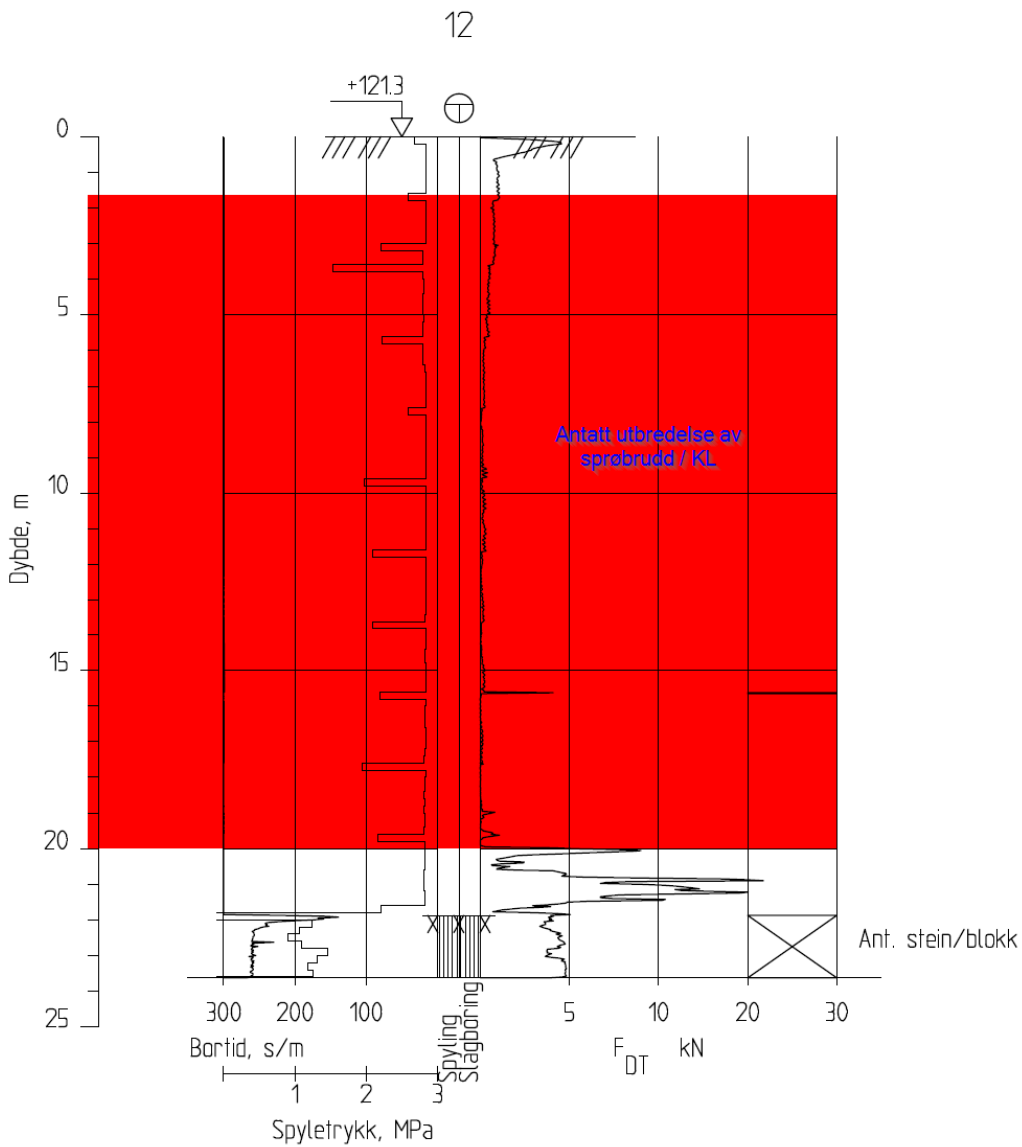
Figur 1.5 Totalsondering fra borpunkt 5. Rød skravur markerer tolket forekomst av sprøbruddsmateriale / kvikkleire



Figur 1.6 Totalsondering og prøveserie fra borpunkt 8. Det er ikke påvist forekomster av sprøbruddsmateriale i dette borpunktet



Figur 1.7 Totalsondering, CPTU-sondering og prøveserie fra borpunkt 9. Rød skravur markerer tolket forekomst av sprøbruddsmateriale / kvikkleire



UTFØRT I BORPUNKT:

PKT.NR.  
TOTALSONDERING



Elvesletta 35  
2323 Ingeberg  
Telefon: 95 48 50 00  
E-post: post@georad.no

Oppdragsgiver  
Norsk Bolig AS

Prosjekt  
Reg.plan Ringneshagan og Rådyvn.

Tegningstittel  
Boreresultat pkt. 12

Format / Målestokk	
A4 / 1:200	
Prosjekt nr.	Tegning nr.
19323	R01B10
Dato	Revisjon
30.09.19	00
Ansvarlig	Kontrollert
SKa	TIG

Figur 1.8 Totalsondering fra borpunkt 12. Rød skravur markerer tolket forekomst av sprøbruddsmateriale / kvikkleire

Evaluering av skadekonsekvens				Konsekvens, score			
Faktorer	Valgt verdi	Vektall	Vektet verdi	3	2	1	0
Boligenheter, antall	3	4	12	Tett > 5	Spredt > 5	Spredt < 5	Ingen
Næringsbygg, personer	0	3	0	>50	10 - 50	< 10	Ingen
Annen bebyggelse, verdi	1	1	1	Stor	Betydelig	Begrenset	Ingen
Vei, ÅDT	3	2	6	>5000	1001 - 5000	100 - 1000	Ingen
Toglinje, baneprioritet	0	2	0	1 - 2	3 - 4	5	Ingen
Kraftnett	1	1	1	Sentral	Regional	Distribusjon	Lokal
Oppdemning, flom	2	2	4	Alvorlig	Middels	Liten	Ingen
<b>Sum</b>	<b>24</b>		45	30	15	0	

% av maksimal poengsum: 53 %

**Konsekvensklassle:** Meget alvorlig

Evaluering av faregrad				Faregrad, score			
Faktorer	Valgt verdi	Vektall	Vektet verdi	3	2	1	0
Tidligere skredaktivitet	2	1	2	Høy	Noe	Lav	Ingen
Skråningshøyde, meter	0	2	0	> 30	20 - 30	15 - 20	<15
Tidligere/nåværende terrengnivå (OCR)	3	2	6	1,0 - 1,2	1,2 - 1,5	1,5 - 2,0	>2,0
Poretrykk	0	3	0	> +30	10 - 30	0 - 10	Hydrostatisk
Kvikkleiremektighet	3	2	6	> -50	(-20 - 50)	(-0 - 20)	Tynt lag
Sensitivitet	2	1	2	>H/2	H/2 - H/4	<H/4	<20
Erosjon	2	3	6	>100	30 - 100	20 - 30	Ingen
Inngrep	0	3	0	Aktiv/glidning	Noe	Lite	Ingen
<b>Sum</b>	<b>22</b>		51	34	16	0	

% av maksimal poengsum: 43 %

**Faregrad:** Middels faregrad

Risikoverdi (skadekons. x faregrad):			528	Risikoklasse: 2
Risikoklasse	1	0	170	X
Risikoklasse	2	171	630	
Risikoklasse	3	631	1900	
Risikoklasse	4	1901	3200	
Risikoklasse	5	3201	10000	

Oppdragsgiver	Norsk Bolig AS	Prosjekt nr.	Vedlegg nr.
Prosjekt		19323	1
Reg.plan Ringneshagan og Rådyrveien		Dato	12.09.2019
Klassifisering av faresone Rådyrveien		Ansvarlig	00
		Ska	TIG

Evaluering av skadekonsekvens				Konsekvens, score			
Faktorer	Valgt verdi	Vektall	Vektet verdi	3	2	1	0
Boligenheter, antall	0	4	0	Tett > 5	Spredt > 5	Spredt < 5	Ingen
Næringsbygg, personer	0	3	0	>50	10 - 50	< 10	Ingen
Annen bebyggelse, verdi	1	1	1	Stor	Betydelig	Begrenset	Ingen
Vei, ÅDT	0	2	0	>5000	1001 - 5000	100 - 1000	Ingen
Toglinje, baneprioritet	0	2	0	1 - 2	3 - 4	5	Ingen
Kraftnett	0	1	0	Sentral	Regional	Distribusjon	Lokal
Oppdemning, flom	2	2	4	Alvorlig	Middels	Liten	Ingen
<b>Sum</b>		<b>5</b>		45	30	15	0

% av maksimal poengsum: 11 %

**Konsekvensklassle:** Mindre alvorlig

Evaluering av faregrad				Faregrad, score			
Faktorer	Valgt verdi	Vektall	Vektet verdi	3	2	1	0
Tidligere skredaktivitet	1	1	1	Høy	Noe	Lav	Ingen
Skråningshøyde, meter	0	2	0	> 30	20 - 30	15 - 20	<15
Tidligere/nåværende terrengnivå (OCR)	3	2	6	1,0 - 1,2	1,2 - 1,5	1,5 - 2,0	>2,0
Poretrykk	1	3	3	> +30	10 - 30	0 - 10	Hydrostatisk
Kvikkleiremektighet	3	2	6	> -50	(-20 - 50)	(-0 - 20)	Tynt lag
Sensitivitet	3	1	3	>H/2	H/2 - H/4	<H/4	<20
Erosjon	1	3	3	>100	30 - 100	20 - 30	Ingen
Inngrep	0	3	0	Aktiv/glidning	Noe	Lite	Ingen
<b>Sum</b>		<b>22</b>		51	34	16	0

% av maksimal poengsum: 43 %

**Faregrad:** Middels faregrad

Risikoverdi (skadekons. x faregrad):			110	Risikoklasse: 1
Risikoklasse	1	0	170	X
Risikoklasse	2	171	630	
Risikoklasse	3	631	1900	
Risikoklasse	4	1901	3200	
Risikoklasse	5	3201	10000	

Oppdragsgiver	Norsk Bolig AS	Prosjekt nr.	Vedlegg nr.
Prosjekt		19323	2
Reg.plan Ringneshagan og Rådyrveien		Dato	Revisjon
		23.03.2021	00
Klassifisering av faresone Ringneshagan		Ansværlig	Kontrollert
		Ska	AES